

Grafové algoritmy

Tomáš Masopust

Aktualizováno: 29. listopadu 2009

Obsah

Úvod

Grafy

Reprezentace grafů

Prohledávání do šířky

Prohledávání do hloubky

Topologické uspořádání

Silně souvislé komponenty

Minimální kostry

Nejkratší cesty z jednoho do všech uzlů

Nejkratší cesty z jednoho do všech uzlů v acyklických grafech

Nejkratší cesty ze všech uzlů do všech ostatních uzlů

Toky v síti

Řez v síti

Maximální párování v bipartitním grafu

Barvení grafů

Hranové barvení grafů

(Vrcholové) barvení grafů

Chromatický polynom

Literatura

- ▶ Cormen, Leiserson, Rivest, Stein: *Introduction to algorithms*. The MIT Press and McGraw-Hill, 2001.
- ▶ Gibbons: *Algorithmic Graph Theory*. Cambridge University Press, 1985.

Literatura

- ▶ Cormen, Leiserson, Rivest, Stein: *Introduction to algorithms*. The MIT Press and McGraw-Hill, 2001.
- ▶ Gibbons: *Algorithmic Graph Theory*. Cambridge University Press, 1985.

Organizace výuky

- ▶ přednášky
- ▶ konzultace – viz stránky vyučujícího
- ▶ písemné vypracování zadaných úkolů

Literatura

- ▶ Cormen, Leiserson, Rivest, Stein: *Introduction to algorithms*. The MIT Press and McGraw-Hill, 2001.
- ▶ Gibbons: *Algorithmic Graph Theory*. Cambridge University Press, 1985.

Organizace výuky

- ▶ přednášky
- ▶ konzultace – viz stránky vyučujícího
- ▶ písemné vypracování zadaných úkolů

Více k úkolům

- ▶ rozdělení do 10 až 12 skupin
- ▶ prezentace řešení na začátku určené přednášky, čas max. 1 hodina
- ▶ důraz na elegantní a originální řešení

Úvod

Základní pojmy

- ▶ Neformálně, **algoritmus** je dobře definovaná výpočetní procedura, která přijímá nějaké hodnoty (množinu hodnot) jako **vstup** a produkuje nějakou hodnotu (množinu hodnot) jako **výstup**.
- ▶ Algoritmus je tedy posloupnost výpočetních kroků, které transformují vstup na výstup.
- ▶ **Datová struktura** je způsob jak uložit a organizovat data tak, aby k nim bylo co nejvíce ulehčeno přístupu a modifikování.

Požadavky kladené na algoritmy

- ▶ Algoritmus skončí pro každý (správně zadaný) vstup.
- ▶ Výstup algoritmu je korektní.

- ▶ Čas ani paměť nejsou neomezeny.
- ▶ Existuje mnoho řešení určitého problému, ty se však dramaticky liší svojí efektivností.
- ▶ Velký důraz kladen na časovou a prostorovou efektivnost.

Složitost algoritmu

Časová složitost algoritmu:

- ▶ Maximální počet “primitivních” kroků vykonaných daným algoritmem nad všemi vstupy stejné “velikost”, tj. počet kroků v nejhorším případě.
- ▶ Popsána funkcí závislou na velikosti vstupu, $T(n)$.

Prostorová složitost algoritmu:

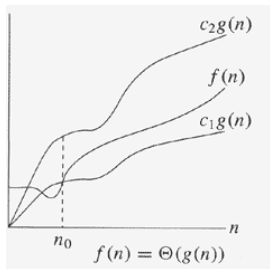
- ▶ Maximální velikost obsazené paměti během výpočtu algoritmu nad všemi vstupy stejné “velikosti” .
- ▶ Popsána funkcí závislou na velikosti vstupu, $S(n)$.

n může být obecně vektor hodnot.

Θ -notace

Nechť $g(n)$ je funkce.

- ▶ $\Theta(g(n)) = \{f(n) : \text{existují } c_0, c_1, n_0 > 0 \text{ takové, že } 0 \leq c_1g(n) \leq f(n) \leq c_2g(n) \text{ pro } n \geq n_0\}$.



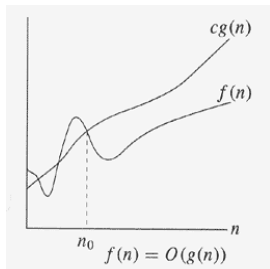
- ▶ Obvykle píšeme $f(n) = \Theta(g(n))$ místo $f(n) \in \Theta(g(n))$.
- ▶ $\frac{1}{2}n^2 - 3n = \Theta(n^2)$ – ověřte pro $c_1 = \frac{1}{14}, c_2 = \frac{1}{2}, n_0 = 7$.

Obrázek: Θ -notace.

O-notation

Nechť $g(n)$ je funkce.

- ▶ $O(g(n)) = \{f(n) : \text{existují } c, n_0 > 0 \text{ takové, že } 0 \leq f(n) \leq cg(n) \text{ pro } n \geq n_0\}$.



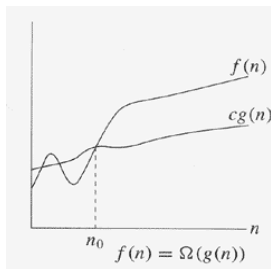
- ▶ $\Theta(g(n)) \subseteq O(g(n))$.
- ▶ $n = O(n^2)$, ale $n \neq \Theta(n^2)$.

Obrázek: O-notation.

Ω -notace

Nechť $g(n)$ je funkce.

- ▶ $\Omega(g(n)) = \{f(n) : \text{existují } c, n_0 > 0 \text{ takové, že } 0 \leq cg(n) \leq f(n) \text{ pro } n \geq n_0\}$.



Theorem 1.

Pro libovolné funkce $f(n)$ a $g(n)$ platí
 $f(n) = \Theta(g(n))$ právě když
 $f(n) = O(g(n))$ a $f(n) = \Omega(g(n))$.

Obrázek: Ω -notace.

o -notace a ω -notace

Nechť $g(n)$ je funkce.

- ▶ $o(g(n)) = \{f(n) : \text{pro každé } c > 0 \text{ existuje } n_0 > 0 \text{ takové, že } 0 \leq f(n) < cg(n) \text{ pro } n \geq n_0\}$.

▶ $2n = o(n^2)$, ale $2n^2 \neq o(n^2)$.

▶ $f(n) = o(g(n))$ pokud

$$\lim_{n \rightarrow \infty} \frac{f(n)}{g(n)} = 0.$$

o -notace a ω -notace

Nechť $g(n)$ je funkce.

- ▶ $o(g(n)) = \{f(n) : \text{pro každé } c > 0 \text{ existuje } n_0 > 0 \text{ takové, že } 0 \leq f(n) < cg(n) \text{ pro } n \geq n_0\}$.
- ▶ $\omega(g(n)) = \{f(n) : \text{pro každé } c > 0 \text{ existuje } n_0 > 0 \text{ takové, že } 0 \leq cg(n) < f(n) \text{ pro } n \geq n_0\}$.

- ▶ $2n = o(n^2)$, ale $2n^2 \neq o(n^2)$.
- ▶ $f(n) = o(g(n))$ pokud $\lim_{n \rightarrow \infty} \frac{f(n)}{g(n)} = 0$.

o -notace a ω -notace

Nechť $g(n)$ je funkce.

- ▶ $o(g(n)) = \{f(n) : \text{pro každé } c > 0 \text{ existuje } n_0 > 0 \text{ takové, že } 0 \leq f(n) < cg(n) \text{ pro } n \geq n_0\}$.
- ▶ $\omega(g(n)) = \{f(n) : \text{pro každé } c > 0 \text{ existuje } n_0 > 0 \text{ takové, že } 0 \leq cg(n) < f(n) \text{ pro } n \geq n_0\}$.
- ▶ $f(n) \in \omega(g(n))$ právě když $g(n) \in o(f(n))$.
- ▶ $2n = o(n^2)$, ale $2n^2 \neq o(n^2)$.
- ▶ $f(n) = o(g(n))$ pokud $\lim_{n \rightarrow \infty} \frac{f(n)}{g(n)} = 0$.
- ▶ $n^2/2 = \omega(n)$, ale $n^2/2 \neq \omega(n^2)$.
- ▶ $f(n) = \omega(g(n))$ pokud $\lim_{n \rightarrow \infty} \frac{f(n)}{g(n)} = \infty$.

Vlastnosti

Nechť $f(n)$ a $g(n)$ jsou (asymptoticky kladné) funkce.

► **Tranzitivita**

$f(n) = X(g(n))$ a $g(n) = X(h(n))$ implikuje $f(n) = X(h(n))$,
pro $X \in \{\Theta, O, \Omega, o, \omega\}$.

Vlastnosti

Nechť $f(n)$ a $g(n)$ jsou (asymptoticky kladné) funkce.

▶ **Tranzitivita**

$f(n) = X(g(n))$ a $g(n) = X(h(n))$ implikuje $f(n) = X(h(n))$,
pro $X \in \{\Theta, O, \Omega, o, \omega\}$.

▶ **Reflexivita**

$f(n) = X(f(n))$, pro $X \in \{\Theta, O, \Omega\}$.

Vlastnosti

Nechť $f(n)$ a $g(n)$ jsou (asymptoticky kladné) funkce.

▶ **Tranzitivita**

$f(n) = X(g(n))$ a $g(n) = X(h(n))$ implikuje $f(n) = X(h(n))$,
pro $X \in \{\Theta, O, \Omega, o, \omega\}$.

▶ **Reflexivita**

$f(n) = X(f(n))$, pro $X \in \{\Theta, O, \Omega\}$.

▶ **Symetrie**

$f(n) = \Theta(g(n))$ právě když $g(n) = \Theta(f(n))$.

Vlastnosti

Nechť $f(n)$ a $g(n)$ jsou (asymptoticky kladné) funkce.

▶ **Tranzitivita**

$f(n) = X(g(n))$ a $g(n) = X(h(n))$ implikuje $f(n) = X(h(n))$,
pro $X \in \{\Theta, O, \Omega, o, \omega\}$.

▶ **Reflexivita**

$f(n) = X(f(n))$, pro $X \in \{\Theta, O, \Omega\}$.

▶ **Symetrie**

$f(n) = \Theta(g(n))$ právě když $g(n) = \Theta(f(n))$.

▶ **Transponovaná symetrie**

$f(n) = O(g(n))$ právě když $g(n) = \Omega(f(n))$.

$f(n) = o(g(n))$ právě když $g(n) = \omega(f(n))$.

Vlastnosti

Nechť $f(n)$ a $g(n)$ jsou (asymptoticky kladné) funkce.

▶ **Tranzitivita**

$f(n) = X(g(n))$ a $g(n) = X(h(n))$ implikuje $f(n) = X(h(n))$,
pro $X \in \{\Theta, O, \Omega, o, \omega\}$.

▶ **Reflexivita**

$f(n) = X(f(n))$, pro $X \in \{\Theta, O, \Omega\}$.

▶ **Symetrie**

$f(n) = \Theta(g(n))$ právě když $g(n) = \Theta(f(n))$.

▶ **Transponovaná symetrie**

$f(n) = O(g(n))$ právě když $g(n) = \Omega(f(n))$.

$f(n) = o(g(n))$ právě když $g(n) = \omega(f(n))$.

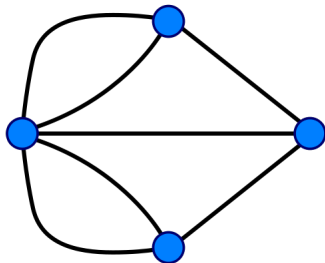
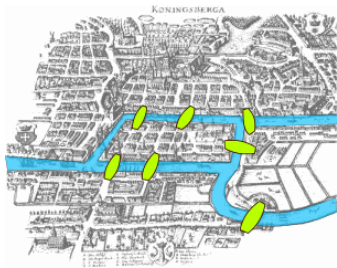
▶ **Ne vždy porovnatelné**

n a $n^{1+\sin(n)}$ jsou neporovnatelné.

Grafy

Grafy: Úvod, historie, definice

- ▶ Leonhard Euler, *Sedm mostů města Královce*, 1736.
- ▶ Otázka: Je možné přejít všechny mosty, ale každý pouze jednou?



Obrázek: Sedm mostů města Královce a jejich grafická reprezentace.

Orientovaný graf G je dvojice

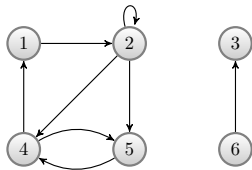
$$G = (V, E),$$

kde

- ▶ V je konečná množina **uzlů** a
- ▶ $E \subseteq V^2$ je množina **hran**.

Hrana (u, u) se nazývá **smyčka**.

Pokud (u, v) je hrana, říkáme, že u a v jsou **incidentní**.



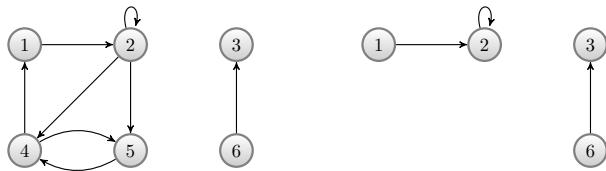
Obrázek: Orientovaný graf

Graf $G' = (V', E')$ je **podgraf** grafu $G = (V, E)$, jestliže

- ▶ $V' \subseteq V$ a $E' \subseteq E$.

Mějme $V'' \subseteq V$. Podgraf **indukovaný** V'' je graf $G'' = (V'', E'')$, kde

- ▶ $E'' = \{(u, v) \in E : u, v \in V''\}$.



Obrázek: Graf a jeho podgraf indukovaný množinou $\{1, 2, 3, 6\}$.

Neorientovaný graf G je dvojice

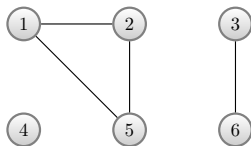
$$G = (V, E),$$

kde

- ▶ V je konečná množina **uzlů** a
- ▶ $E \subseteq \binom{V}{2}$ je množina **hran**.

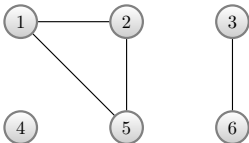
Poznámka

Hrana je množina $\{u, v\}$, kde $u, v \in V$ a $u \neq v$. I v neorientovaném případě však budeme hrany značit (u, v) a považovat (u, v) a (v, u) za stejnou hranu. Smyčky **nejsou** povoleny.



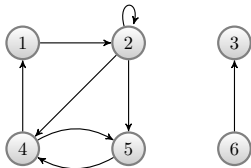
Obrázek: Neorientovaný graf

- ▶ **Stupeň** uzlu u v neorientovaném grafu je počet uzlů s ním incidentních, značí se $d(u)$.
- ▶ $d(1) = d(2) = d(5) = 2$, $d(3) = d(6) = 1$, $d(4) = 0$.
- ▶ Pokud $d(u) = 0$, nazývá se u **izolovaný** uzel.



Obrázek: Neorientovaný graf

- ▶ **Výstupní** stupeň uzlu u v orientovaném grafu je počet hran z něj vycházejících, značí se $d_-(u)$.
- ▶ **Vstupní** stupeň uzlu u je počet hran do něj vstupujících, značí se $d_+(u)$.
- ▶ **Stupeň** uzlu u je součet výstupního a vstupního stupně.
- ▶ $d_-(2) = 3$, $d_+(2) = 2$, $d(2) = 5$.



Obrázek: Orientovaný graf

- ▶ Posloupnost uzlů $\langle v_0, v_1, v_2, \dots, v_k \rangle$, kde $(v_{i-1}, v_i) \in E$ pro $i = 1, 2, \dots, k$, se nazývá **sled** délky k z v_0 do v_k .

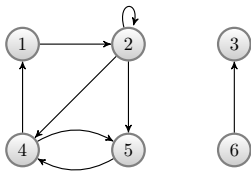
- ▶ Posloupnost uzlů $\langle v_0, v_1, v_2, \dots, v_k \rangle$, kde $(v_{i-1}, v_i) \in E$ pro $i = 1, 2, \dots, k$, se nazývá **sled** délky k z v_0 do v_k .
- ▶ Sled je tedy určen uzly v_0, v_1, \dots, v_k a hranami $(v_0, v_1), (v_1, v_2), \dots, (v_{k-1}, v_k)$. Délka sledu je počet jeho hran.

- ▶ Posloupnost uzlů $\langle v_0, v_1, v_2, \dots, v_k \rangle$, kde $(v_{i-1}, v_i) \in E$ pro $i = 1, 2, \dots, k$, se nazývá **sled** délky k z v_0 do v_k .
- ▶ Sled je tedy určen uzly v_0, v_1, \dots, v_k a hranami $(v_0, v_1), (v_1, v_2), \dots, (v_{k-1}, v_k)$. Délka sledu je počet jeho hran.
- ▶ Rovněž se připouští sled délky 0 z u do u , pro všechny uzly u .

- ▶ Posloupnost uzlů $\langle v_0, v_1, v_2, \dots, v_k \rangle$, kde $(v_{i-1}, v_i) \in E$ pro $i = 1, 2, \dots, k$, se nazývá **sled** délky k z v_0 do v_k .
- ▶ Sled je tedy určen uzly v_0, v_1, \dots, v_k a hranami $(v_0, v_1), (v_1, v_2), \dots, (v_{k-1}, v_k)$. Délka sledu je počet jeho hran.
- ▶ Rovněž se připouští sled délky 0 z u do u , pro všechny uzly u .
- ▶ Pokud existuje sled s z u do u' , říkáme, že u' je **dosažitelný** z u sledem s , značeno $u \xrightarrow{s} u'$.

- ▶ Posloupnost uzlů $\langle v_0, v_1, v_2, \dots, v_k \rangle$, kde $(v_{i-1}, v_i) \in E$ pro $i = 1, 2, \dots, k$, se nazývá **sled** délky k z v_0 do v_k .
- ▶ Sled je tedy určen uzly v_0, v_1, \dots, v_k a hranami $(v_0, v_1), (v_1, v_2), \dots, (v_{k-1}, v_k)$. Délka sledu je počet jeho hran.
- ▶ Rovněž se připouští sled délky 0 z u do u , pro všechny uzly u .
- ▶ Pokud existuje sled s z u do u' , říkáme, že u' je **dosažitelný** z u sledem s , značeno $u \xrightarrow{s} u'$.
- ▶ **Tah** je sled, ve kterém se neopakují hrany.

- ▶ Posloupnost uzlů $\langle v_0, v_1, v_2, \dots, v_k \rangle$, kde $(v_{i-1}, v_i) \in E$ pro $i = 1, 2, \dots, k$, se nazývá **sled** délky k z v_0 do v_k .
- ▶ Sled je tedy určen uzly v_0, v_1, \dots, v_k a hranami $(v_0, v_1), (v_1, v_2), \dots, (v_{k-1}, v_k)$. Délka sledu je počet jeho hran.
- ▶ Rovněž se připouští sled délky 0 z u do u , pro všechny uzly u .
- ▶ Pokud existuje sled s z u do u' , říkáme, že u' je **dosažitelný** z u sledem s , značeno $u \xrightarrow{s} u'$.
- ▶ **Tah** je sled, ve kterém se neopakují hrany.
- ▶ **Cesta** je sled, ve kterém se neopakují uzly.

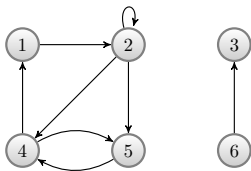


- ▶ $\langle 1, 2, 5, 4 \rangle$ je cesta
- ▶ $\langle 2, 5, 4, 5 \rangle$ je sled, který není cestou (jde o tah?)

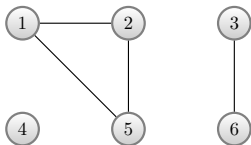
- ▶ **Podsled (podtah, podcesta)** sledu $\langle v_0, v_1, v_2, \dots, v_k \rangle$ je podposloupnost sousedících uzlů, tj. $\langle v_i, v_{i+1}, v_{i+2}, \dots, v_j \rangle$, pro $0 \leq i \leq j \leq k$.

- ▶ **Podsled (podtah, podcesta)** sledu $\langle v_0, v_1, v_2, \dots, v_k \rangle$ je podposloupnost sousedících uzlů, tj. $\langle v_i, v_{i+1}, v_{i+2}, \dots, v_j \rangle$, pro $0 \leq i \leq j \leq k$.
- ▶ Sled (tah, cesta) $\langle v_0, v_1, v_2, \dots, v_k \rangle$ se nazývá **uzavřený**, pokud obsahuje alespoň jednu hranu a $v_0 = v_k$.
- ▶ Pro neorientovaný graf je tedy $k \geq 3$.

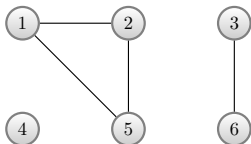
- ▶ **Podsled (podtah, podcesta)** sledu $\langle v_0, v_1, v_2, \dots, v_k \rangle$ je podposloupnost sousedících uzlů, tj. $\langle v_i, v_{i+1}, v_{i+2}, \dots, v_j \rangle$, pro $0 \leq i \leq j \leq k$.
- ▶ Sled (tah, cesta) $\langle v_0, v_1, v_2, \dots, v_k \rangle$ se nazývá **uzavřený**, pokud obsahuje alespoň jednu hranu a $v_0 = v_k$.
- ▶ Pro neorientovaný graf je tedy $k \geq 3$.
- ▶ Uzavřená cesta se nazývá **kružnice**. Orientovaná kružnice se nazývá **cyklus**.



- ▶ $\langle 2, 2 \rangle$ je cyklus délky 1
- ▶ $\langle 1, 2, 4, 1 \rangle$ je cyklus
- ▶ $\langle 1, 2, 4, 5, 4, 1 \rangle$ je ale uzavřený sled, který není cyklus

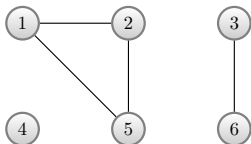


- ▶ $\langle 1, 2, 5, 1 \rangle$ je kružnice
- ▶ $\langle 3, 6, 3 \rangle$ není kružnice



- ▶ $\langle 1, 2, 5, 1 \rangle$ je kružnice
- ▶ $\langle 3, 6, 3 \rangle$ není kružnice

- ▶ Orientovaný graf se nazývá **prostý**, pokud neobsahuje smyčky.



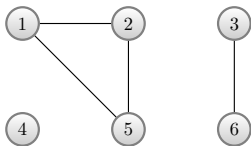
- ▶ $\langle 1, 2, 5, 1 \rangle$ je kružnice
- ▶ $\langle 3, 6, 3 \rangle$ není kružnice

- ▶ Orientovaný graf se nazývá **prostý**, pokud neobsahuje smyčky.
- ▶ Graf bez cyklů (kružnic) se nazývá **acyklický**.

- ▶ Neorientovaný graf se nazývá **souvislý**, pokud mezi libovolnými dvěma uzly existuje cesta.

- ▶ Neorientovaný graf se nazývá **souvislý**, pokud mezi libovolnými dvěma uzly existuje cesta.
- ▶ **Souvislé komponenty** grafu jsou třídy ekvivalence množiny uzlů podle relace “**je dosažitelný z**”.

- ▶ Neorientovaný graf se nazývá **souvislý**, pokud mezi libovolnými dvěma uzly existuje cesta.
- ▶ **Souvislé komponenty** grafu jsou třídy ekvivalence množiny uzlů podle relace “je dosažitelný z”.



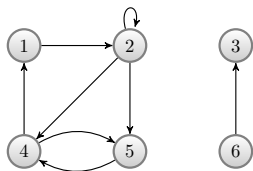
Graf má tři souvislé komponenty:

- ▶ $\{1, 2, 5\}$
- ▶ $\{3, 6\}$
- ▶ $\{4\}$

- ▶ Orientovaný graf se nazývá **silně souvislý**, pokud mezi libovolnými dvěma uzly existuje orientovaná cesta.

- ▶ Orientovaný graf se nazývá **silně souvislý**, pokud mezi libovolnými dvěma uzly existuje orientovaná cesta.
- ▶ **Silně souvislé komponenty** grafu jsou třídy ekvivalence množiny uzlů podle relace “**jsou vzájemně dosažitelné**”.

- ▶ Orientovaný graf se nazývá **silně souvislý**, pokud mezi libovolnými dvěma uzly existuje orientovaná cesta.
- ▶ **Silně souvislé komponenty** grafu jsou třídy ekvivalence množiny uzlů podle relace “**jsou vzájemně dosažitelné**”.



Graf má tři silně souvislé komponenty:

- ▶ $\{1, 2, 4, 5\}$
- ▶ $\{3\}$
- ▶ $\{6\}$

Reprezentace grafů

Nechť $G = (V, E)$ je graf. Zavedeme následující značení:

- ▶ $n = |V|$
- ▶ $m = |E|$.

1. Seznam sousedů

- ▶ preferovaná reprezentace,
- ▶ výhodnější zejména pro řídké grafy, tj. takové grafy, kde $m \ll n^2$,
- ▶ většina dále uvedených algoritmů používá právě tuto reprezentaci.

Nechť $G = (V, E)$ je graf. Zavedeme následující značení:

- ▶ $n = |V|$
- ▶ $m = |E|$.

1. Seznam sousedů

- ▶ preferovaná reprezentace,
- ▶ výhodnější zejména pro řídké grafy, tj. takové grafy, kde $m \ll n^2$,
- ▶ většina dále uvedených algoritmů používá právě tuto reprezentaci.

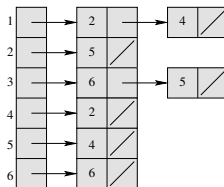
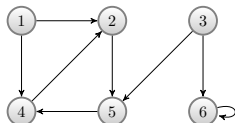
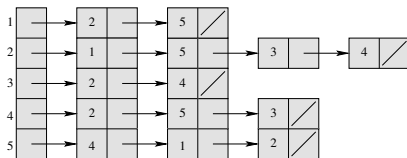
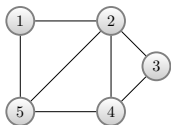
2. Matice sousednosti

- ▶ může být výhodnější pro husté grafy, tj. ty, kde m je skoro n^2
- ▶ nebo když potřebujeme rychle rozhodnout, zda graf obsahuje hranu spojující dva dané uzly.

Seznam sousedů

Seznam sousedů grafu $G = (V, E)$ sestává z

- ▶ pole $Adj[1 \dots n]$ mající n seznamů, jeden pro každý uzel z V ,
- ▶ kde $Adj[u]$ obsahuje všechny uzly v takové, že $(u, v) \in E$.



- ▶ Pokud G je orientovaný graf, pak součet délek seznamů seznamu sousedů je m , protože každá hrana tvaru (u, v) je reprezentována v vyskytujícíím se v $Adj[u]$.
- ▶ Pokud G je neorientovaný graf, pak součet délek seznamů seznamu sousedů je $2m$, protože každá hrana (u, v) je reprezentována v vyskytujícíím se v $Adj[u]$ a u vyskytujícíím se v $Adj[v]$.
- ▶ Množství obsazené paměti je v obou případech stejná, $\Theta(m + n)$.

Ohodnocený graf

- ▶ Ohodnocený graf je takový graf, kde každá jeho hrana má přiřazenu nějakou hodnotu, typicky danou **váhovou funkcí** $w : E \rightarrow \mathbb{R}$.

Ohodnocený graf

- ▶ Ohodnocený graf je takový graf, kde každá jeho hrana má přiřazenu nějakou hodnotu, typicky danou **váhovou funkcí** $w : E \rightarrow \mathbb{R}$.
- ▶ Seznam sousedů se snadno rozšíří pro ohodnocené grafy tak, že hodnota $w(u, v)$ je uložena s uzlem v v seznamu $Adj[u]$.

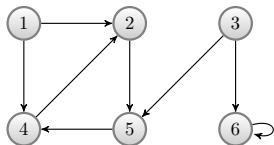
Ohodnocený graf

- ▶ Ohodnocený graf je takový graf, kde každá jeho hrana má přiřazenu nějakou hodnotu, typicky danou **váhovou funkcí** $w : E \rightarrow \mathbb{R}$.
- ▶ Seznam sousedů se snadno rozšíří pro ohodnocené grafy tak, že hodnota $w(u, v)$ je uložena s uzlem v v seznamu $Adj[u]$.
- ▶ Nevýhoda: zjistit, zda je hrana (u, v) přítomná v grafu znamená hledat v v celém seznamu $Adj[u]$.

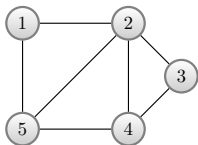
Matice sousednosti

Nechť $G = (V, E)$ je graf a předpokládejme, že uzly jsou nějak očíslovány čísly $1, 2, \dots, n$. Matice sousednosti $A = (a_{ij})$ je čtvercová matice řádu n taková, že

$$a_{ij} = \begin{cases} 1 & \text{pokud } (i, j) \in E, \\ 0 & \text{jinak.} \end{cases}$$

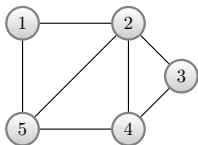


	1	2	3	4	5	6
1	0	1	0	1	0	0
2	0	0	0	0	1	0
3	0	0	0	0	1	1
4	0	1	0	0	0	0
5	0	0	0	1	0	0
6	0	0	0	0	0	1



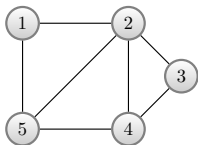
	1	2	3	4	5
1	0	1	0	0	1
2	1	0	1	1	1
3	0	1	0	1	0
4	0	1	1	0	1
5	1	1	0	1	0

- ▶ Množství obsazené paměti je bez ohledu na počtu hran $\Theta(n^2)$.
- ▶ Lepší nebo horší?



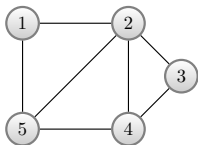
	1	2	3	4	5
1	0	1	0	0	1
2	1	0	1	1	1
3	0	1	0	1	0
4	0	1	1	0	1
5	1	1	0	1	0

- ▶ Množství obsazené paměti je bez ohledu na počtu hran $\Theta(n^2)$.
- ▶ Lepší nebo horší?
- ▶ **Transponovaná** matice k $A = (a_{ij})$ je matice $A^T = (a_{ij}^T)$, kde $a_{ij}^T = a_{ji}$.



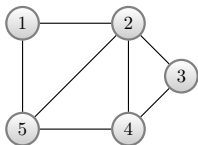
	1	2	3	4	5
1	0	1	0	0	1
2	1	0	1	1	1
3	0	1	0	1	0
4	0	1	1	0	1
5	1	1	0	1	0

- ▶ Množství obsazené paměti je bez ohledu na počtu hran $\Theta(n^2)$.
- ▶ Lepší nebo horší?
- ▶ **Transponovaná** matice k $A = (a_{ij})$ je matice $A^T = (a_{ij}^T)$, kde $a_{ij}^T = a_{ji}$.
- ▶ Pro matici susednosti A neorientovaného grafu platí $A = A^T$.



	1	2	3	4	5
1	0	1	0	0	1
2	1	0	1	1	1
3	0	1	0	1	0
4	0	1	1	0	1
5	1	1	0	1	0

- ▶ Množství obsazené paměti je bez ohledu na počtu hran $\Theta(n^2)$.
- ▶ Lepší nebo horší?
- ▶ **Transponovaná** matice k $A = (a_{ij})$ je matice $A^T = (a_{ij}^T)$, kde $a_{ij}^T = a_{ji}$.
- ▶ Pro matici susednosti A neorientovaného grafu platí $A = A^T$.
- ▶ Stačí tedy uložit do paměti pouze část matice nad diagonálou.



	1	2	3	4	5
1	0	1	0	0	1
2	1	0	1	1	1
3	0	1	0	1	0
4	0	1	1	0	1
5	1	1	0	1	0

- ▶ Množství obsazené paměti je bez ohledu na počtu hran $\Theta(n^2)$.
- ▶ Lepší nebo horší?
- ▶ **Transponovaná** matice k $A = (a_{ij})$ je matice $A^T = (a_{ij}^T)$, kde $a_{ij}^T = a_{ji}$.
- ▶ Pro matici sousednosti A neorientovaného grafu platí $A = A^T$.
- ▶ Stačí tedy uložit do paměti pouze část matice nad diagonálou.
- ▶ Nechť $G = (V, E)$ je ohodnocený graf, pak

$$a_{ij} = \begin{cases} w(i, j) & \text{pokud } (i, j) \in E, \\ NIL & \text{jinak,} \end{cases}$$

kde NIL je nějaká unikátní hodnota, většinou 0 či ∞ .

Prohledávání do šířky

Prohledávání do šířky (BFS)

- ▶ Vstup: (ne)orientovaný graf $G = (V, E)$ a uzel $s \in V$.

Prohledávání do šířky (BFS)

- ▶ Vstup: (ne)orientovaný graf $G = (V, E)$ a uzel $s \in V$.
- ▶ Prochází všechny uzly dostupné z s a počítá jejich vzdálenost (počet hran) od s .

Prohledávání do šířky (BFS)

- ▶ Vstup: (ne)orientovaný graf $G = (V, E)$ a uzel $s \in V$.
- ▶ Prochází všechny uzly dostupné z s a počítá jejich vzdálenost (počet hran) od s .
- ▶ Vytváří **strom prohledávání do šířky** s kořenem s obsahující všechny uzly dosažitelné z s . Cesta z s do v je nejkratší cestou v grafu.

Prohledávání do šířky (BFS)

- ▶ Vstup: (ne)orientovaný graf $G = (V, E)$ a uzel $s \in V$.
- ▶ Prochází všechny uzly dostupné z s a počítá jejich vzdálenost (počet hran) od s .
- ▶ Vytváří **strom prohledávání do šířky** s kořenem s obsahující všechny uzly dosažitelné z s . Cesta z s do v je nejkratší cestou v grafu.
- ▶ Při procházení grafu obarvuje uzly bílou, šedou a černou barvou.

Prohledávání do šířky (BFS)

- ▶ Vstup: (ne)orientovaný graf $G = (V, E)$ a uzel $s \in V$.
- ▶ Prochází všechny uzly dostupné z s a počítá jejich vzdálenost (počet hran) od s .
- ▶ Vytváří **strom prohledávání do šířky** s kořenem s obsahující všechny uzly dosažitelné z s . Cesta z s do v je nejkratší cestou v grafu.
- ▶ Při procházení grafu obarvuje uzly bílou, šedou a černou barvou.

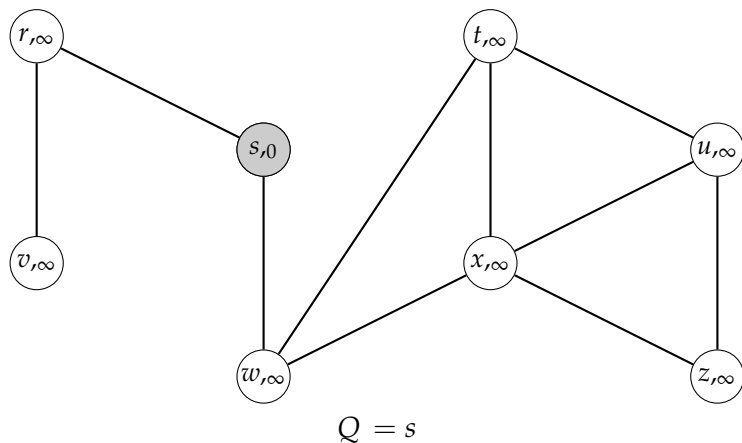
- ▶ Reprezentace grafu – seznam sousedů.
- ▶ $color[u] \in \{\text{WHITE}, \text{GRAY}, \text{BLACK}\}$.
- ▶ $\pi[u]$ je předchůdce u na cestě z s .
- ▶ $d[u]$ je vzdálenost u od s (počet hran, dále bude rozšířeno na ohodnocené grafy).

```

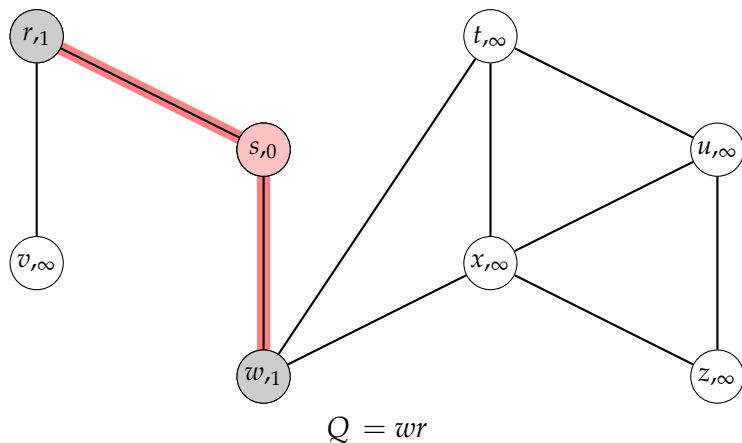
BFS( $G, s$ )
1  for každý uzel  $u \in V - \{s\}$ 
2      do  $color[u] \leftarrow WHITE$ 
3           $d[u] \leftarrow \infty$ 
4           $\pi[u] \leftarrow NIL$ 
5   $color[s] \leftarrow GRAY$ 
6   $d[s] \leftarrow 0$ 
7   $\pi[s] \leftarrow NIL$ 
8   $Q \leftarrow \emptyset$ 
9  ENQUEUE( $Q, s$ )
10 while  $Q \neq \emptyset$ 
11     do  $u \leftarrow DEQUEUE(Q)$ 
12         for každý  $v \in Adj[u]$ 
13             do if  $color[v] = WHITE$ 
14                 then  $color[v] \leftarrow GRAY$ 
15                      $d[v] \leftarrow d[u] + 1$ 
16                      $\pi[v] \leftarrow u$ 
17                     ENQUEUE( $Q, v$ )
18      $color[u] \leftarrow BLACK$ 

```

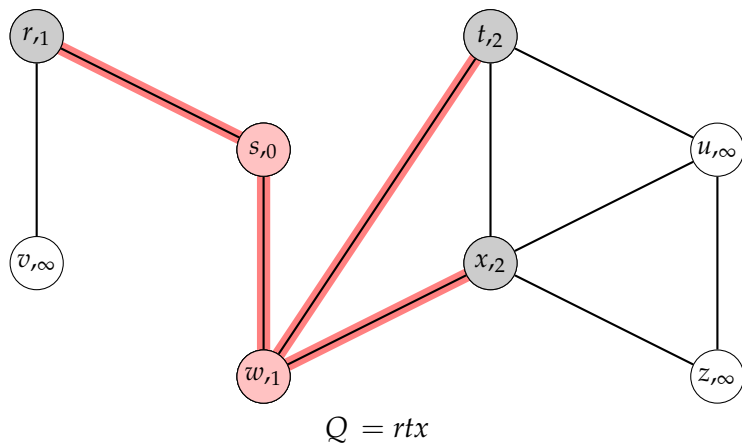
BFS – příklad



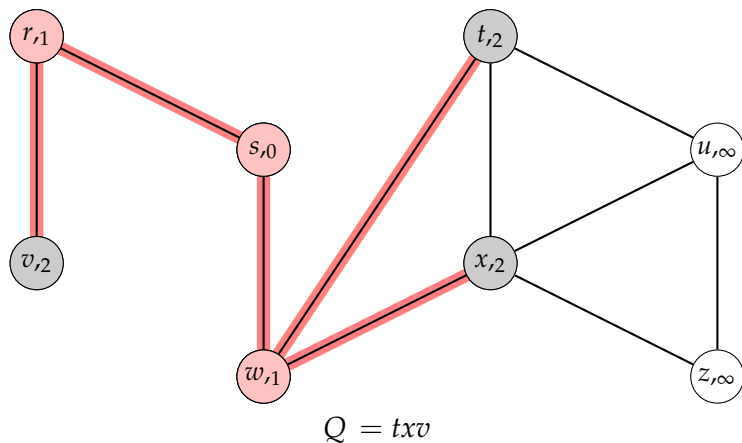
BFS – příklad



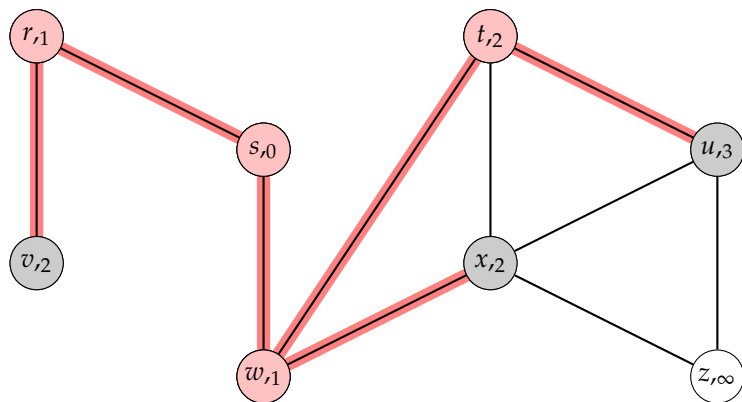
BFS – příklad



BFS – příklad

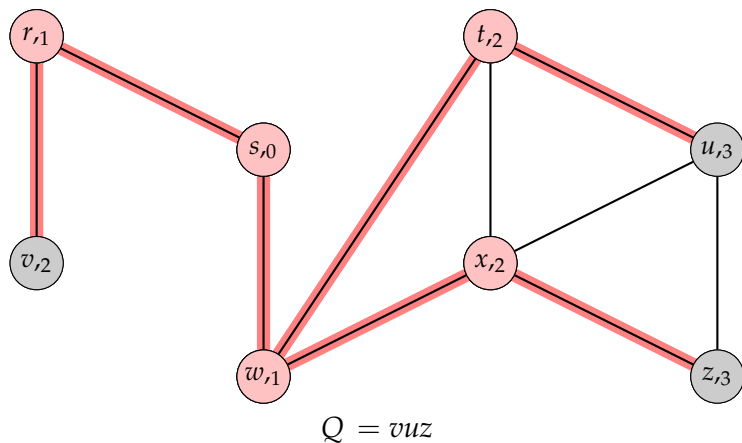


BFS – příklad

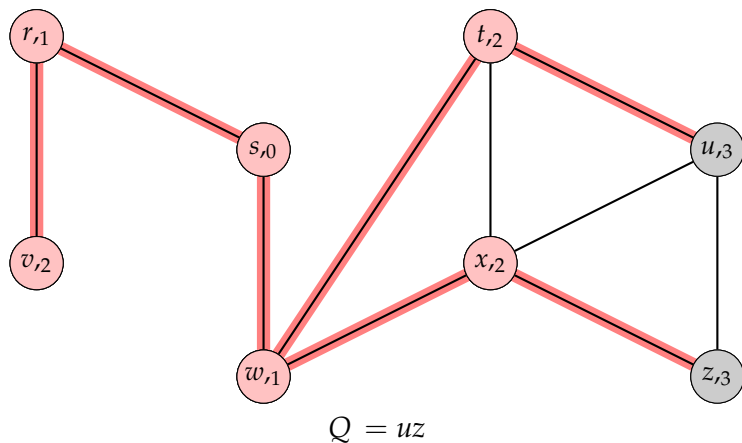


$$Q = xv u$$

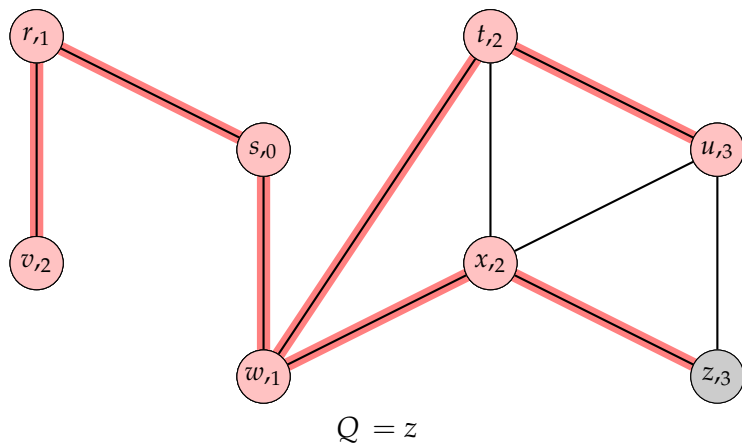
BFS – příklad



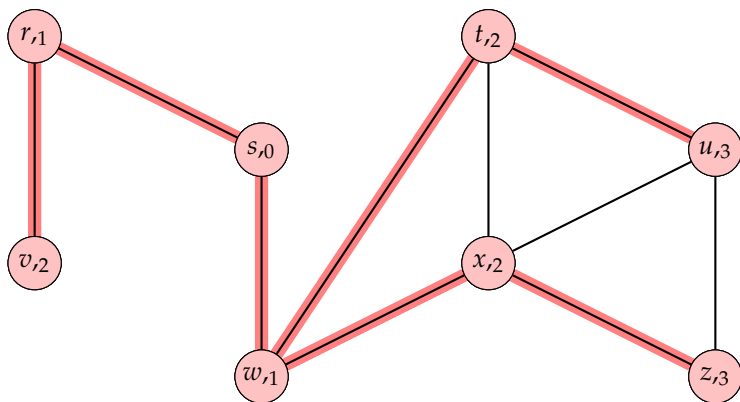
BFS – příklad



BFS – příklad



BFS – příklad



$Q =$

Analýza BFS

- ▶ Ve **while**-cyklu již není možno obarvit uzel na bílo.

Analýza BFS

- ▶ Ve **while**-cyklu již není možno obarvit uzel na bílo.
- ▶ Řádek 13 proto zaručuje, že každý uzel bude zařazen do fronty (a následně vybrán z fronty) nejvýše jednou.

Analýza BFS

- ▶ Ve **while**-cyklu již není možno obarvit uzel na bílo.
- ▶ Řádek 13 proto zaručuje, že každý uzel bude zařazen do fronty (a následně vybrán z fronty) nejvýše jednou.
- ▶ Operace vkládání a vybírání prvku z fronty je konstantní, tj. $O(1)$, takže celkový čas na operace fronty je $O(n)$.

Analýza BFS

- ▶ Ve **while**-cyklu již není možno obarvit uzel na bílo.
- ▶ Řádek 13 proto zaručuje, že každý uzel bude zařazen do fronty (a následně vybrán z fronty) nejvýše jednou.
- ▶ Operace vkládání a vybírání prvku z fronty je konstantní, tj. $O(1)$, takže celkový čas na operace fronty je $O(n)$.
- ▶ Protože se seznam sousedů daného uzlu prochází pouze při jeho vybrání z fronty, je seznam skenován nejvýše jednou.

Analýza BFS

- ▶ Ve **while**-cyklu již není možno obarvit uzel na bílo.
- ▶ Řádek 13 proto zaručuje, že každý uzel bude zařazen do fronty (a následně vybrán z fronty) nejvýše jednou.
- ▶ Operace vkládání a vybírání prvku z fronty je konstantní, tj. $O(1)$, takže celkový čas na operace fronty je $O(n)$.
- ▶ Protože se seznam sousedů daného uzlu prochází pouze při jeho vybrání z fronty, je seznam skenován nejvýše jednou.
- ▶ Jelikož je suma délek těchto seznamů rovna $\Theta(m)$, je celkový čas skenování seznamu sousedů $O(m)$.

Analýza BFS

- ▶ Ve **while**-cyklu již není možno obarvit uzel na bílo.
- ▶ Řádek 13 proto zaručuje, že každý uzel bude zařazen do fronty (a následně vybrán z fronty) nejvýše jednou.
- ▶ Operace vkládání a vybírání prvku z fronty je konstantní, tj. $O(1)$, takže celkový čas na operace fronty je $O(n)$.
- ▶ Protože se seznam sousedů daného uzlu prochází pouze při jeho vybrání z fronty, je seznam skenován nejvýše jednou.
- ▶ Jelikož je suma délek těchto seznamů rovna $\Theta(m)$, je celkový čas skenování seznamu sousedů $O(m)$.
- ▶ Inicializace zabere čas $O(n)$, proto je celkový čas algoritmu $O(m + n)$, tj. lineární vzhledem k velikosti reprezentace grafu G .

Nejkratší cesty

- ▶ Jak již bylo řečeno, BFS rovněž určí vzdálenost všech uzlů od daného vstupního uzlu s .

Nejkratší cesty

- ▶ Jak již bylo řečeno, BFS rovněž určí vzdálenost všech uzlů od daného vstupního uzlu s .
- ▶ Definujme **nejkratší vzdálenost** $\delta(s, v)$ z s do v jako minimální počet hran na jakékoli cestě z s do v . Pokud cesta neexistuje, je $\delta(s, v) = \infty$.

Nejkratší cesty

- ▶ Jak již bylo řečeno, BFS rovněž určí vzdálenost všech uzlů od daného vstupního uzlu s .
- ▶ Definujme **nejkratší vzdálenost** $\delta(s, v)$ z s do v jako minimální počet hran na jakékoliv cestě z s do v . Pokud cesta neexistuje, je $\delta(s, v) = \infty$.
- ▶ Cesta délky $\delta(s, v)$ z s do v je **nejkratší cesta** z s do v .

Lemma 2.

Nechť $G = (V, E)$ je orientovaný či neorientovaný graf a necht' $s \in V$ je libovolný uzel. Pak pro každou hranu $(u, v) \in E$ platí, že

$$\delta(s, v) \leq \delta(s, u) + 1.$$

Důkaz.

- ▶ Pokud je uzel u dosažitelný z s , pak je rovněž uzel v dosažitelný z s . To ale znamená, že nejkratší cesta z s do v nemůže být delší než nejkratší cesta z s do u následovaná hranou (u, v) . Nerovnost tedy platí.



Lemma 2.

Nechť $G = (V, E)$ je orientovaný či neorientovaný graf a necht' $s \in V$ je libovolný uzel. Pak pro každou hranu $(u, v) \in E$ platí, že

$$\delta(s, v) \leq \delta(s, u) + 1.$$

Důkaz.

- ▶ Pokud je uzel u dosažitelný z s , pak je rovněž uzel v dosažitelný z s . To ale znamená, že nejkratší cesta z s do v nemůže být delší než nejkratší cesta z s do u následovaná hranou (u, v) . Nerovnost tedy platí.
- ▶ Pokud uzel u není dosažitelný z s , pak $\delta(s, u) = \infty$ a nerovnost opět platí.



Lemma 3.

Nechť $G = (V, E)$ je orientovaný či neorientovaný graf a předpokládejme, že BFS je spuštěno na G z uzlu $s \in V$. Pak po ukončení BFS platí, že $d[v] \geq \delta(s, v)$ pro každé $v \in V$.

Důkaz.

- ▶ Indukcí vzhledem k počtu ENQUEUE operací. IP je $d[v] \geq \delta(s, v)$ pro všechna $v \in V$.

Lemma 3.

Nechť $G = (V, E)$ je orientovaný či neorientovaný graf a předpokládejme, že BFS je spuštěno na G z uzlu $s \in V$. Pak po ukončení BFS platí, že $d[v] \geq \delta(s, v)$ pro každé $v \in V$.

Důkaz.

- ▶ Indukcí vzhledem k počtu ENQUEUE operací. IP je $d[v] \geq \delta(s, v)$ pro všechna $v \in V$.
- ▶ Báze: $d[s] = 0 = \delta(s, s)$ a $d[v] = \infty \geq \delta(s, v)$, $v \in V - \{s\}$.

Lemma 3.

Nechť $G = (V, E)$ je orientovaný či neorientovaný graf a předpokládejme, že BFS je spuštěno na G z uzlu $s \in V$. Pak po ukončení BFS platí, že $d[v] \geq \delta(s, v)$ pro každé $v \in V$.

Důkaz.

- ▶ Indukcí vzhledem k počtu ENQUEUE operací. IP je $d[v] \geq \delta(s, v)$ pro všechna $v \in V$.
- ▶ Báze: $d[s] = 0 = \delta(s, s)$ a $d[v] = \infty \geq \delta(s, v)$, $v \in V - \{s\}$.
- ▶ Nechť v je bílý uzel prozkoumaný během prohledávání z u . Z IP máme $d[u] \geq \delta(s, u)$. Z řádku 15 BFS, IP a předchozího lemmatu máme

$$d[v] = d[u] + 1 \geq \delta(s, u) + 1 \geq \delta(s, v).$$

Uzel v je poté vložen do fronty a už nikdy není vložen znovu do fronty, protože je šedý a řádky 14–17 se vykonávají pouze pro bílé uzly, tj. hodnota $d[v]$ se již nezmění.

Lemma 4.

Nechť během provádění BFS na grafu $G = (V, E)$ obsahuje fronta Q uzly $\langle v_1, v_2, \dots, v_r \rangle$, kde v_1 je první prvek Q a v_r je poslední prvek Q . Pak $d[v_r] \leq d[v_1] + 1$ a $d[v_i] \leq d[v_{i+1}]$ pro $i = 1, 2, \dots, r - 1$.

Důkaz.

- ▶ Indukcí vzhledem k počtu operací fronty. Na počátku je $Q = \langle s \rangle$ a tvrzení platí. Tvrzení platí po obou frontových operacích:



Lemma 4.

Nechť během provádění BFS na grafu $G = (V, E)$ obsahuje fronta Q uzly $\langle v_1, v_2, \dots, v_r \rangle$, kde v_1 je první prvek Q a v_r je poslední prvek Q . Pak $d[v_r] \leq d[v_1] + 1$ a $d[v_i] \leq d[v_{i+1}]$ pro $i = 1, 2, \dots, r - 1$.

Důkaz.

- ▶ Indukcí vzhledem k počtu operací fronty. Na počátku je $Q = \langle s \rangle$ a tvrzení platí. Tvrzení platí po obou frontových operacích:
- ▶ v_1 odebráno, pak v_2 nový první prvek (pokud se fronta vyprázdní, tvrzení platí triviálně). Z IP máme $d[v_1] \leq d[v_2]$. Pak ale $d[v_r] \leq d[v_1] + 1 \leq d[v_2] + 1$, zbytek nerovností je nezměněn.



Lemma 4.

Nechť během provádění BFS na grafu $G = (V, E)$ obsahuje fronta Q uzly $\langle v_1, v_2, \dots, v_r \rangle$, kde v_1 je první prvek Q a v_r je poslední prvek Q . Pak $d[v_r] \leq d[v_1] + 1$ a $d[v_i] \leq d[v_{i+1}]$ pro $i = 1, 2, \dots, r - 1$.

Důkaz.

- ▶ Indukcí vzhledem k počtu operací fronty. Na počátku je $Q = \langle s \rangle$ a tvrzení platí. Tvrzení platí po obou frontových operacích:
- ▶ v_1 odebráno, pak v_2 nový první prvek (pokud se fronta vyprázdní, tvrzení platí triviálně). Z IP máme $d[v_1] \leq d[v_2]$. Pak ale $d[v_r] \leq d[v_1] + 1 \leq d[v_2] + 1$, zbytek nerovností je nezměněn.
- ▶ v_{r+1} vloženo do Q (řádek 17). V tu dobu je již z Q vyjmut uzel u , jehož seznam se prochází. Z IP máme $d[u] \leq d[v_1]$. Tedy, $d[v_{r+1}] = d[u] + 1 \leq d[v_1] + 1$. Proto $d[v_r] \leq_{IP} d[u] + 1 = d[v_{r+1}]$. Zbytek nerovností je nezměněn.



Corollary 5.

Nechť uzly v_i a v_j jsou vloženy do fronty během provádění BFS a že v_i je vloženo před v_j . Pak $d[v_i] \leq d[v_j]$ v okamžiku vložení v_j do fronty.

Důkaz.

Z předchozího lemmatu a vlastnosti, že každý uzel obdrží konečnou hodnotu d nejvýše jednou během výpočtu. □

Theorem 6 (Korektnost algoritmu BFS).

Nechť $G = (V, E)$ je (ne)orientovaný graf a $s \in V$. Pak $BFS(G, s)$ prozkoumá všechny uzly $v \in V$ dosažitelné z s a po ukončení platí, že $d[v] = \delta(s, v)$ pro všechna $v \in V$. Pro každý uzel $v \neq s$ dosažitelný z s navíc platí, že jedna z nejkratších cest z s do v je nejkratší cesta z s do $\pi[v]$ následovaná hranou $(\pi[v], v)$.

Důkaz

- ▶ Sporem. Nechť v je uzel s minimální $\delta(s, v)$ takový, že $d[v] \neq \delta(s, v)$. Zřejmě $v \neq s$.

Theorem 6 (Korektnost algoritmu BFS).

Nechť $G = (V, E)$ je (ne)orientovaný graf a $s \in V$. Pak $BFS(G, s)$ prozkoumá všechny uzly $v \in V$ dosažitelné z s a po ukončení platí, že $d[v] = \delta(s, v)$ pro všechna $v \in V$. Pro každý uzel $v \neq s$ dosažitelný z s navíc platí, že jedna z nejkratších cest z s do v je nejkratší cesta z s do $\pi[v]$ následovaná hranou $(\pi[v], v)$.

Důkaz

- ▶ Sporem. Nechť v je uzel s minimální $\delta(s, v)$ takový, že $d[v] \neq \delta(s, v)$. Zřejmě $v \neq s$.
- ▶ Lemma 3 říká, že $d[v] \geq \delta(s, v)$, proto $d[v] > \delta(s, v)$. Navíc, v musí být dosažitelný z s , protože jinak je $\delta(s, v) = \infty \geq d[v]$.

Theorem 6 (Korektnost algoritmu BFS).

Nechť $G = (V, E)$ je (ne)orientovaný graf a $s \in V$. Pak $BFS(G, s)$ prozkoumá všechny uzly $v \in V$ dosažitelné z s a po ukončení platí, že $d[v] = \delta(s, v)$ pro všechna $v \in V$. Pro každý uzel $v \neq s$ dosažitelný z s navíc platí, že jedna z nejkratších cest z s do v je nejkratší cesta z s do $\pi[v]$ následovaná hranou $(\pi[v], v)$.

Důkaz

- ▶ Sporem. Nechť v je uzel s minimální $\delta(s, v)$ takový, že $d[v] \neq \delta(s, v)$. Zřejmě $v \neq s$.
- ▶ Lemma 3 říká, že $d[v] \geq \delta(s, v)$, proto $d[v] > \delta(s, v)$. Navíc, v musí být dosažitelný z s , protože jinak je $\delta(s, v) = \infty \geq d[v]$.
- ▶ Nechť u je uzel bezprostředně předcházející v na nejkratší cestě z s do v , tj. $\delta(s, v) = \delta(s, u) + 1$. Protože $\delta(s, u) < \delta(s, v)$ a vzhledem k volbě v , platí $d[u] = \delta(s, u)$.

Theorem 6 (Korektnost algoritmu BFS).

Nechť $G = (V, E)$ je (ne)orientovaný graf a $s \in V$. Pak $BFS(G, s)$ prozkoumá všechny uzly $v \in V$ dosažitelné z s a po ukončení platí, že $d[v] = \delta(s, v)$ pro všechna $v \in V$. Pro každý uzel $v \neq s$ dosažitelný z s navíc platí, že jedna z nejkratších cest z s do v je nejkratší cesta z s do $\pi[v]$ následovaná hranou $(\pi[v], v)$.

Důkaz

- ▶ Sporem. Nechť v je uzel s minimální $\delta(s, v)$ takový, že $d[v] \neq \delta(s, v)$. Zřejmě $v \neq s$.
- ▶ Lemma 3 říká, že $d[v] \geq \delta(s, v)$, proto $d[v] > \delta(s, v)$. Navíc, v musí být dosažitelný z s , protože jinak je $\delta(s, v) = \infty \geq d[v]$.
- ▶ Nechť u je uzel bezprostředně předcházející v na nejkratší cestě z s do v , tj. $\delta(s, v) = \delta(s, u) + 1$. Protože $\delta(s, u) < \delta(s, v)$ a vzhledem k volbě v , platí $d[u] = \delta(s, u)$.
- ▶ Celkem tedy $d[v] > \delta(s, v) = \delta(s, u) + 1 = d[u] + 1$.

Důkaz(pokračování).

- ▶ Uvažme nyní BFS v době, kdy u je vybíráno z Q na řádku 11, tj. v je buď bílý, šedý, nebo černý.

Důkaz(pokračování).

- ▶ Uvažme nyní BFS v době, kdy u je vybíráno z Q na řádku 11, tj. v je buď bílý, šedý, nebo černý.
- ▶ v je bílý, pak řádek 15 nastavuje $d[v] = d[u] + 1$ – spor.

Důkaz(pokračování).

- ▶ Uvažme nyní BFS v době, kdy u je vybíráno z Q na řádku 11, tj. v je buď bílý, šedý, nebo černý.
- ▶ v je bílý, pak řádek 15 nastavuje $d[v] = d[u] + 1$ – spor.
- ▶ v je černý, pak v již bylo vybráno z Q a podle Důsledku 5 je $d[v] \leq d[u]$ – spor.

Důkaz(pokračování).

- ▶ Uvažme nyní BFS v době, kdy u je vybíráno z Q na řádku 11, tj. v je buď bílý, šedý, nebo černý.
- ▶ v je bílý, pak řádek 15 nastavuje $d[v] = d[u] + 1$ – spor.
- ▶ v je černý, pak v již bylo vybráno z Q a podle Důsledku 5 je $d[v] \leq d[u]$ – spor.
- ▶ v je šedý, pak v bylo obarveno při výběru nějakého uzlu w , jenž byl vybrán z Q dříve než u . Navíc, $d[v] = d[w] + 1$. Podle Důsledku 5 je $d[w] \leq d[u]$, tj. $d[v] \leq d[u] + 1$ – spor.

Důkaz(pokračování).

- ▶ Uvažme nyní BFS v době, kdy u je vybíráno z Q na řádku 11, tj. v je buď bílý, šedý, nebo černý.
- ▶ v je bílý, pak řádek 15 nastavuje $d[v] = d[u] + 1$ – spor.
- ▶ v je černý, pak v již bylo vybráno z Q a podle Důsledku 5 je $d[v] \leq d[u]$ – spor.
- ▶ v je šedý, pak v bylo obarveno při výběru nějakého uzlu w , jenž byl vybrán z Q dříve než u . Navíc, $d[v] = d[w] + 1$. Podle Důsledku 5 je $d[w] \leq d[u]$, tj. $d[v] \leq d[u] + 1$ – spor.
- ▶ Tedy $d[v] = \delta(s, v)$ pro všechna $v \in V$. Navíc, všechny uzly dosažitelné z s musí být prozkoumány, protože jinak je jejich d hodnota nekonečno.

Důkaz(pokračování).

- ▶ Uvažme nyní BFS v době, kdy u je vybíráno z Q na řádku 11, tj. v je buď bílý, šedý, nebo černý.
- ▶ v je bílý, pak řádek 15 nastavuje $d[v] = d[u] + 1$ – spor.
- ▶ v je černý, pak v již bylo vybráno z Q a podle Důsledku 5 je $d[v] \leq d[u]$ – spor.
- ▶ v je šedý, pak v bylo obarveno při výběru nějakého uzlu w , jenž byl vybrán z Q dříve než u . Navíc, $d[v] = d[w] + 1$. Podle Důsledku 5 je $d[w] \leq d[u]$, tj. $d[v] \leq d[u] + 1$ – spor.
- ▶ Tedy $d[v] = \delta(s, v)$ pro všechna $v \in V$. Navíc, všechny uzly dosažitelné z s musí být prozkoumány, protože jinak je jejich d hodnota nekonečno.
- ▶ Konečně, všimněme si, že když $\pi[v] = u$, pak $d[v] = d[u] + 1$, tj. nejkratší cestu z s do v můžeme získat přidáním hrany $(\pi[v], v)$ k nejkratší cestě z s do $\pi[v]$.

Strom prohledávání do šířky (BFS strom)

- ▶ Necht' π je pole předchůdců vypočtené procedurou $BFS(G,s)$ na nějakém grafu $G = (V,E)$ a uzlu $s \in V$.

Strom prohledávání do šířky (BFS strom)

- ▶ Necht' π je pole předchůdců vypočtené procedurou $BFS(G, s)$ na nějakém grafu $G = (V, E)$ a uzlu $s \in V$.
- ▶ **Podgraf předchůdců** grafu G je graf $G_\pi = (V_\pi, E_\pi)$, kde
- ▶ $V_\pi = \{v \in V : \pi[v] \neq NIL\} \cup \{s\}$ a
- ▶ $E_\pi = \{(\pi[v], v) : v \in V_\pi - \{s\}\}$.

Strom prohledávání do šířky (BFS strom)

- ▶ Necht' π je pole předchůdců vypočtené procedurou $BFS(G, s)$ na nějakém grafu $G = (V, E)$ a uzlu $s \in V$.
- ▶ **Podgraf předchůdců** grafu G je graf $G_\pi = (V_\pi, E_\pi)$, kde
- ▶ $V_\pi = \{v \in V : \pi[v] \neq NIL\} \cup \{s\}$ a
- ▶ $E_\pi = \{(\pi[v], v) : v \in V_\pi - \{s\}\}$.
- ▶ Graf G_π je **BFS strom**, pokud V_π obsahuje pouze uzly dosažitelné z s a pro všechna $v \in V_\pi$ existuje pouze jediná cesta z s do v , která je zároveň nejkratší cestou.
- ▶ BFS strom je strom, neboť platí, že $|E_\pi| = |V_\pi| - 1$.

Lemma 7.

Nechť G je orientovaný či neorientovaný graf. Procedura BFS konstruuje π tak, že G_π je BFS strom.

Důkaz.

- ▶ Řádek 16 BFS nastavuje $\pi[v] = u$ právě když $(u, v) \in E$ a $\delta(s, v) < \infty$.

Lemma 7.

Nechť G je orientovaný či neorientovaný graf. Procedura BFS konstruuje π tak, že G_π je BFS strom.

Důkaz.

- ▶ Řádek 16 BFS nastavuje $\pi[v] = u$ právě když $(u, v) \in E$ a $\delta(s, v) < \infty$.
- ▶ V_π tedy obsahuje pouze uzly dosažitelné z s .

Lemma 7.

Nechť G je orientovaný či neorientovaný graf. Procedura BFS konstruuje π tak, že G_π je BFS strom.

Důkaz.

- ▶ Řádek 16 BFS nastavuje $\pi[v] = u$ právě když $(u, v) \in E$ a $\delta(s, v) < \infty$.
- ▶ V_π tedy obsahuje pouze uzly dosažitelné z s .
- ▶ Protože G_π je strom, obsahuje pouze jednu cestu z s do každého z ostatních uzlů.

Lemma 7.

Nechť G je orientovaný či neorientovaný graf. Procedura BFS konstruuje π tak, že G_π je BFS strom.

Důkaz.

- ▶ Řádek 16 BFS nastavuje $\pi[v] = u$ právě když $(u, v) \in E$ a $\delta(s, v) < \infty$.
- ▶ V_π tedy obsahuje pouze uzly dosažitelné z s .
- ▶ Protože G_π je strom, obsahuje pouze jednu cestu z s do každého z ostatních uzlů.
- ▶ Induktivní aplikací Teorému 6 dostáváme, že každá tato cesta je nejkratší.



Tisk nejkratší cesty z s do v

```
PRINT-PATH( $G, s, v$ )  
1 if  $v = s$   
2   then print  $s$   
3   else if  $\pi[v] = NIL$   
4     then print "Cesta z"  $s$  "do"  $v$  "neexistuje!"  
5     else PRINT-PATH( $G, s, \pi[v]$ )  
6       print  $v$ 
```

Složitost $O(n)$.

Prohledávání do hloubky

Prohledávání do hloubky (DFS)

- ▶ Vstup: (ne)orientovaný graf $G = (V, E)$.

Prohledávání do hloubky (DFS)

- ▶ Vstup: (ne)orientovaný graf $G = (V, E)$.
- ▶ Na rozdíl od BFS prochází DFS všechny uzly.
- ▶ Při procházení grafu obarvuje uzly bílou, šedou a černou barvou.
- ▶ Používá pole předchůdců π .

Prohledávání do hloubky (DFS)

- ▶ Vstup: (ne)orientovaný graf $G = (V, E)$.
- ▶ Na rozdíl od BFS prochází DFS všechny uzly.
- ▶ Při procházení grafu obarvuje uzly bílou, šedou a černou barvou.
- ▶ Používá pole předchůdců π .
- ▶ Vytváří **les prohledávání do hloubky** obsahující všechny uzly grafu, který je definován takto: $G_\pi = (V, E_\pi)$, kde

$$E_\pi = \{(\pi[v], v) : v \in V, \pi[v] \neq \text{NIL}\}.$$

- ▶ Re prezentace grafu – seznam sousedů.
- ▶ $color[u] \in \{WHITE, GRAY, BLACK\}$.
- ▶ $d[u]$ je časová známka prvního prozkoumání uzlu (obarvení na šedo).
- ▶ $f[u]$ je časová známka dokončení prozkoumávání seznamu sousedů uzlu u (začernění uzlu).

- ▶ Re prezentace grafu – seznam sousedů.
- ▶ $color[u] \in \{WHITE, GRAY, BLACK\}$.
- ▶ $d[u]$ je časová známka prvního prozkoumání uzlu (obarvení na šedo).
- ▶ $f[u]$ je časová známka dokončení prozkoumávání seznamu sousedů uzlu u (začernění uzlu).
- ▶ $1 \leq d[u] < f[u] \leq 2n$.

- ▶ Re prezentace grafu – seznam sousedů.
- ▶ $color[u] \in \{WHITE, GRAY, BLACK\}$.
- ▶ $d[u]$ je časová známka prvního prozkoumání uzlu (obarvení na šedo).
- ▶ $f[u]$ je časová známka dokončení prozkoumávání seznamu sousedů uzlu u (začernění uzlu).
- ▶ $1 \leq d[u] < f[u] \leq 2n$.
- ▶ $color[u] = WHITE$ v čase před $d[u]$.
- ▶ $color[u] = GRAY$ v čase $d[u]$ až $f[u]$.
- ▶ $color[u] = BLACK$ v čase po $f[u]$.

- ▶ Re prezentace grafu – seznam sousedů.
- ▶ $color[u] \in \{WHITE, GRAY, BLACK\}$.
- ▶ $d[u]$ je časová známka prvního prozkoumání uzlu (obarvení na šedo).
- ▶ $f[u]$ je časová známka dokončení prozkoumávání seznamu sousedů uzlu u (začernění uzlu).
- ▶ $1 \leq d[u] < f[u] \leq 2n$.
- ▶ $color[u] = WHITE$ v čase před $d[u]$.
- ▶ $color[u] = GRAY$ v čase $d[u]$ až $f[u]$.
- ▶ $color[u] = BLACK$ v čase po $f[u]$.
- ▶ $time$ je globální proměnná.

DFS(G)

```
1 for každý uzel  $u \in V$ 
2   do  $color[u] \leftarrow WHITE$ 
3      $\pi[u] \leftarrow NIL$ 
4  $time \leftarrow 0$ 
5 for každý uzel  $u \in V$ 
6   do if  $color[u] = WHITE$ 
7     then DFS-VISIT( $u$ )
```

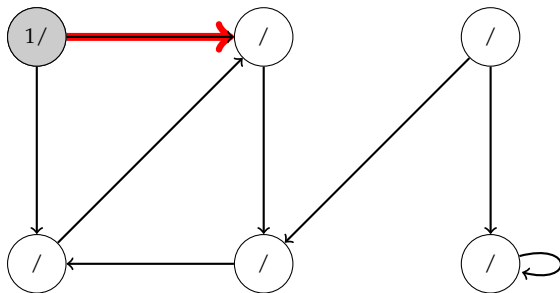

DFS(G)

```
1 for každý uzel  $u \in V$ 
2   do  $color[u] \leftarrow WHITE$ 
3      $\pi[u] \leftarrow NIL$ 
4  $time \leftarrow 0$ 
5 for každý uzel  $u \in V$ 
6   do if  $color[u] = WHITE$ 
7     then DFS-VISIT( $u$ )
```

DFS-VISIT(u)

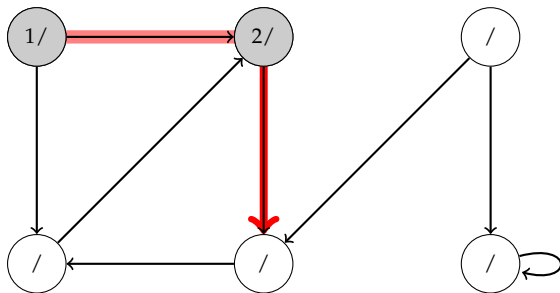
```
1  $color[u] \leftarrow GRAY$ 
2  $time \leftarrow time + 1$ 
3  $d[u] \leftarrow time$ 
4 for každý uzel  $v \in Adj[u]$ 
5   do if  $color[v] = WHITE$ 
6     then  $\pi[v] \leftarrow u$ 
7       DFS-VISIT( $v$ )
8  $color[u] \leftarrow BLACK$ 
9  $f[u] \leftarrow time \leftarrow time + 1$ 
```

DFS – příklad



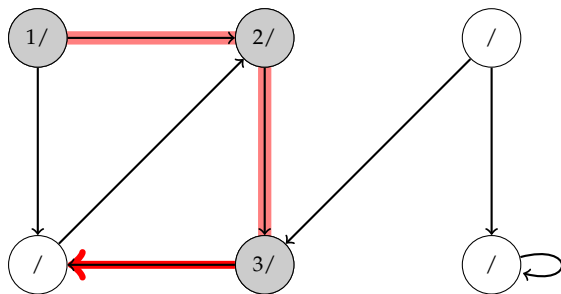
Obrázek: *B* značí back hranu, *F* značí forward hranu a *C* značí cross hranu.

DFS – příklad



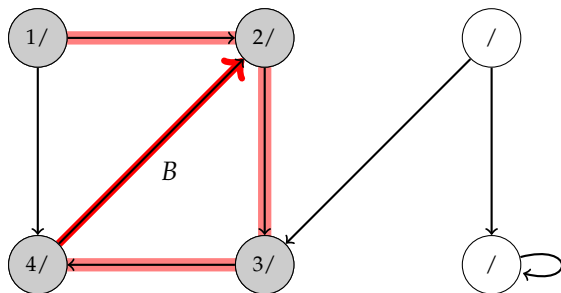
Obrázek: *B* značí back hranu, *F* značí forward hranu a *C* značí cross hranu.

DFS – příklad



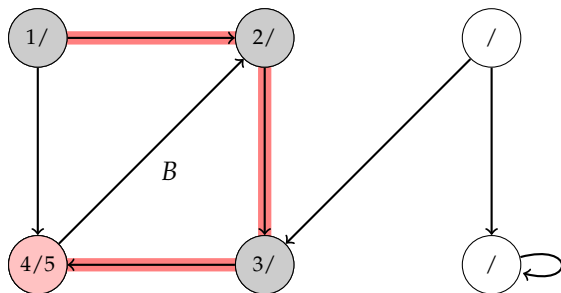
Obrázek: *B* značí back hranu, *F* značí forward hranu a *C* značí cross hranu.

DFS – příklad



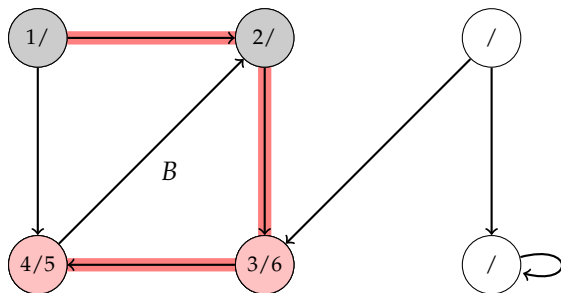
Obrázek: *B* značí back hranu, *F* značí forward hranu a *C* značí cross hranu.

DFS – příklad



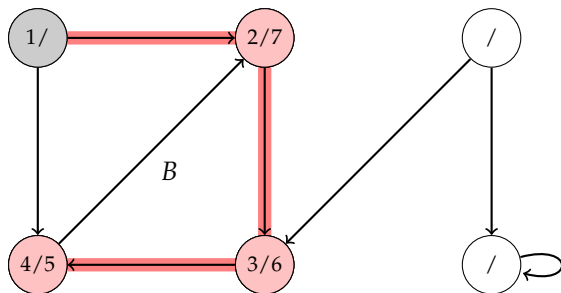
Obrázek: *B* značí back hranu, *F* značí forward hranu a *C* značí cross hranu.

DFS – příklad



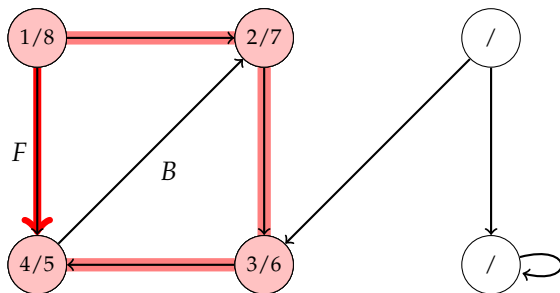
Obrázek: *B* značí back hranu, *F* značí forward hranu a *C* značí cross hranu.

DFS – příklad



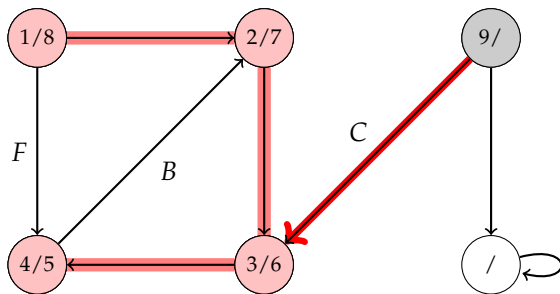
Obrázek: *B* značí back hranu, *F* značí forward hranu a *C* značí cross hranu.

DFS – příklad



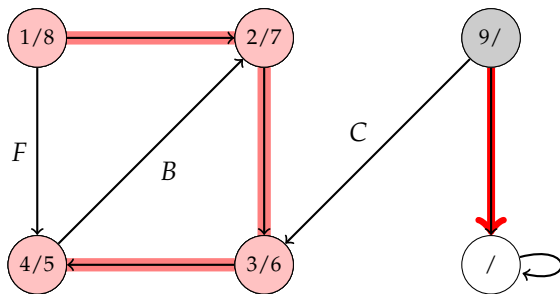
Obrázek: B značí back hranu, F značí forward hranu a C značí cross hranu.

DFS – příklad



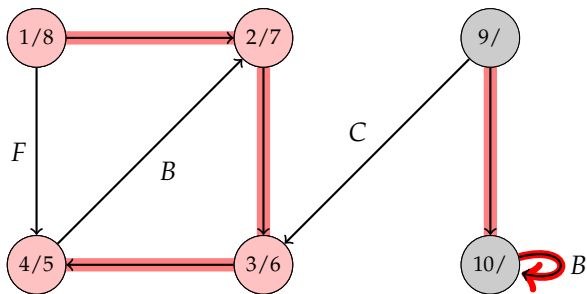
Obrázek: *B* značí back hranu, *F* značí forward hranu a *C* značí cross hranu.

DFS – příklad



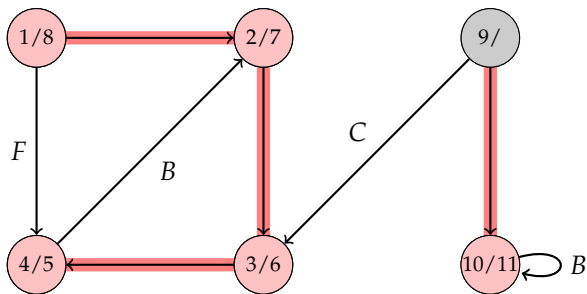
Obrázek: *B* značí back hranu, *F* značí forward hranu a *C* značí cross hranu.

DFS – příklad



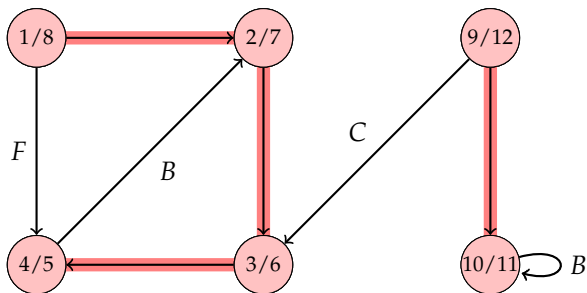
Obrázek: *B* značí back hranu, *F* značí forward hranu a *C* značí cross hranu.

DFS – příklad



Obrázek: *B* značí back hranu, *F* značí forward hranu a *C* značí cross hranu.

DFS – příklad



Obrázek: *B* značí back hranu, *F* značí forward hranu a *C* značí cross hranu.

Časová složitost DFS

```
DFS(G)
1  for každý uzel  $u \in V$ 
2      do  $color[u] \leftarrow WHITE$ 
3           $\pi[u] \leftarrow NIL$ 
4   $time \leftarrow 0$ 
5  for každý uzel  $u \in V$ 
6      do if  $color[u] = WHITE$ 
7          then DFS-VISIT( $u$ )
```

- ▶ Cykly na řádcích 1–3 a 5–7 bez volání funkce DFS-VISIT vezmou čas $\Theta(n)$.

Časová složitost DFS

```
DFS-VISIT( $u$ )
1  $color[u] \leftarrow GRAY$ 
2  $time \leftarrow time + 1$ 
3  $d[u] \leftarrow time$ 
4 for každý uzel  $v \in Adj[u]$ 
5     do if  $color[v] = WHITE$ 
6         then  $\pi[v] \leftarrow u$ 
7             DFS-VISIT( $v$ )
8  $color[u] \leftarrow BLACK$ 
9  $f[u] \leftarrow time \leftarrow time + 1$ 
```

- ▶ Funkce je volána pouze na bílé uzly a první věc, kterou udělá, je jejich obarvení na šedo. Je tedy volána přesně jednou pro každý uzel $v \in V$.

Časová složitost DFS

```
DFS-VISIT( $u$ )
1  $color[u] \leftarrow GRAY$ 
2  $time \leftarrow time + 1$ 
3  $d[u] \leftarrow time$ 
4 for každý uzel  $v \in Adj[u]$ 
5     do if  $color[v] = WHITE$ 
6         then  $\pi[v] \leftarrow u$ 
7             DFS-VISIT( $v$ )
8  $color[u] \leftarrow BLACK$ 
9  $f[u] \leftarrow time \leftarrow time + 1$ 
```

- ▶ Funkce je volána pouze na bílé uzly a první věc, kterou udělá, je jejich obarvení na šedo. Je tedy volána přesně jednou pro každý uzel $v \in V$.
- ▶ Pro každý uzel v je cyklus 4–7 prováděn $|Adj[v]|$ -krát.

Časová složitost DFS

```
DFS-VISIT( $u$ )
1  $color[u] \leftarrow GRAY$ 
2  $time \leftarrow time + 1$ 
3  $d[u] \leftarrow time$ 
4 for každý uzel  $v \in Adj[u]$ 
5     do if  $color[v] = WHITE$ 
6         then  $\pi[v] \leftarrow u$ 
7             DFS-VISIT( $v$ )
8  $color[u] \leftarrow BLACK$ 
9  $f[u] \leftarrow time \leftarrow time + 1$ 
```

- ▶ Funkce je volána pouze na bílé uzly a první věc, kterou udělá, je jejich obarvení na šedo. Je tedy volána přesně jednou pro každý uzel $v \in V$.
- ▶ Pro každý uzel v je cyklus 4–7 prováděn $|Adj[v]|$ -krát.
- ▶ Jelikož $\sum_{v \in V} |Adj[v]| = \Theta(m)$, je celková cena řádků 4–7 $\Theta(m)$.

Časová složitost DFS

```
DFS-VISIT( $u$ )
1  $color[u] \leftarrow GRAY$ 
2  $time \leftarrow time + 1$ 
3  $d[u] \leftarrow time$ 
4 for každý uzel  $v \in Adj[u]$ 
5     do if  $color[v] = WHITE$ 
6         then  $\pi[v] \leftarrow u$ 
7             DFS-VISIT( $v$ )
8  $color[u] \leftarrow BLACK$ 
9  $f[u] \leftarrow time \leftarrow time + 1$ 
```

- ▶ Funkce je volána pouze na bílé uzly a první věc, kterou udělá, je jejich obarvení na šedo. Je tedy volána přesně jednou pro každý uzel $v \in V$.
- ▶ Pro každý uzel v je cyklus 4–7 prováděn $|Adj[v]|$ -krát.
- ▶ Jelikož $\sum_{v \in V} |Adj[v]| = \Theta(m)$, je celková cena řádků 4–7 $\Theta(m)$.
- ▶ Celková složitost je tedy $\Theta(m + n)$.

Závorková věta

V prohlédávání do hloubky (ne)orientovaného grafu $G = (V, E)$ pro libovolné dva uzly u a v platí právě jedno z následujících:

- ▶ intervaly $[d[u], f[u]]$ a $[d[v], f[v]]$ jsou disjunktní a ani u není následníkem v ani v není následníkem u v DFS lese,
- ▶ interval $[d[u], f[u]]$ je celý obsažen v intervalu $[d[v], f[v]]$ a u je následníkem v v nějakém DFS stromě, nebo
- ▶ interval $[d[v], f[v]]$ je celý obsažen v intervalu $[d[u], f[u]]$ a v je následníkem u v nějakém DFS stromě.

Závorková věta

V prohledávání do hloubky (ne)orientovaného grafu $G = (V, E)$ pro libovolné dva uzly u a v platí právě jedno z následujících:

- ▶ intervaly $[d[u], f[u]]$ a $[d[v], f[v]]$ jsou disjunktní a ani u není následníkem v ani v není následníkem u v DFS lese,
- ▶ interval $[d[u], f[u]]$ je celý obsažen v intervalu $[d[v], f[v]]$ a u je následníkem v v nějakém DFS stromě, nebo
- ▶ interval $[d[v], f[v]]$ je celý obsažen v intervalu $[d[u], f[u]]$ a v je následníkem u v nějakém DFS stromě.

Důkaz pro $d[u] < d[v]$ (opačná nerovnost se dokáže podobně).

- ▶ $d[v] < f[u]$, pak v bylo prozkoumáno, když u bylo šedé. Protože v prozkoumáno později než u , je v dokončeno před u , tj. $f[v] < f[u]$.

Závorková věta

V prohledávání do hloubky (ne)orientovaného grafu $G = (V, E)$ pro libovolné dva uzly u a v platí právě jedno z následujících:

- ▶ intervaly $[d[u], f[u]]$ a $[d[v], f[v]]$ jsou disjunktní a ani u není následníkem v ani v není následníkem u v DFS lese,
- ▶ interval $[d[u], f[u]]$ je celý obsažen v intervalu $[d[v], f[v]]$ a u je následníkem v v nějakém DFS stromě, nebo
- ▶ interval $[d[v], f[v]]$ je celý obsažen v intervalu $[d[u], f[u]]$ a v je následníkem u v nějakém DFS stromě.

Důkaz pro $d[u] < d[v]$ (opačná nerovnost se dokáže podobně).

- ▶ $d[v] < f[u]$, pak v bylo prozkoumáno, když u bylo šedé. Protože v prozkoumáno později než u , je v dokončeno před u , tj. $f[v] < f[u]$.
- ▶ $f[u] < d[v]$, pak z vlastnosti $d[v] < f[v]$ plyne, že oba intervaly jsou disjunktní. Navíc, když je prozkoumáván uzel z jednoho intervalu, nejsou uzly druhého šedé, proto nemůže být jejich následníkem.

Corollary 8.

Uzel v je následníkem uzlu u v DFS lese grafu $G = (V, E)$ právě tehdy, když

$$d[u] < d[v] < f[v] < f[u].$$

Věta o bílé cestě

V DFS lese grafu $G = (V, E)$ je uzel v následníkem uzlu u právě tehdy, když v čase $d[u]$ existuje cesta z u do v obsahující pouze bílé uzly.

Věta o bílé cestě

V DFS lese grafu $G = (V, E)$ je uzel v následníkem uzlu u právě tehdy, když v čase $d[u]$ existuje cesta z u do v obsahující pouze bílé uzly.

Důkaz.

\Rightarrow : Necht' v je následníkem u . Necht' w je uzel na cestě z u do v v DFS lese. Protože w je následníkem u , je podle předchozího důsledku $d[u] < d[w]$. Tedy w je v čase $d[u]$ bílý.

Věta o bílé cestě

V DFS lese grafu $G = (V, E)$ je uzel v následníkem uzlu u právě tehdy, když v čase $d[u]$ existuje cesta z u do v obsahující pouze bílé uzly.

Důkaz.

- \Rightarrow : Necht' v je následníkem u . Necht' w je uzel na cestě z u do v v DFS lese. Protože w je následníkem u , je podle předchozího důsledku $d[u] < d[w]$. Tedy w je v čase $d[u]$ bílý.
- \Leftarrow : Necht' v je nejbližším uzlem k u dosažitelným z u v čase $d[u]$ nějakou bílou cestou takový, že není následníkem u v DFS lese.

Věta o bílé cestě

V DFS lese grafu $G = (V, E)$ je uzel v následníkem uzlu u právě tehdy, když v čase $d[u]$ existuje cesta z u do v obsahující pouze bílé uzly.

Důkaz.

- ⇒: Necht' v je následníkem u . Necht' w je uzel na cestě z u do v v DFS lese. Protože w je následníkem u , je podle předchozího důsledku $d[u] < d[w]$. Tedy w je v čase $d[u]$ bílý.
- ⇐: Necht' v je nejbližším uzlem k u dosažitelným z u v čase $d[u]$ nějakou bílou cestou takový, že není následníkem u v DFS lese.
 - ▶ Necht' w je předchůdce v na dané cestě. Pak w je následníkem u a podle předchozího důsledku je $f[w] \leq f[u]$ (w může být u).

Věta o bílé cestě

V DFS lese grafu $G = (V, E)$ je uzel v následníkem uzlu u právě tehdy, když v čase $d[u]$ existuje cesta z u do v obsahující pouze bílé uzly.

Důkaz.

- ⇒: Necht' v je následníkem u . Necht' w je uzel na cestě z u do v v DFS lese. Protože w je následníkem u , je podle předchozího důsledku $d[u] < d[w]$. Tedy w je v čase $d[u]$ bílý.
- ⇐: Necht' v je nejbližším uzlem k u dosažitelným z u v čase $d[u]$ nějakou bílou cestou takový, že není následníkem u v DFS lese.
- ▶ Necht' w je předchůdce v na dané cestě. Pak w je následníkem u a podle předchozího důsledku je $f[w] \leq f[u]$ (w může být u).
 - ▶ Protože v musí být objeveno po u , ale před ukončením w , je $d[u] < d[v] < f[w] \leq f[u]$.

Věta o bílé cestě

V DFS lese grafu $G = (V, E)$ je uzel v následníkem uzlu u právě tehdy, když v čase $d[u]$ existuje cesta z u do v obsahující pouze bílé uzly.

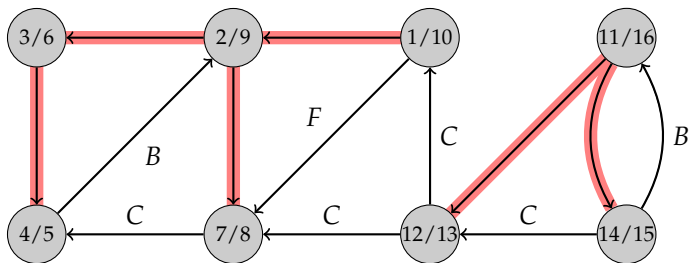
Důkaz.

- ⇒: Necht' v je následníkem u . Necht' w je uzel na cestě z u do v v DFS lese. Protože w je následníkem u , je podle předchozího důsledku $d[u] < d[w]$. Tedy w je v čase $d[u]$ bílý.
- ⇐: Necht' v je nejbližším uzlem k u dosažitelným z u v čase $d[u]$ nějakou bílou cestou takový, že není následníkem u v DFS lese.
- ▶ Necht' w je předchůdce v na dané cestě. Pak w je následníkem u a podle předchozího důsledku je $f[w] \leq f[u]$ (w může být u).
 - ▶ Protože v musí být objeveno po u , ale před ukončením w , je $d[u] < d[v] < f[w] \leq f[u]$.
 - ▶ Závorková věta říká, že interval $[d[v], f[v]]$ je celý obsažen v intervalu $[d[u], f[u]]$. Předchozí důsledek dává, že v je následníkem u .

Klasifikace hran

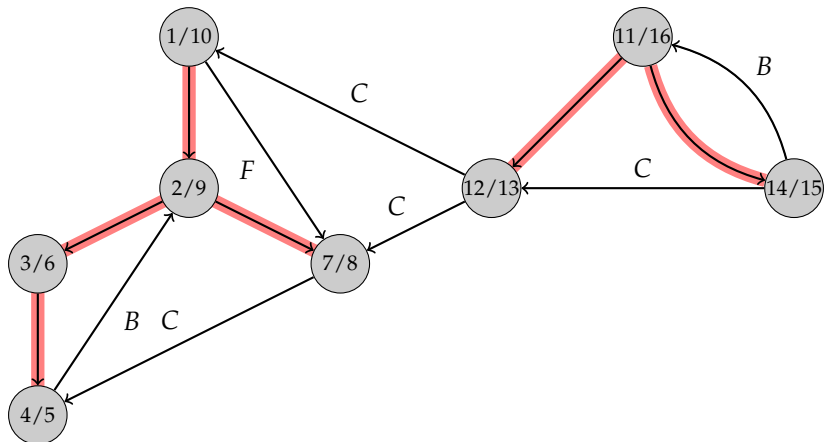
1. **Stromové hrany** jsou hrany DFS lesa G_π . (u, v) je stromová hrana, jestliže v bylo poprvé objeveno prozkoumáváním hrany (u, v) .
Zvýrazněné hrany v předchozích příkladech.
2. **Zpětné hrany** jsou hrany (u, v) spojující u s předchůdcem v v DFS lese. Smyčky jsou zpětné hrany. V příkladech značeno B .
3. **Dopředné hrany** jsou hrany (u, v) spojující u s následníkem v v DFS lese. V příkladech značeno F .
4. **Cross hrany** jsou všechny ostatní hrany.

Příklad



Nakreslení

Každý graf lze nakreslit tak, že stromové a dopředné hrany vedou dolů a zpětné hrany vedou nahoru.



DFS a klasifikace hran

Nechť (u, v) je hrana. Pak během provádění DFS je možno tuto hranu klasifikovat podle barvy uzlu v následovně:

1. bílá indikuje stromovou hranu,

DFS a klasifikace hran

Nechť (u, v) je hrana. Pak během provádění DFS je možno tuto hranu klasifikovat podle barvy uzlu v následovně:

1. bílá indikuje stromovou hranu,
2. šedá indikuje zpětnou hranu a

DFS a klasifikace hran

Nechť (u, v) je hrana. Pak během provádění DFS je možno tuto hranu klasifikovat podle barvy uzlu v následovně:

1. bílá indikuje stromovou hranu,
2. šedá indikuje zpětnou hranu a
3. černá indikuje dopřednou nebo cross hranu.
 - ▶ (u, v) je dopředná hrana, jestliže $d[u] < d[v]$ a
 - ▶ cross hrana, jestliže $d[u] > d[v]$.

Neorientovaný graf

Theorem 9.

V prohledávání neorientovaného grafu G je každá hrana buď stromová, nebo zpětná.

Důkaz.

- ▶ Necht' (u, v) je libovolná hrana grafu G a necht' $d[u] < d[v]$.

Neorientovaný graf

Theorem 9.

V prohledávání neorientovaného grafu G je každá hrana buď stromová, nebo zpětná.

Důkaz.

- ▶ Necht' (u, v) je libovolná hrana grafu G a necht' $d[u] < d[v]$.
- ▶ Pak v se stane černý v době, kdy u je šedý.

Neorientovaný graf

Theorem 9.

V prohledávání neorientovaného grafu G je každá hrana buď stromová, nebo zpětná.

Důkaz.

- ▶ Necht' (u, v) je libovolná hrana grafu G a necht' $d[u] < d[v]$.
- ▶ Pak v se stane černý v době, kdy u je šedý.
- ▶ Pokud je hrana (u, v) poprvé prozkoumána ve směru z u do v , je v bílý – jinak bychom již tuto hranu prozkoumali ve směru od v do u .
 (u, v) je tedy stromová hrana.

Neorientovaný graf

Theorem 9.

V prohledávání neorientovaného grafu G je každá hrana buď stromová, nebo zpětná.

Důkaz.

- ▶ Necht' (u, v) je libovolná hrana grafu G a necht' $d[u] < d[v]$.
- ▶ Pak v se stane černý v době, kdy u je šedý.
- ▶ Pokud je hrana (u, v) poprvé prozkoumána ve směru z u do v , je v bílý – jinak bychom již tuto hranu prozkoumali ve směru od v do u . (u, v) je tedy stromová hrana.
- ▶ Pokud je hrana (u, v) poprvé prozkoumána ve směru z v do u , je u stále šedý – protože u je šedý v době, kdy je hrana poprvé prozkoumána. (u, v) je tedy zpětná hrana.



Topologické uspořádání

Topologické uspořádání

- ▶ Aplikace DFS

Topologické uspořádání

- ▶ Aplikace DFS
- ▶ **Topologické uspořádání** orientovaného acyklického grafu $G = (V, E)$ je lineární uspořádání všech jeho uzlů tak, že pokud $(u, v) \in E$, pak u předchází v v onom uspořádání.

Topologické uspořádání

- ▶ Aplikace DFS
- ▶ **Topologické uspořádání** orientovaného acyklického grafu $G = (V, E)$ je lineární uspořádání všech jeho uzlů tak, že pokud $(u, v) \in E$, pak u předchází v v onom uspořádání.
- ▶ Pokud G není acyklický, pak žádné lineární uspořádání neexistuje.

Topologické uspořádání

- ▶ Aplikace DFS
- ▶ **Topologické uspořádání** orientovaného acyklického grafu $G = (V, E)$ je lineární uspořádání všech jeho uzlů tak, že pokud $(u, v) \in E$, pak u předchází v v onom uspořádání.
- ▶ Pokud G není acyklický, pak žádné lineární uspořádání neexistuje.

TOPOLOGICAL-SORT(G)

- 1 zavolej DFS(G) pro výpočet hodnot $f[v]$
- 2 každý dokončený uzel zařaď na začátek seznamu uzlů L
- 3 **return** L

Topologické uspořádání

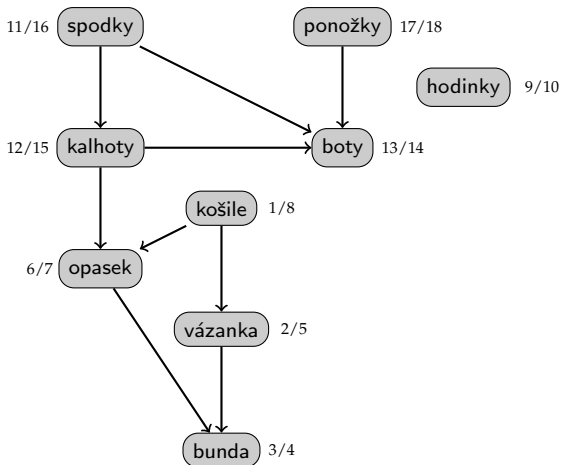
- ▶ Aplikace DFS
- ▶ **Topologické uspořádání** orientovaného acyklického grafu $G = (V, E)$ je lineární uspořádání všech jeho uzlů tak, že pokud $(u, v) \in E$, pak u předchází v v onom uspořádání.
- ▶ Pokud G není acyklický, pak žádné lineární uspořádání neexistuje.

TOPOLOGICAL-SORT(G)

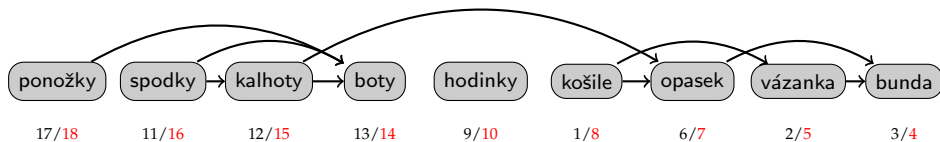
- 1 zavolej DFS(G) pro výpočet hodnot $f[v]$
- 2 každý dokončený uzel zařaď na začátek seznamu uzlů L
- 3 **return** L

- ▶ Složitost DFS je $\Theta(m + n)$, přidání uzlu do seznamu je konstantní, proto je celková složitost $\Theta(m + n)$.

Topologické uspořádání – příklad



Topologické uspořádání – příklad



Lemma 10.

Orientovaný graf G je acyklický právě když $\text{DFS}(G)$ nenajde žádnou zpětnou hranu.

Důkaz.

Lemma 10.

Orientovaný graf G je acyklický právě když $\text{DFS}(G)$ nenajde žádnou zpětnou hranu.

Důkaz.

\Rightarrow : Necht' (u, v) je zpětná hrana. Pak v je následníkem u v DFS lese, tj. existuje cesta z u do v . Hrana (u, v) pak uzavírá cyklus.

Lemma 10.

Orientovaný graf G je acyklický právě když $\text{DFS}(G)$ nenajde žádnou zpětnou hranu.

Důkaz.

- \Rightarrow : Necht' (u, v) je zpětná hrana. Pak v je následníkem u v DFS lese, tj. existuje cesta z u do v . Hrana (u, v) pak uzavírá cyklus.
- \Leftarrow : Necht' G obsahuje cyklus c . Ukážeme, že pak $\text{DFS}(G)$ obsahuje zpětnou hranu.

Lemma 10.

Orientovaný graf G je acyklický právě když $\text{DFS}(G)$ nenajde žádnou zpětnou hranu.

Důkaz.

- \Rightarrow : Necht' (u, v) je zpětná hrana. Pak v je následníkem u v DFS lese, tj. existuje cesta z u do v . Hrana (u, v) pak uzavírá cyklus.
- \Leftarrow : Necht' G obsahuje cyklus c . Ukážeme, že pak $\text{DFS}(G)$ obsahuje zpětnou hranu.
- ▶ Necht' v je první uzel c objeven procedurou $\text{DFS}(G)$ a necht' (u, v) je předcházející hrana na cyklu c .

Lemma 10.

Orientovaný graf G je acyklický právě když $\text{DFS}(G)$ nenajde žádnou zpětnou hranu.

Důkaz.

- \Rightarrow : Necht' (u, v) je zpětná hrana. Pak v je následníkem u v DFS lese, tj. existuje cesta z u do v . Hrana (u, v) pak uzavírá cyklus.
- \Leftarrow : Necht' G obsahuje cyklus c . Ukážeme, že pak $\text{DFS}(G)$ obsahuje zpětnou hranu.
- ▶ Necht' v je první uzel c objeven procedurou $\text{DFS}(G)$ a necht' (u, v) je předcházející hrana na cyklu c .
 - ▶ V čase $d[v]$ tvoří hrany cyklu c bílou cestu z v do u .

Lemma 10.

Orientovaný graf G je acyklický právě když $\text{DFS}(G)$ nenajde žádnou zpětnou hranu.

Důkaz.

- \Rightarrow : Necht' (u, v) je zpětná hrana. Pak v je následníkem u v DFS lese, tj. existuje cesta z u do v . Hrana (u, v) pak uzavírá cyklus.
- \Leftarrow : Necht' G obsahuje cyklus c . Ukážeme, že pak $\text{DFS}(G)$ obsahuje zpětnou hranu.
- ▶ Necht' v je první uzel c objeven procedurou $\text{DFS}(G)$ a necht' (u, v) je předcházející hrana na cyklu c .
 - ▶ V čase $d[v]$ tvoří hrany cyklu c bílou cestu z v do u .
 - ▶ Podle věty o bílé cestě platí, že u je následníkem v v DFS lese. Proto je (u, v) zpětná hrana.



Theorem 11.

Procedura TOPOLOGICAL-SORT(G) *topologicky uspořádá orientovaný acyklický graf* G .

Důkaz.

Theorem 11.

Procedura TOPOLOGICAL-SORT(G) *topologicky uspořádá orientovaný acyklický graf* G .

Důkaz.

- ▶ Necht' DFS je spuštěno na orientovaný acyklický graf $G = (V, E)$ a určí hodnoty $f[v]$.
- ▶ Stačí ukázat, že pokud $(u, v) \in E$, pak $f[v] < f[u]$.

Theorem 11.

Procedura TOPOLOGICAL-SORT(G) *topologicky uspořádá orientovaný acyklický graf* G .

Důkaz.

- ▶ Necht' DFS je spuštěno na orientovaný acyklický graf $G = (V, E)$ a určí hodnoty $f[v]$.
- ▶ Stačí ukázat, že pokud $(u, v) \in E$, pak $f[v] < f[u]$.
- ▶ Necht' (u, v) je právě prozkoumávána procedurou DFS(G), pak v nemůže být šedý, protože jinak by byl v předchůdcem u a (u, v) by byla zpětná hrana – spor s předchozím lemmatem.

Theorem 11.

Procedura TOPOLOGICAL-SORT(G) *topologicky uspořádá orientovaný acyklický graf* G .

Důkaz.

- ▶ Necht' DFS je spuštěno na orientovaný acyklický graf $G = (V, E)$ a určí hodnoty $f[v]$.
- ▶ Stačí ukázat, že pokud $(u, v) \in E$, pak $f[v] < f[u]$.
- ▶ Necht' (u, v) je právě prozkoumávána procedurou DFS(G), pak v nemůže být šedý, protože jinak by byl v předchůdcem u a (u, v) by byla zpětná hrana – spor s předchozím lemmatem.
- ▶ v je bílý, pak v je následníkem u v DFS lese, a proto $f[v] < f[u]$.

Theorem 11.

Procedura TOPOLOGICAL-SORT(G) *topologicky uspořádá orientovaný acyklický graf* G .

Důkaz.

- ▶ Nechť DFS je spuštěno na orientovaný acyklický graf $G = (V, E)$ a určí hodnoty $f[v]$.
- ▶ Stačí ukázat, že pokud $(u, v) \in E$, pak $f[v] < f[u]$.
- ▶ Nechť (u, v) je právě prozkoumávána procedurou DFS(G), pak v nemůže být šedý, protože jinak by byl v předchůdcem u a (u, v) by byla zpětná hrana – spor s předchozím lemmatem.
- ▶ v je bílý, pak v je následníkem u v DFS lese, a proto $f[v] < f[u]$.
- ▶ v je černý, pak $f[v]$ je již nastaveno. Jelikož u je stále prozkoumáváno, není $f[u]$ dosud nastaveno, proto $f[v] < f[u]$.



Silně souvislé komponenty

Silně souvislé komponenty

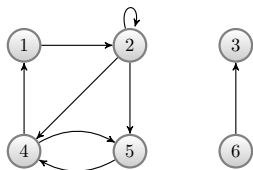
- ▶ Aplikace DFS

Silně souvislé komponenty

- ▶ Aplikace DFS
- ▶ $G = (V, E)$ orientovaný graf. Silně souvislá komponenta je maximální množina $C \subseteq V$ taková, že pro každé $u, v \in C$, $u \rightsquigarrow v$ i $v \rightsquigarrow u$.

Silně souvislé komponenty

- ▶ Aplikace DFS
- ▶ $G = (V, E)$ orientovaný graf. Silně souvislá komponenta je maximální množina $C \subseteq V$ taková, že pro každé $u, v \in C$, $u \rightsquigarrow v$ i $v \rightsquigarrow u$.



Graf má tři silně souvislé komponenty:

- ▶ $\{1, 2, 4, 5\}$
- ▶ $\{3\}$
- ▶ $\{6\}$

- ▶ **Transponovaný graf** grafu $G = (V, E)$ je graf $G^T = (V, E^T)$, kde $E^T = \{(u, v) : (v, u) \in E\}$.

- **Transponovaný graf** grafu $G = (V, E)$ je graf $G^T = (V, E^T)$, kde $E^T = \{(u, v) : (v, u) \in E\}$.

SCC(G)

- 1 zavolej DFS(G) pro výpočet hodnot $f[u]$
- 2 vypočítej G^T
- 3 zavolej DFS(G^T), ale v hlavním cyklu uvažuj uzly
v klesajícím pořadí podle hodnoty $f[u]$
- 4 na výstup dej uzly každého stromu z DFS lesa, určeného na řádce 3,
jako samostatnou silně souvislou komponentu

- ▶ **Transponovaný graf** grafu $G = (V, E)$ je graf $G^T = (V, E^T)$, kde $E^T = \{(u, v) : (v, u) \in E\}$.

SCC(G)

- 1 zavolej DFS(G) pro výpočet hodnot $f[u]$
 - 2 vypočítej G^T
 - 3 zavolej DFS(G^T), ale v hlavním cyklu uvažuj uzly
v klesajícím pořadí podle hodnoty $f[u]$
 - 4 na výstup dej uzly každého stromu z DFS lesa, určeného na řádku 3,
jako samostatnou silně souvislou komponentu
-
- ▶ Složitost $\Theta(m + n)$.

- ▶ **Transponovaný graf** grafu $G = (V, E)$ je graf $G^T = (V, E^T)$, kde $E^T = \{(u, v) : (v, u) \in E\}$.

SCC(G)

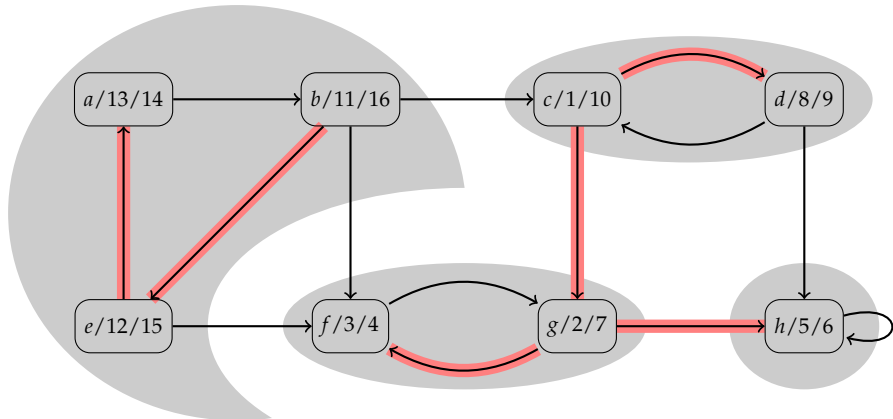
- 1 zavolej DFS(G) pro výpočet hodnot $f[u]$
 - 2 vypočítej G^T
 - 3 zavolej DFS(G^T), ale v hlavním cyklu uvažuj uzly v klesajícím pořadí podle hodnoty $f[u]$
 - 4 na výstup dej uzly každého stromu z DFS lesa, určeného na řádku 3, jako samostatnou silně souvislou komponentu
-
- ▶ Složitost $\Theta(m + n)$.
 - ▶ Seznam sousedů G^T se dá určit ze seznam sousedů G v čase $O(m + n)$. Jak?

- ▶ **Transponovaný graf** grafu $G = (V, E)$ je graf $G^T = (V, E^T)$, kde $E^T = \{(u, v) : (v, u) \in E\}$.

SCC(G)

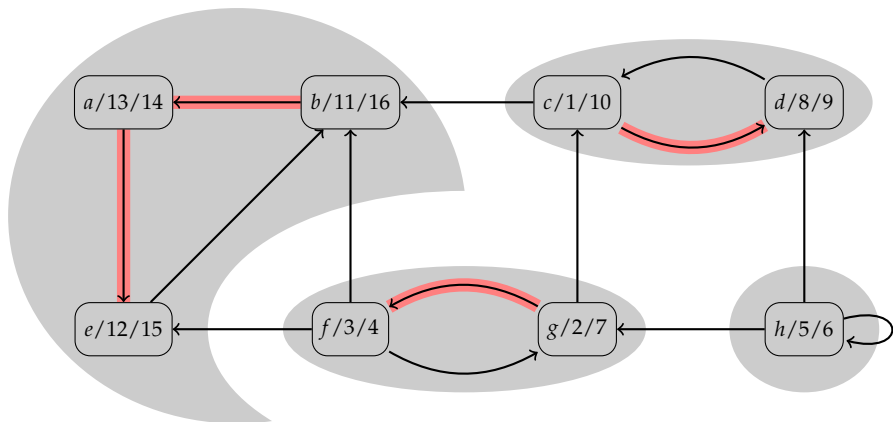
- 1 zavolej DFS(G) pro výpočet hodnot $f[u]$
 - 2 vypočítej G^T
 - 3 zavolej DFS(G^T), ale v hlavním cyklu uvažuj uzly v klesajícím pořadí podle hodnoty $f[u]$
 - 4 na výstup dej uzly každého stromu z DFS lesa, určeného na řádku 3, jako samostatnou silně souvislou komponentu
-
- ▶ Složitost $\Theta(m + n)$.
 - ▶ Seznam sousedů G^T se dá určit ze seznam sousedů G v čase $O(m + n)$. Jak?
 - ▶ G a G^T mají stejné silně souvislé komponenty – u a v jsou vzájemně dosažitelné v G právě když jsou vzájemně dosažitelné v G^T .

SCC – příklad



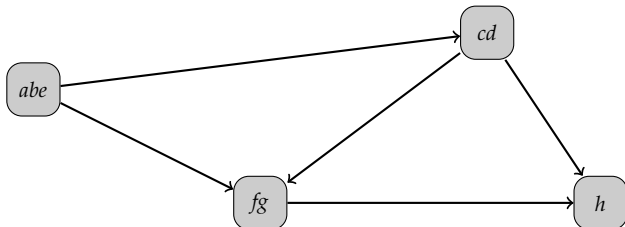
Obrázek: Výsledek $\text{DFS}(G)$. Vyznačeny stromové hrany a silně souvislé komponenty.

SCC – příklad



Obrázek: Graf G^T a výsledek řádku 3 procedury SCC. Uzly b , c , g a h jsou kořeny stromů DFS lesa. Každý strom odpovídá jedné silně souvislé komponentě.

- ▶ **Graf komponent** grafu $G = (V, E)$ je graf $G^{scc} = (V^{scc}, E^{scc})$ definován následovně:
 - ▶ Necht' C_1, C_2, \dots, C_k jsou silně souvislé komponenty grafu G .
 - ▶ $V^{scc} = \{v_1, v_2, \dots, v_k\} \subseteq V$, $V^{scc} \cap C_i \neq \emptyset$, $i = 1, 2, \dots, k$.
 - ▶ $(v_i, v_j) \in E^{scc}$ pokud existují $x \in C_i$ a $y \in C_j$ takové, že $(x, y) \in E$.



Vlastnost grafu komponent

Lemma 12.

Nechť C a C' jsou různé silně souvislé komponenty orientovaného grafu $G = (V, E)$. Nechť $u, v \in C$, $u', v' \in C'$ a $u \rightsquigarrow u'$ v G . Pak NEplatí $v' \rightsquigarrow v$.

Vlastnost grafu komponent

Lemma 12.

Nechť C a C' jsou různé silně souvislé komponenty orientovaného grafu $G = (V, E)$. Nechť $u, v \in C$, $u', v' \in C'$ a $u \rightsquigarrow u'$ v G . Pak NEplatí $v' \rightsquigarrow v$.

Důkaz.

Pokud $v' \rightsquigarrow v$, pak $u \rightsquigarrow u' \rightsquigarrow v'$ a $v' \rightsquigarrow v \rightsquigarrow u$, tj. u a v' jsou vzájemně dosažitelné – spor. □

Vlastnost grafu komponent

Lemma 12.

Nechť C a C' jsou různé silně souvislé komponenty orientovaného grafu $G = (V, E)$. Nechť $u, v \in C$, $u', v' \in C'$ a $u \rightsquigarrow u'$ v G . Pak NEplatí $v' \rightsquigarrow v$.

Důkaz.

Pokud $v' \rightsquigarrow v$, pak $u \rightsquigarrow u' \rightsquigarrow v'$ a $v' \rightsquigarrow v \rightsquigarrow u$, tj. u a v' jsou vzájemně dosažitelné – spor. □

- ▶ V následujícím uvažujeme pouze časy $d[u]$ a $f[u]$ vypočítané prvním voláním procedury DFS.

► $U \subseteq V$, pak $d(U) = \min_{u \in U} \{d[u]\}$ a $f(U) = \max_{u \in U} \{f[u]\}$.

► $U \subseteq V$, pak $d(U) = \min_{u \in U} \{d[u]\}$ a $f(U) = \max_{u \in U} \{f[u]\}$.

Lemma 13.

Nechť C a C' jsou různé silně souvislé komponenty orientovaného grafu $G = (V, E)$. Nechť $(u, v) \in E$, $u \in C$, $v \in C'$. Pak $f(C) > f(C')$.

- ▶ $U \subseteq V$, pak $d(U) = \min_{u \in U} \{d[u]\}$ a $f(U) = \max_{u \in U} \{f[u]\}$.

Lemma 13.

Nechť C a C' jsou různé silně souvislé komponenty orientovaného grafu $G = (V, E)$. Nechť $(u, v) \in E$, $u \in C$, $v \in C'$. Pak $f(C) > f(C')$.

Důkaz

- ▶ 1) $d(C) < d(C')$ – nechť x je první objevený v C . V čase $d[x]$ jsou všechny uzly $C \cup C'$ bílé. Pro $w \in C'$ existuje bílá cesta $x \rightsquigarrow u \rightarrow v \rightsquigarrow w$. Věta o bílé cestě říká, že všechny uzly z $C \cup C'$ jsou následníky x v DFS stromu. Důsledek závorkové věty říká, že $f[x] = f(C) > f(C')$.

- ▶ $U \subseteq V$, pak $d(U) = \min_{u \in U} \{d[u]\}$ a $f(U) = \max_{u \in U} \{f[u]\}$.

Lemma 13.

Nechť C a C' jsou různé silně souvislé komponenty orientovaného grafu $G = (V, E)$. Nechť $(u, v) \in E$, $u \in C$, $v \in C'$. Pak $f(C) > f(C')$.

Důkaz

- ▶ 1) $d(C) < d(C')$ – nechť x je první objevený v C . V čase $d[x]$ jsou všechny uzly $C \cup C'$ bílé. Pro $w \in C'$ existuje bílá cesta $x \rightsquigarrow u \rightarrow v \rightsquigarrow w$. Věta o bílé cestě říká, že všechny uzly z $C \cup C'$ jsou následníky x v DFS stromu. Důsledek závorkové věty říká, že $f[x] = f(C) > f(C')$.
- ▶ 2) $d(C) > d(C')$ – nechť y první objevený v C' . V čase $d[y]$ jsou všechny uzly C' bílé a existuje bílá cesta z y do každého uzlu C' . Věta o bílé cestě a důsledek závorkové věty dávají $f[y] = f(C')$.

- ▶ $U \subseteq V$, pak $d(U) = \min_{u \in U} \{d[u]\}$ a $f(U) = \max_{u \in U} \{f[u]\}$.

Lemma 13.

Nechť C a C' jsou různé silně souvislé komponenty orientovaného grafu $G = (V, E)$. Nechť $(u, v) \in E$, $u \in C$, $v \in C'$. Pak $f(C) > f(C')$.

Důkaz

- ▶ 1) $d(C) < d(C')$ – nechť x je první objevený v C . V čase $d[x]$ jsou všechny uzly $C \cup C'$ bílé. Pro $w \in C'$ existuje bílá cesta $x \rightsquigarrow u \rightarrow v \rightsquigarrow w$. Věta o bílé cestě říká, že všechny uzly z $C \cup C'$ jsou následníky x v DFS stromu. Důsledek závorkové věty říká, že $f[x] = f(C) > f(C')$.
- ▶ 2) $d(C) > d(C')$ – nechť y první objevený v C' . V čase $d[y]$ jsou všechny uzly C' bílé a existuje bílá cesta z y do každého uzlu C' . Věta o bílé cestě a důsledek závorkové věty dávají $f[y] = f(C')$. V čase $d[y]$ jsou všechny uzly C bílé. Z předchozího lemmatu máme, že neexistuje cesta z C' do C . Proto jsou uzly C bílé i v čase $f[y]$, tj. $f[w] > f[y]$, $w \in C$, což dává $f(C) > f(C')$.

Corollary 14.

Nechť C a C' jsou různé silně souvislé komponenty orientovaného grafu $G = (V, E)$. Nechť $(u, v) \in E^T$, $u \in C$, $v \in C'$. Pak $f(C) < f(C')$.

Corollary 14.

Nechť C a C' jsou různé silně souvislé komponenty orientovaného grafu $G = (V, E)$. Nechť $(u, v) \in E^T$, $u \in C$, $v \in C'$. Pak $f(C) < f(C')$.

Důkaz.

$(u, v) \in E^T$ implikuje, že $(v, u) \in E$. Protože silně souvislé komponenty G a G^T jsou stejné, dává předchozí lemma $f(C) < f(C')$. □

Theorem 15.

Procedura $\text{SCC}(G)$ je korektní.

Důkaz

Theorem 15.

Procedura $\text{SCC}(G)$ je korektní.

Důkaz

- ▶ Indukcí vzhledem k počtu DFS stromů nalezených na řádku 3 procedury. IP: Prvních k stromů nalezených procedurou na řádku 3 jsou silně souvislé komponenty. ZK: $k = 0$ je triviální.

Theorem 15.

Procedura $\text{SCC}(G)$ je korektní.

Důkaz

- ▶ Indukcí vzhledem k počtu DFS stromů nalezených na řádku 3 procedury. IP: Prvních k stromů nalezených procedurou na řádku 3 jsou silně souvislé komponenty. ZK: $k = 0$ je triviální.
- ▶ IK: Uvažme $(k + 1)$ -ní nalezený strom. Necht' u je jeho kořen a necht' u je v silně souvislé komponentě C .

Theorem 15.

Procedura $\text{SCC}(G)$ je korektní.

Důkaz

- ▶ Indukcí vzhledem k počtu DFS stromů nalezených na řádku 3 procedury. IP: Prvních k stromů nalezených procedurou na řádku 3 jsou silně souvislé komponenty. ZK: $k = 0$ je triviální.
- ▶ IK: Uvažme $(k + 1)$ -ní nalezený strom. Nechť u je jeho kořen a nechť u je v silně souvislé komponentě C .
- ▶ $f[u] = f(C) > f(C')$ pro libovonou silně souvislou komponentu C' různou od C , která ještě nebyla navštívena.

Theorem 15.

Procedura $\text{SCC}(G)$ je korektní.

Důkaz

- ▶ Indukcí vzhledem k počtu DFS stromů nalezených na řádku 3 procedury. IP: Prvních k stromů nalezených procedurou na řádku 3 jsou silně souvislé komponenty. ZK: $k = 0$ je triviální.
- ▶ IK: Uvažme $(k + 1)$ -ní nalezený strom. Nechť u je jeho kořen a nechť u je v silně souvislé komponentě C .
- ▶ $f[u] = f(C) > f(C')$ pro libovonou silně souvislou komponentu C' různou od C , která ještě nebyla navštívena.
- ▶ Podle IP jsou v čase $d_{GT}[u]$ všechny uzly z C bílé. Věta o bílé cestě dává, že všechny ostatní uzly C jsou následníky u v DFS stromu.

Theorem 15.

Procedura $\text{SCC}(G)$ je korektní.

Důkaz

- ▶ Indukcí vzhledem k počtu DFS stromů nalezených na řádku 3 procedury. IP: Prvních k stromů nalezených procedurou na řádku 3 jsou silně souvislé komponenty. ZK: $k = 0$ je triviální.
- ▶ IK: Uvažme $(k + 1)$ -ní nalezený strom. Nechť u je jeho kořen a nechť u je v silně souvislé komponentě C .
- ▶ $f[u] = f(C) > f(C')$ pro libovonou silně souvislou komponentu C' různou od C , která ještě nebyla navštívena.
- ▶ Podle IP jsou v čase $d_{G^T}[u]$ všechny uzly z C bílé. Věta o bílé cestě dává, že všechny ostatní uzly C jsou následníky u v DFS stromu.
- ▶ Podle IP a předchozího důsledku vede každá hrana v G^T jdoucí z C do již navštívené silně souvislé komponenty.

Theorem 15.

Procedura $\text{SCC}(G)$ je korektní.

Důkaz

- ▶ Indukcí vzhledem k počtu DFS stromů nalezených na řádku 3 procedury. IP: Prvních k stromů nalezených procedurou na řádku 3 jsou silně souvislé komponenty. ZK: $k = 0$ je triviální.
- ▶ IK: Uvažme $(k + 1)$ -ní nalezený strom. Nechť u je jeho kořen a nechť u je v silně souvislé komponentě C .
- ▶ $f[u] = f(C) > f(C')$ pro libovonou silně souvislou komponentu C' různou od C , která ještě nebyla navštívena.
- ▶ Podle IP jsou v čase $d_{G^T}[u]$ všechny uzly z C bílé. Věta o bílé cestě dává, že všechny ostatní uzly C jsou následníky u v DFS stromu.
- ▶ Podle IP a předchozího důsledku vede každá hrana v G^T jdoucí z C do již navštívené silně souvislé komponenty.
- ▶ Tedy žádný uzel z jiné komponenty než C nebude násleníkem u během DFS G^T . Uzly stromu tedy tvoří silně souvislou komponentu.

Minimální kostry

Minimální kostra

- ▶ První algoritmus řešící tento problém navrhl brněnský matematik O. Borůvka, 1926.
- ▶ Necht' $G = (V, E)$ je souvislý neorientovaný graf s váhovou funkcí

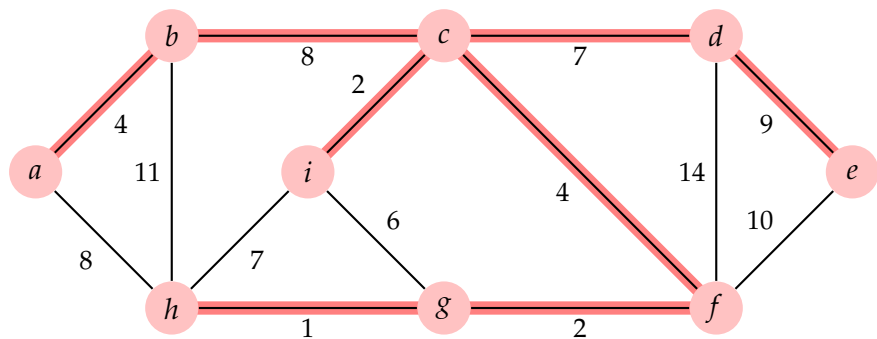
$$w : E \rightarrow \mathbb{R}.$$

- ▶ Úkolem je najít takovou množinu hran $T \subseteq E$, že

$$w(T) = \sum_{(u,v) \in E} w(u,v)$$

je minimální.

Příklad



Generický algoritmus

GENERIC-MST(G, w)

```
1  $A \leftarrow \emptyset$ 
2 while  $A$  netvoří kostru
3     do najdi hranu  $(u, v) \in E$  bezpečnou pro  $A$ 
4      $A \leftarrow A \cup \{(u, v)\}$ 
5 return  $A$ 
```

- ▶ Invariant: Před každou iterací algoritmu je množina A podmnožinou nějaké minimální kostry.
- ▶ Hrana $(u, v) \in E$ je **bezpečná** pro A , pokud $A \cup \{(u, v)\}$ je podmnožinou nějaké minimální kostry.

Pomocné definice

- ▶ **Řez** grafu $G = (V, E)$ je dvojice $(S, V - S)$, $S \subseteq V$.

Pomocné definice

- ▶ **Řez** grafu $G = (V, E)$ je dvojice $(S, V - S)$, $S \subseteq V$.
- ▶ Hrana $(u, v) \in E$ **kříží** řez $(S, V - S)$, pokud jeden její konec je v S a druhý ve $V - S$.

Pomocné definice

- ▶ **Řez** grafu $G = (V, E)$ je dvojice $(S, V - S)$, $S \subseteq V$.
- ▶ Hrana $(u, v) \in E$ **kříží** řez $(S, V - S)$, pokud jeden její konec je v S a druhý ve $V - S$.
- ▶ Řez **respektuje** množinu A hran, pokud žádná hrana v A nekříží řez.

Pomocné definice

- ▶ **Řez** grafu $G = (V, E)$ je dvojice $(S, V - S)$, $S \subseteq V$.
- ▶ Hrana $(u, v) \in E$ **kříží** řez $(S, V - S)$, pokud jeden její konec je v S a druhý ve $V - S$.
- ▶ Řez **respektuje** množinu A hran, pokud žádná hrana v A nekříží řez.
- ▶ Hrana se nazývá **lehká**, pokud kříží řez a její hodnota je minimální z hodnot všech hran, které kříží řez.

Theorem 16.

- ▶ Necht' $G = (V, E)$ je souvislý neorientovaný graf s reálnou váhovou funkcí w .
- ▶ Necht' $A \subseteq E$ je součástí nějaké minimální kostry G .
- ▶ Necht' $(S, V - S)$ je řez, který respektuje A .
- ▶ Necht' (u, v) je lehká hrana hřížící $(S, V - S)$.

Pak hrana (u, v) je bezpečná pro A .

Důkaz

Theorem 16.

- ▶ Necht' $G = (V, E)$ je souvislý neorientovaný graf s reálnou váhovou funkcí w .
- ▶ Necht' $A \subseteq E$ je součástí nějaké minimální kostry G .
- ▶ Necht' $(S, V - S)$ je řez, který respektuje A .
- ▶ Necht' (u, v) je lehká hrana hřížící $(S, V - S)$.

Pak hrana (u, v) je bezpečná pro A .

Důkaz

- ▶ Necht' T je minimální kostra G , $A \subseteq T$, $(u, v) \notin T$.

Theorem 16.

- ▶ Necht' $G = (V, E)$ je souvislý neorientovaný graf s reálnou váhovou funkcí w .
- ▶ Necht' $A \subseteq E$ je součástí nějaké minimální kostry G .
- ▶ Necht' $(S, V - S)$ je řez, který respektuje A .
- ▶ Necht' (u, v) je lehká hrana hřížící $(S, V - S)$.

Pak hrana (u, v) je bezpečná pro A .

Důkaz

- ▶ Necht' T je minimální kostra G , $A \subseteq T$, $(u, v) \notin T$.
- ▶ $u \rightsquigarrow v$ je cesta v T , tj. přidání (u, v) vytváří kružnici. Necht' např. $u \in S$ a $v \in V - S$.

Theorem 16.

- ▶ Necht' $G = (V, E)$ je souvislý neorientovaný graf s reálnou váhovou funkcí w .
- ▶ Necht' $A \subseteq E$ je součástí nějaké minimální kostry G .
- ▶ Necht' $(S, V - S)$ je řez, který respektuje A .
- ▶ Necht' (u, v) je lehká hrana hřížící $(S, V - S)$.

Pak hrana (u, v) je bezpečná pro A .

Důkaz

- ▶ Necht' T je minimální kostra G , $A \subseteq T$, $(u, v) \notin T$.
- ▶ $u \rightsquigarrow v$ je cesta v T , tj. přidání (u, v) vytváří kružnici. Necht' např. $u \in S$ a $v \in V - S$.
- ▶ Necht' (x, y) je hrana z cesty $u \rightsquigarrow v$ v T křížící řez $(S, V - S)$. Protože řez respektuje A , $(x, y) \notin A$.

Theorem 16.

- ▶ Necht' $G = (V, E)$ je souvislý neorientovaný graf s reálnou váhovou funkcí w .
- ▶ Necht' $A \subseteq E$ je součástí nějaké minimální kostry G .
- ▶ Necht' $(S, V - S)$ je řez, který respektuje A .
- ▶ Necht' (u, v) je lehká hrana hřížící $(S, V - S)$.

Pak hrana (u, v) je bezpečná pro A .

Důkaz

- ▶ Necht' T je minimální kostra G , $A \subseteq T$, $(u, v) \notin T$.
- ▶ $u \rightsquigarrow v$ je cesta v T , tj. přidání (u, v) vytváří kružnici. Necht' např. $u \in S$ a $v \in V - S$.
- ▶ Necht' (x, y) je hrana z cesty $u \rightsquigarrow v$ v T křížící řez $(S, V - S)$. Protože řez respektuje A , $(x, y) \notin A$.
- ▶ $T' = (T - \{(x, y)\}) \cup \{(u, v)\}$ je kostra grafu G .

Důkaz.

- ▶ (u, v) je lehká hrana křížící $(S, V - S)$ a (x, y) rovněž kříží řez, tedy $w(u, v) \leq w(x, y)$.

Důkaz.

- ▶ (u, v) je lehká hrana křížící $(S, V - S)$ a (x, y) rovněž kříží řez, tedy $w(u, v) \leq w(x, y)$.
- ▶ Tedy, $w(T') = w(T) - w(x, y) + w(u, v) \leq w(T)$.

Důkaz.

- ▶ (u, v) je lehká hrana křížící $(S, V - S)$ a (x, y) rovněž kříží řez, tedy $w(u, v) \leq w(x, y)$.
- ▶ Tedy, $w(T') = w(T) - w(x, y) + w(u, v) \leq w(T)$.
- ▶ T je minimální kostra, proto $w(T) \leq w(T')$.

Důkaz.

- ▶ (u, v) je lehká hrana křížící $(S, V - S)$ a (x, y) rovněž kříží řez, tedy $w(u, v) \leq w(x, y)$.
- ▶ Tedy, $w(T') = w(T) - w(x, y) + w(u, v) \leq w(T)$.
- ▶ T je minimální kostra, proto $w(T) \leq w(T')$.

- ▶ Protože $A \subseteq T$ a $(x, y) \notin A$, $A \subseteq T'$.

Důkaz.

- ▶ (u, v) je lehká hrana křížící $(S, V - S)$ a (x, y) rovněž kříží řez, tedy $w(u, v) \leq w(x, y)$.
- ▶ Tedy, $w(T') = w(T) - w(x, y) + w(u, v) \leq w(T)$.
- ▶ T je minimální kostra, proto $w(T) \leq w(T')$.

- ▶ Protože $A \subseteq T$ a $(x, y) \notin A$, $A \subseteq T'$.
- ▶ Konečně, $A \cup \{(u, v)\} \subseteq T'$. Protože T' je minimální kostra, je (u, v) bezpečná pro A .



Corollary 17.

- ▶ Necht' $G = (V, E)$ je souvislý neorientovaný graf s reálnou váhovou funkcí w .
- ▶ Necht' $A \subseteq E$ je součástí nějaké minimální kostry G .
- ▶ Necht' $C = (V_C, E_C)$ je souvislá komponenta (strom) v lese $G_A = (V, A)$.

Pokud (u, v) je lehká hrana spojující C s jinou komponentou z G_A , pak (u, v) je bezpečná pro A .

Corollary 17.

- ▶ Necht' $G = (V, E)$ je souvislý neorientovaný graf s reálnou váhovou funkcí w .
- ▶ Necht' $A \subseteq E$ je součástí nějaké minimální kostry G .
- ▶ Necht' $C = (V_C, E_C)$ je souvislá komponenta (strom) v lese $G_A = (V, A)$.

Pokud (u, v) je lehká hrana spojující C s jinou komponentou z G_A , pak (u, v) je bezpečná pro A .

Důkaz.

Řez $(V_C, V - V_C)$ respektuje A a (u, v) je lehká hrana tohoto řezu. Proto je (u, v) bezpečná pro A . □

Kruskalův a Primův (Jarníkův) algoritmus

- ▶ Založeny na generickém algoritmu.
- ▶ Udávají pravidlo vybírající bezpečnou hranu, viz řádek 3 generického algoritmu.

Kruskalův a Primův (Jarníkův) algoritmus

- ▶ Založeny na generickém algoritmu.
- ▶ Udávají pravidlo vybírající bezpečnou hranu, viz řádek 3 generického algoritmu.
- ▶ V Kruskalově algoritmu je A les a bezpečná hrana přidávaná do A je hrana s nejmenším ohodnocením spojující dvě různé komponenty.

Kruskalův a Primův (Jarníkův) algoritmus

- ▶ Založeny na generickém algoritmu.
- ▶ Udávají pravidlo vybírající bezpečnou hranu, viz řádek 3 generického algoritmu.
- ▶ V Kruskalově algoritmu je A les a bezpečná hrana přidávaná do A je hrana s nejmenším ohodnocením spojující dvě různé komponenty.
- ▶ V Primově (Jarníkově) algoritmu je A strom a bezpečná hrana přidávaná do A je hrana s nejmenším ohodnocením spojující strom s uzlem, který není součástí stromu.

Kruskalův algoritmus

KRUSKAL-MST(G, w)

```
1  $A \leftarrow \emptyset$ 
2 for každý uzel  $v \in V$ 
3   do MAKE-SET( $v$ )
4 uspořádej hrany  $E$  do neklesající posloupnosti podle váhy  $w$ 
5 for každou hranu  $(u, v) \in E$  branou v neklesajícím uspořádání podle  $w$ 
6   do if FIND-SET( $u$ )  $\neq$  FIND-SET( $v$ )
7     then  $A \leftarrow A \cup \{(u, v)\}$ 
8         UNION( $u, v$ )
9 return  $A$ 
```

- ▶ MAKE-SET(v) vytvoří množinu obsahující v .
- ▶ FIND-SET(v) vrátí reprezentanta množiny obsahující v .
- ▶ UNION(u, v) sjednotí dvě množiny obsahující u a v .

Kruskalův algoritmus – Složitost

```
KRUSKAL-MST( $G, w$ )
1  $A \leftarrow \emptyset$ 
2 for každý uzel  $v \in V$ 
3   do MAKE-SET( $v$ )
4 uspořádej hrany  $E$  do neklesající posloupnosti podle váhy  $w$ 
5 for každou hranu  $(u, v) \in E$  branou v neklesajícím uspořádání podle  $w$ 
6   do if FIND-SET( $u$ )  $\neq$  FIND-SET( $v$ )
7     then  $A \leftarrow A \cup \{(u, v)\}$ 
8         UNION( $u, v$ )
9 return  $A$ 
```

- ▶ Řádek 1: $O(1)$, Řádek 4: $O(m \log m)$. Řádky 2-3: n -krát složitost MAKE-SET – závisí na implementaci. Řádky 5-8: $O(m)$ -krát FIND-SET a UNION

Kruskalův algoritmus – Složitost

```
KRUSKAL-MST( $G, w$ )
1  $A \leftarrow \emptyset$ 
2 for každý uzel  $v \in V$ 
3   do MAKE-SET( $v$ )
4 uspořádej hrany  $E$  do neklesající posloupnosti podle váhy  $w$ 
5 for každou hranu  $(u, v) \in E$  branou v neklesajícím uspořádání podle  $w$ 
6   do if FIND-SET( $u$ )  $\neq$  FIND-SET( $v$ )
7     then  $A \leftarrow A \cup \{(u, v)\}$ 
8         UNION( $u, v$ )
9 return  $A$ 
```

- ▶ Řádek 1: $O(1)$, Řádek 4: $O(m \log m)$. Řádky 2-3: n -krát složitost MAKE-SET – závisí na implementaci. Řádky 5-8: $O(m)$ -krát FIND-SET a UNION
- ▶ Toto celkem $O((m + n)\alpha(n))$, α je velmi pomalu rostoucí funkce.

Kruskalův algoritmus – Složitost

```
KRUSKAL-MST( $G, w$ )
1  $A \leftarrow \emptyset$ 
2 for každý uzel  $v \in V$ 
3   do MAKE-SET( $v$ )
4 uspořádej hrany  $E$  do neklesající posloupnosti podle váhy  $w$ 
5 for každou hranu  $(u, v) \in E$  branou v neklesajícím uspořádání podle  $w$ 
6   do if FIND-SET( $u$ )  $\neq$  FIND-SET( $v$ )
7     then  $A \leftarrow A \cup \{(u, v)\}$ 
8         UNION( $u, v$ )
9 return  $A$ 
```

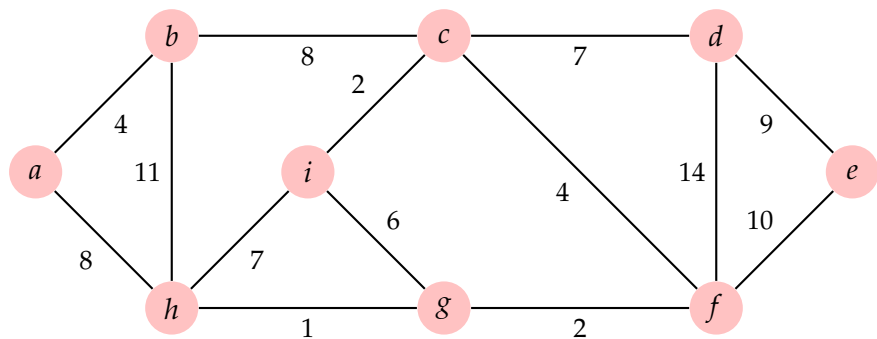
- ▶ Řádek 1: $O(1)$, Řádek 4: $O(m \log m)$. Řádky 2-3: n -krát složitost MAKE-SET – závisí na implementaci. Řádky 5-8: $O(m)$ -krát FIND-SET a UNION
- ▶ Toto celkem $O((m + n)\alpha(n))$, α je velmi pomalu rostoucí funkce.
- ▶ G souvislý dává $m \geq n - 1$. Proto množinové operace berou $O(m\alpha(n))$. Protože $\alpha(n) = O(\log n) = O(\log m)$, celková složitost je $O(m \log m)$

Kruskalův algoritmus – Složitost

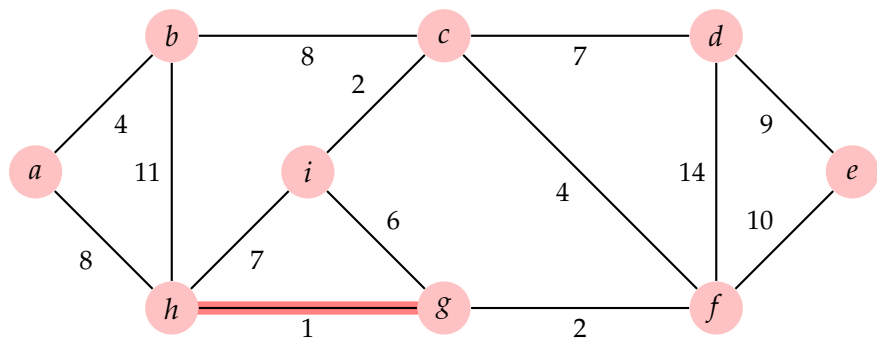
```
KRUSKAL-MST( $G, w$ )
1  $A \leftarrow \emptyset$ 
2 for každý uzel  $v \in V$ 
3   do MAKE-SET( $v$ )
4 uspořádej hrany  $E$  do neklesající posloupnosti podle váhy  $w$ 
5 for každou hranu  $(u, v) \in E$  branou v neklesajícím uspořádání podle  $w$ 
6   do if FIND-SET( $u$ )  $\neq$  FIND-SET( $v$ )
7     then  $A \leftarrow A \cup \{(u, v)\}$ 
8         UNION( $u, v$ )
9 return  $A$ 
```

- ▶ Řádek 1: $O(1)$, Řádek 4: $O(m \log m)$. Řádky 2-3: n -krát složitost MAKE-SET – závisí na implementaci. Řádky 5-8: $O(m)$ -krát FIND-SET a UNION
- ▶ Toto celkem $O((m + n)\alpha(n))$, α je velmi pomalu rostoucí funkce.
- ▶ G souvislý dává $m \geq n - 1$. Proto množinové operace berou $O(m\alpha(n))$. Protože $\alpha(n) = O(\log n) = O(\log m)$, celková složitost je $O(m \log m)$
- ▶ Když si ještě všimneme, že $m < n^2$, je $\log m = O(\log n)$, proto celkem $O(m \log n)$.

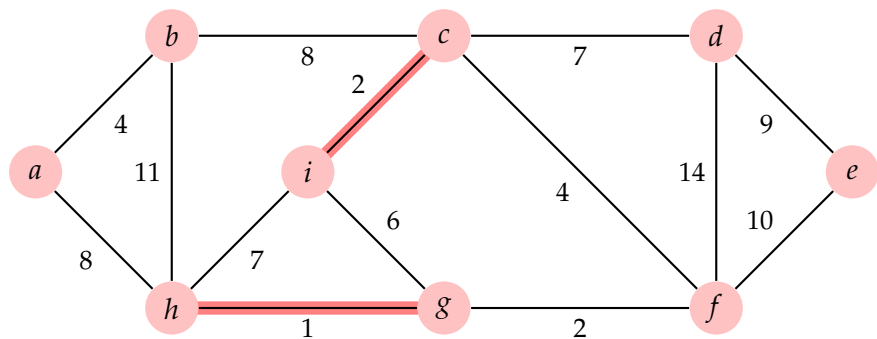
Kruskalův algoritmus – příklad



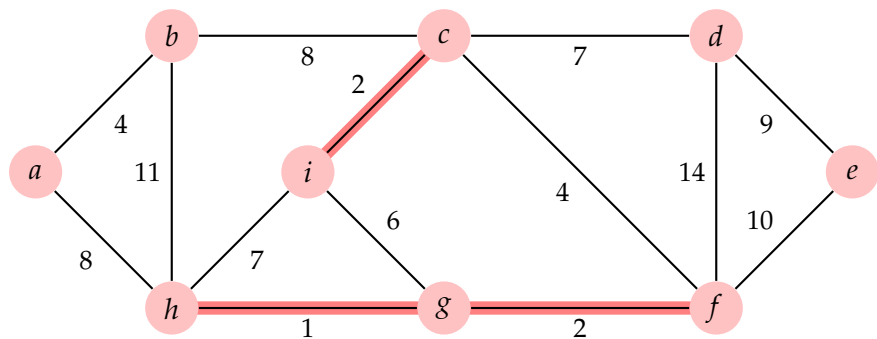
Kruskalův algoritmus – příklad



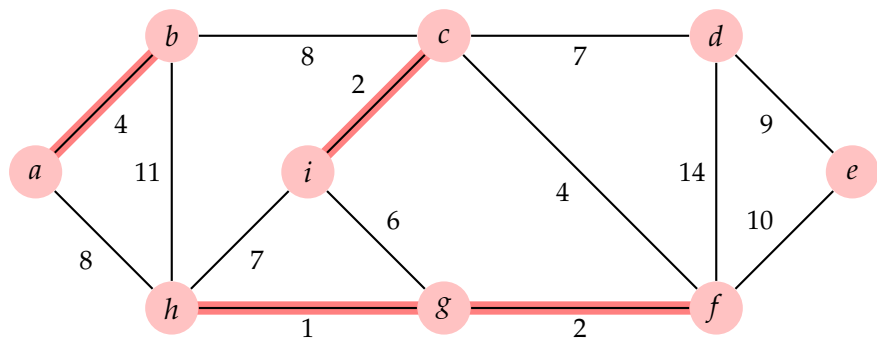
Kruskalův algoritmus – příklad



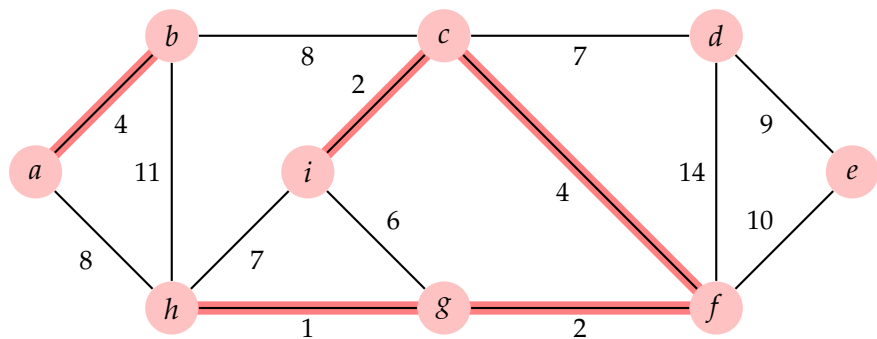
Kruskalův algoritmus – příklad



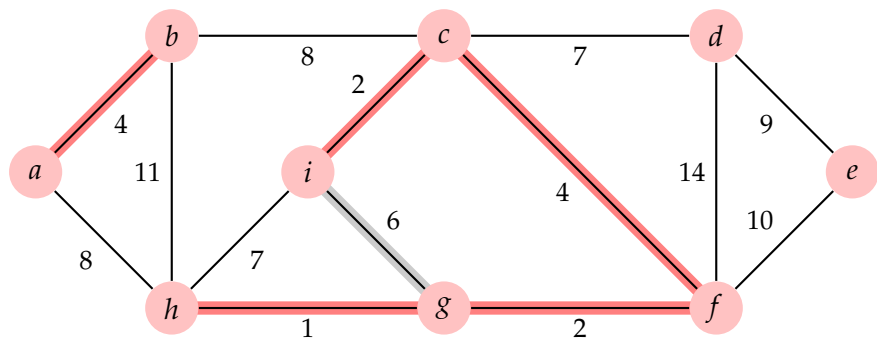
Kruskalův algoritmus – příklad



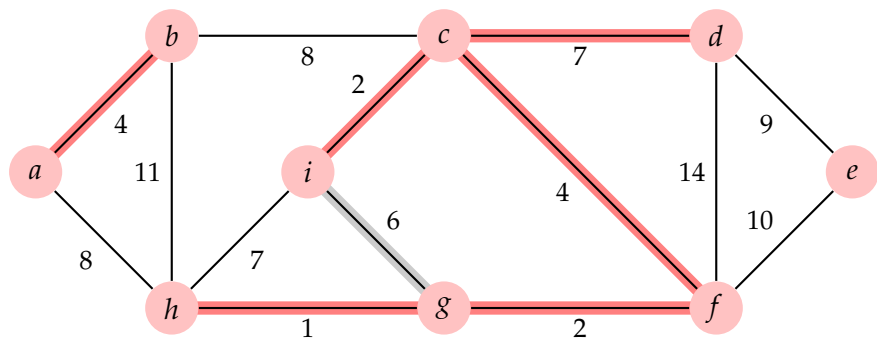
Kruskalův algoritmus – příklad



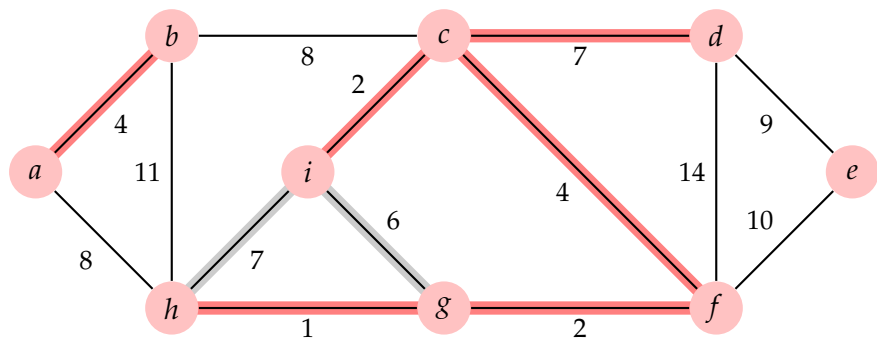
Kruskalův algoritmus – příklad



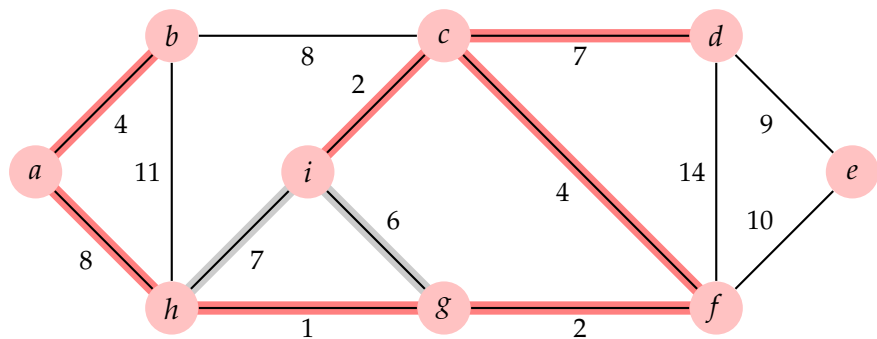
Kruskalův algoritmus – příklad



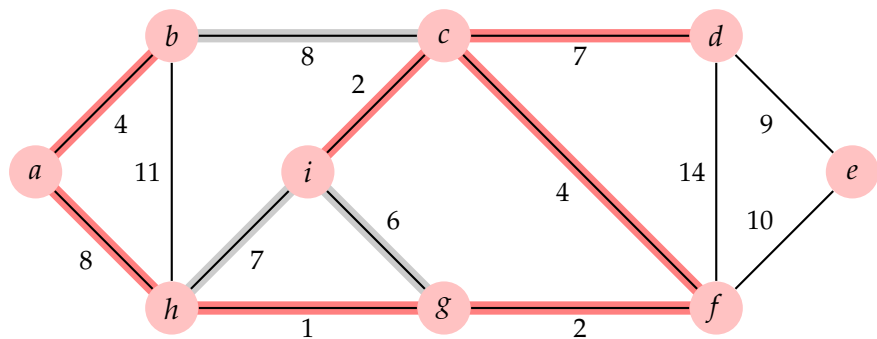
Kruskalův algoritmus – příklad



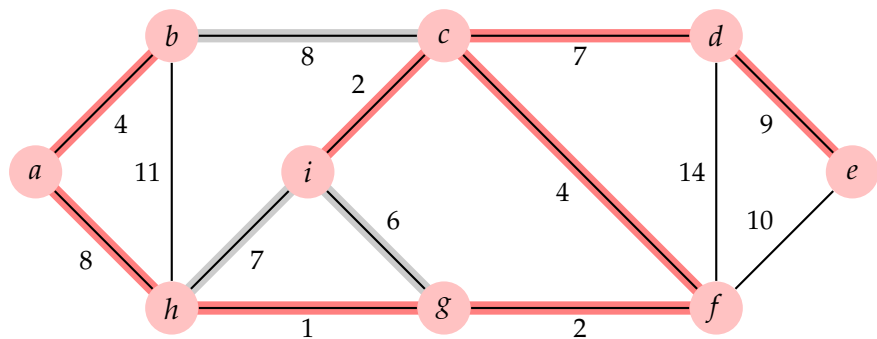
Kruskalův algoritmus – příklad



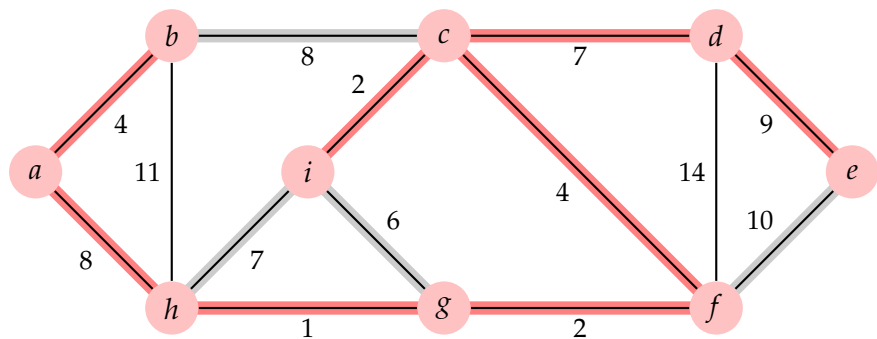
Kruskalův algoritmus – příklad



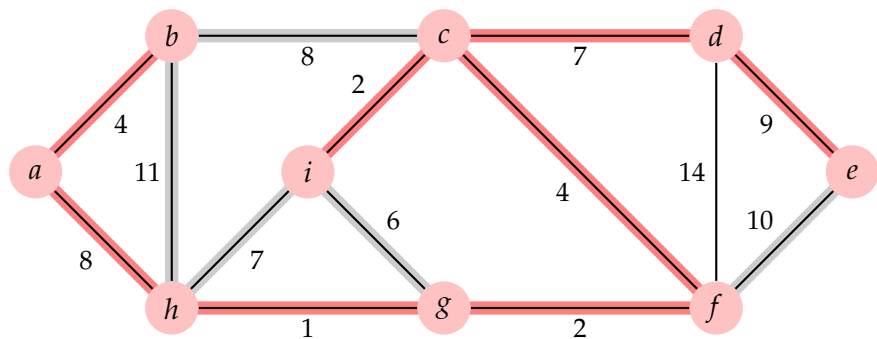
Kruskalův algoritmus – příklad



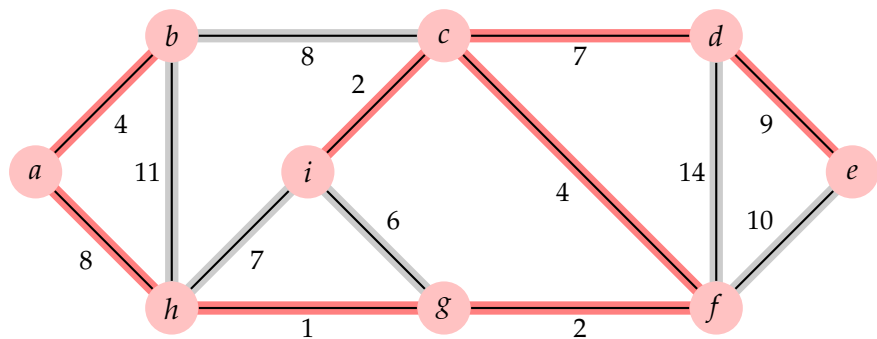
Kruskalův algoritmus – příklad



Kruskalův algoritmus – příklad



Kruskalův algoritmus – příklad



Primův algoritmus

```
PRIM-MST( $G, w, r$ )
1  for každý  $u \in V$ 
2      do  $key[u] \leftarrow \infty$ 
3           $\pi[u] \leftarrow NIL$ 
4   $key[r] \leftarrow 0$ 
5   $Q \leftarrow V$ 
6  while  $Q \neq \emptyset$ 
7      do  $u \leftarrow \text{EXTRACT-MIN}(Q)$ 
8          for každý  $v \in Adj[u]$ 
9              do if  $v \in Q$  a  $w(u, v) < key[v]$ 
10                 then  $\pi[v] \leftarrow u$ 
11                     $key[v] \leftarrow w(u, v)$ 
```

Invariant:

- ▶ $A = \{(v, \pi[v]) : v \in V - \{r\} - Q\}$.
- ▶ v v min. kostře, pak $v \in V - Q$.
- ▶ $v \in Q$. Pokud $\pi[v] \neq NIL$, pak $key[v] < \infty$ a $key[v]$ je hodnota lehké hrany $(v, \pi[v])$ spojující v s uzlem již v min. kostře.

Primův algoritmus – Složitost

```
PRIM-MST( $G, w, r$ )
1  for každý  $u \in V$ 
2      do  $key[u] \leftarrow \infty$ 
3           $\pi[u] \leftarrow \text{NIL}$ 
4   $key[r] \leftarrow 0$ 
5   $Q \leftarrow V$ 
6  while  $Q \neq \emptyset$ 
7      do  $u \leftarrow \text{EXTRACT-MIN}(Q)$ 
8          for každý  $v \in \text{Adj}[u]$ 
9              do if  $v \in Q$  a  $w(u, v) < key[v]$ 
10                 then  $\pi[v] \leftarrow u$ 
11                     $key[v] \leftarrow w(u, v)$ 
```

- ▶ Řádky 1-5: $O(n)$ za použití binární haldy.

Primův algoritmus – Složitost

```
PRIM-MST( $G, w, r$ )
1  for každý  $u \in V$ 
2      do  $key[u] \leftarrow \infty$ 
3           $\pi[u] \leftarrow NIL$ 
4   $key[r] \leftarrow 0$ 
5   $Q \leftarrow V$ 
6  while  $Q \neq \emptyset$ 
7      do  $u \leftarrow EXTRACT-MIN(Q)$ 
8          for každý  $v \in Adj[u]$ 
9              do if  $v \in Q$  a  $w(u, v) < key[v]$ 
10                 then  $\pi[v] \leftarrow u$ 
11                     $key[v] \leftarrow w(u, v)$ 
```

- ▶ Řádky 1-5: $O(n)$ za použití binární haldy.
- ▶ **while** cyklus se provede n -krát a protože `EXTRACT-MIN` bere $O(\log n)$, je celková složitost všech volání `EXTRACT-MIN` $O(n \log n)$.

Primův algoritmus – Složitost

```
PRIM-MST( $G, w, r$ )
1  for každý  $u \in V$ 
2      do  $key[u] \leftarrow \infty$ 
3           $\pi[u] \leftarrow \text{NIL}$ 
4   $key[r] \leftarrow 0$ 
5   $Q \leftarrow V$ 
6  while  $Q \neq \emptyset$ 
7      do  $u \leftarrow \text{EXTRACT-MIN}(Q)$ 
8          for každý  $v \in \text{Adj}[u]$ 
9              do if  $v \in Q$  a  $w(u, v) < key[v]$ 
10                 then  $\pi[v] \leftarrow u$ 
11                     $key[v] \leftarrow w(u, v)$ 
```

- ▶ Řádky 1-5: $O(n)$ za použití binární haldy.
- ▶ **while** cyklus se provede n -krát a protože **EXTRACT-MIN** bere $O(\log n)$, je celková složitost všech volání **EXTRACT-MIN** $O(n \log n)$.
- ▶ **for** cyklus se provede $O(m)$ -krát, protože délka všech seznamů sousedů je dohromady $2m$.
- ▶ Řádek 9 se dá udělat v čase $O(1)$.

Primův algoritmus – Složitost

```
PRIM-MST( $G, w, r$ )
1  for každý  $u \in V$ 
2      do  $key[u] \leftarrow \infty$ 
3           $\pi[u] \leftarrow \text{NIL}$ 
4   $key[r] \leftarrow 0$ 
5   $Q \leftarrow V$ 
6  while  $Q \neq \emptyset$ 
7      do  $u \leftarrow \text{EXTRACT-MIN}(Q)$ 
8          for každý  $v \in \text{Adj}[u]$ 
9              do if  $v \in Q$  a  $w(u, v) < key[v]$ 
10                 then  $\pi[v] \leftarrow u$ 
11                     $key[v] \leftarrow w(u, v)$ 
```

- ▶ Řádky 1-5: $O(n)$ za použití binární haldy.
- ▶ **while** cyklus se provede n -krát a protože **EXTRACT-MIN** bere $O(\log n)$, je celková složitost všech volání **EXTRACT-MIN** $O(n \log n)$.
- ▶ **for** cyklus se provede $O(m)$ -krát, protože délka všech seznamů sousedů je dohromady $2m$.
- ▶ Řádek 9 se dá udělat v čase $O(1)$.
- ▶ Řádek 11 bere $O(\log n)$ – provést operaci **DECREASE-KEY** v Q .

Primův algoritmus – Složitost

```
PRIM-MST( $G, w, r$ )
1  for každý  $u \in V$ 
2      do  $key[u] \leftarrow \infty$ 
3           $\pi[u] \leftarrow \text{NIL}$ 
4   $key[r] \leftarrow 0$ 
5   $Q \leftarrow V$ 
6  while  $Q \neq \emptyset$ 
7      do  $u \leftarrow \text{EXTRACT-MIN}(Q)$ 
8          for každý  $v \in \text{Adj}[u]$ 
9              do if  $v \in Q$  a  $w(u, v) < key[v]$ 
10                 then  $\pi[v] \leftarrow u$ 
11                     $key[v] \leftarrow w(u, v)$ 
```

- ▶ Řádky 1-5: $O(n)$ za použití binární haldy.
- ▶ **while** cyklus se provede n -krát a protože **EXTRACT-MIN** bere $O(\log n)$, je celková složitost všech volání **EXTRACT-MIN** $O(n \log n)$.
- ▶ **for** cyklus se provede $O(m)$ -krát, protože délka všech seznamů sousedů je dohromady $2m$.
- ▶ Řádek 9 se dá udělat v čase $O(1)$.
- ▶ Řádek 11 bere $O(\log n)$ – provést operaci **DECREASE-KEY** v Q .
- ▶ Celkem tedy $O(n \log n + m \log n) = O(m \log n)$.

Primův algoritmus – Složitost

- ▶ Použitím Fibonacciho haldy se dá složitost vylepšit.

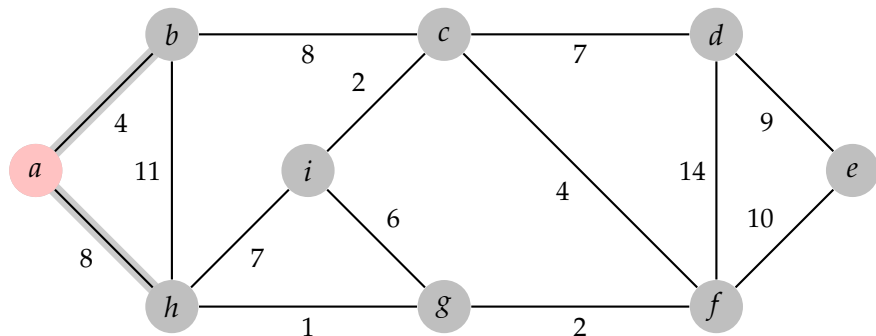
Primův algoritmus – Složitost

- ▶ Použitím Fibonacciho haldy se dá složitost vylepšit.
- ▶ Operace `EXTRACT-MIN` v čase $O(\log n)$
- ▶ Operace `DECREASE-KEY` v čase $O(1)$.

Primův algoritmus – Složitost

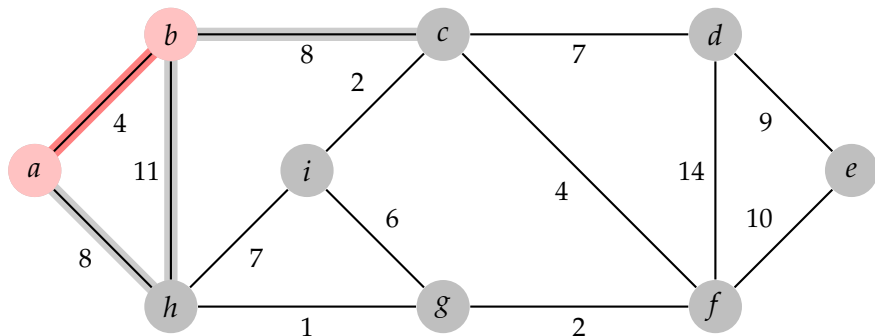
- ▶ Použitím Fibonacciho haldy se dá složitost vylepšit.
- ▶ Operace EXTRACT-MIN v čase $O(\log n)$
- ▶ Operace DECREASE-KEY v čase $O(1)$.
- ▶ Celková složitost je pak $O(m + n \log n)$.

Primův algoritmus – příklad



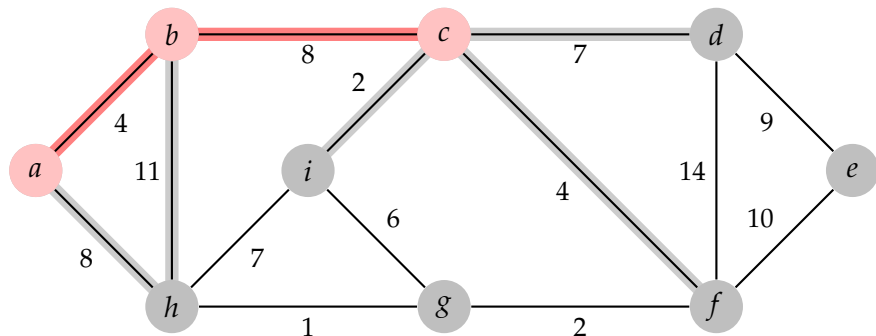
Obrázek: Šedé hrany jsou hrany řezu.

Primův algoritmus – příklad



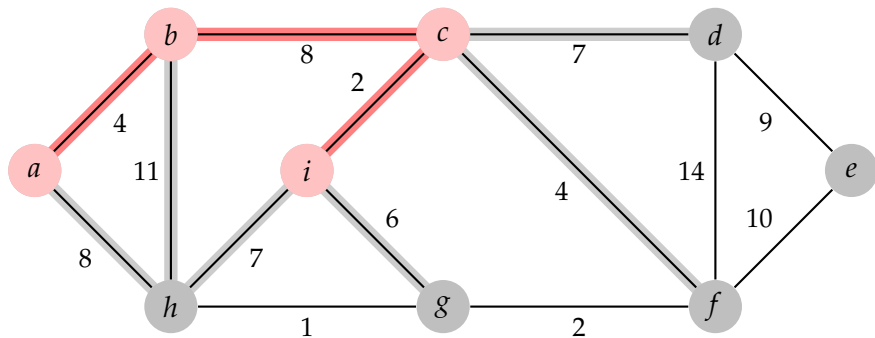
Obrázek: Šedé hrany jsou hrany řezu.

Primův algoritmus – příklad



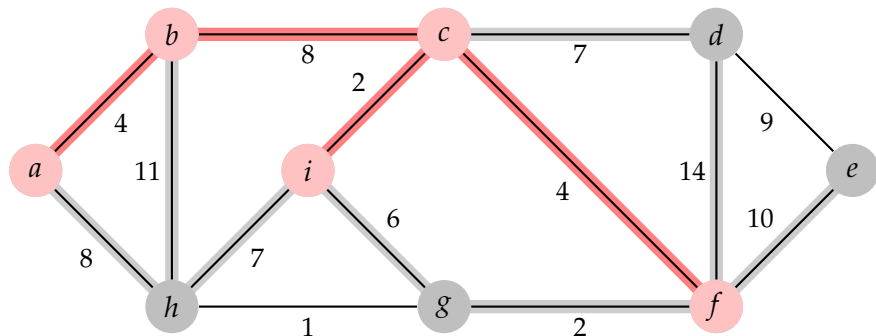
Obrázek: Šedé hrany jsou hrany řezu.

Primův algoritmus – příklad



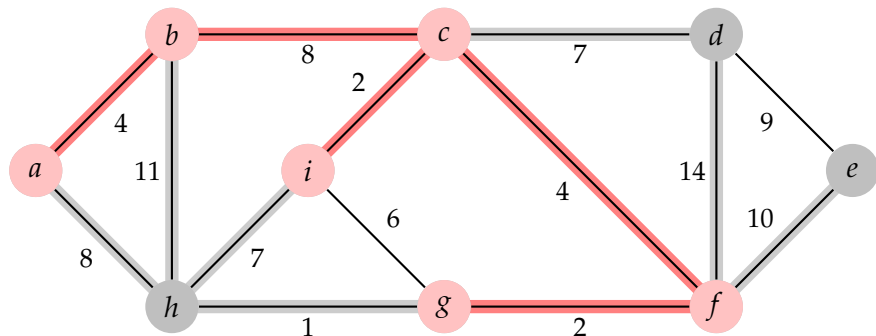
Obrázek: Šedé hrany jsou hrany řezu.

Primův algoritmus – příklad



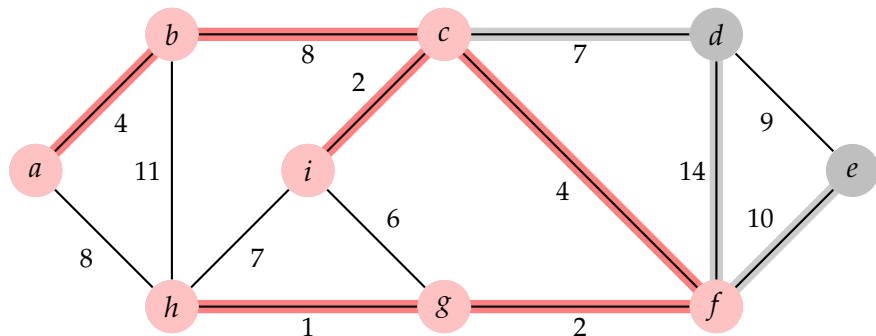
Obrázek: Šedé hrany jsou hrany řezu.

Primův algoritmus – příklad



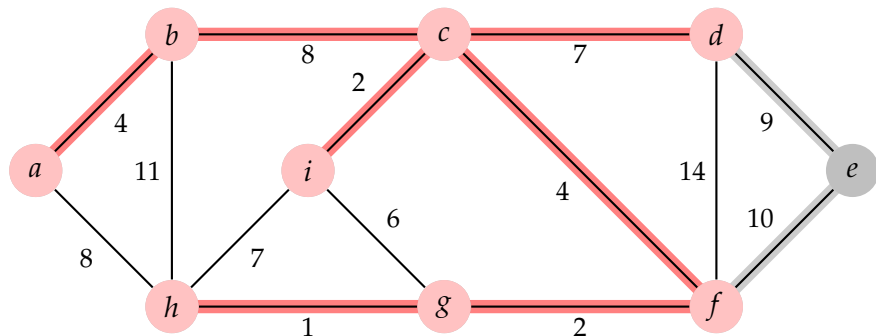
Obrázek: Šedé hrany jsou hrany řezu.

Primův algoritmus – příklad



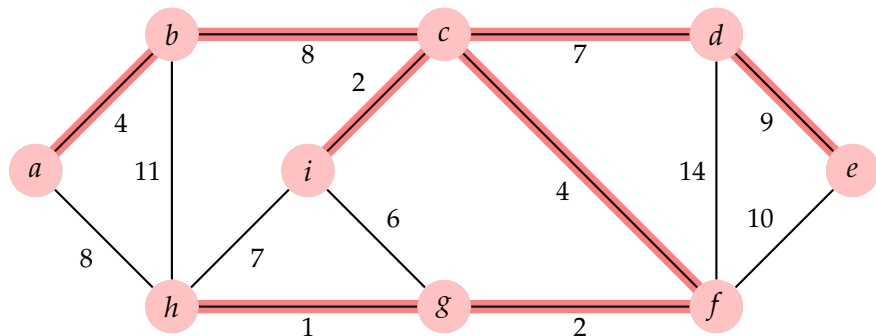
Obrázek: Šedé hrany jsou hrany řezu.

Primův algoritmus – příklad



Obrázek: Šedé hrany jsou hrany řezu.

Primův algoritmus – příklad



Obrázek: Šedé hrany jsou hrany řezu.

Nejkratší cesty z jednoho do všech uzlů

Nejkratší cesty

- ▶ Daný ohodnocený orientovaný graf $G = (V, E)$ a
- ▶ váhová funkce $w : E \rightarrow \mathbb{R}$.

Nejkratší cesty

- ▶ Daný ohodnocený orientovaný graf $G = (V, E)$ a
- ▶ váhová funkce $w : E \rightarrow \mathbb{R}$.

- ▶ **Cena cesty** $p = \langle v_0, v_1, \dots, v_k \rangle$ je suma

$$w(p) = \sum_{i=1}^k w(v_{i-1}, v_i)$$

Nejkratší cesty

- ▶ Daný ohodnocený orientovaný graf $G = (V, E)$ a
- ▶ váhová funkce $w : E \rightarrow \mathbb{R}$.

- ▶ **Cena cesty** $p = \langle v_0, v_1, \dots, v_k \rangle$ je suma

$$w(p) = \sum_{i=1}^k w(v_{i-1}, v_i)$$

- ▶ **Cena nejkratší cesty** z u do v je

$$\delta(u, v) = \begin{cases} \min\{w(p) : u \overset{p}{\rightsquigarrow} v\} & \text{pokud ex. cesta z } u \text{ do } v \\ \infty & \text{jinak} \end{cases}$$

- ▶ **Nejkratší cesta** z u do v je pak libovolná cesta p z u do v s $w(p) = \delta(u, v)$.

Nejkratší cesty – varianty

- ▶ Nejkratší cesty **z jednoho do všech** uzlů
- ▶ Nejkratší cesty **ze všech uzlů do jednoho** – převrácením orientace hran
- ▶ **Z jednoho do jednoho** – existuje asymptoticky rychlejší řešení než pomocí výše zmíněných?
- ▶ **Ze všech do všech** – existuje rychlejší řešení než výše zmíněné spuštěné pro každý uzel.

Podcesty nejkratších cest

Lemma 18.

Nechť $G = (V, E)$ je ohodnocený orientovaný graf s váhovou funkcí

$w : E \rightarrow \mathbb{R}$. Nechť $p = \langle v_1, v_2, \dots, v_k \rangle$ je nejkratší cesta z v_1 do v_k .

Pro $1 \leq i \leq j \leq k$, $p_{ij} = \langle v_i, v_{i+1}, \dots, v_j \rangle$ je podcesta cesty p z v_i do v_j .

Pak p_{ij} je **nejkratší cesta** z v_i do v_j .

Důkaz.



Podcesty nejkratších cest

Lemma 18.

Nechť $G = (V, E)$ je ohodnocený orientovaný graf s váhovou funkcí

$w : E \rightarrow \mathbb{R}$. Nechť $p = \langle v_1, v_2, \dots, v_k \rangle$ je nejkratší cesta z v_1 do v_k .

Pro $1 \leq i \leq j \leq k$, $p_{ij} = \langle v_i, v_{i+1}, \dots, v_j \rangle$ je podcesta cesty p z v_i do v_j .

Pak p_{ij} je **nejkratší cesta** z v_i do v_j .

Důkaz.

- ▶ p je $v_1 \xrightarrow{p_{1i}} v_i \xrightarrow{p_{ij}} v_j \xrightarrow{p_{jk}} v_k$ kde $w(p) = w(p_{1i}) + w(p_{ij}) + w(p_{jk})$.



Podcesty nejkratších cest

Lemma 18.

Nechť $G = (V, E)$ je ohodnocený orientovaný graf s váhovou funkcí

$w : E \rightarrow \mathbb{R}$. Nechť $p = \langle v_1, v_2, \dots, v_k \rangle$ je nejkratší cesta z v_1 do v_k .

Pro $1 \leq i \leq j \leq k$, $p_{ij} = \langle v_i, v_{i+1}, \dots, v_j \rangle$ je podcesta cesty p z v_i do v_j .

Pak p_{ij} je **nejkratší cesta** z v_i do v_j .

Důkaz.

- ▶ p je $v_1 \xrightarrow{p_{1i}} v_i \xrightarrow{p_{ij}} v_j \xrightarrow{p_{jk}} v_k$ kde $w(p) = w(p_{1i}) + w(p_{ij}) + w(p_{jk})$.
- ▶ Nechť ex. p'_{ij} z v_i do v_j s $w(p'_{ij}) < w(p_{ij})$.



Podcesty nejkratších cest

Lemma 18.

Nechť $G = (V, E)$ je ohodnocený orientovaný graf s váhovou funkcí

$w : E \rightarrow \mathbb{R}$. Nechť $p = \langle v_1, v_2, \dots, v_k \rangle$ je nejkratší cesta z v_1 do v_k .

Pro $1 \leq i \leq j \leq k$, $p_{ij} = \langle v_i, v_{i+1}, \dots, v_j \rangle$ je podcesta cesty p z v_i do v_j .

Pak p_{ij} je **nejkratší cesta** z v_i do v_j .

Důkaz.

- ▶ p je $v_1 \xrightarrow{p_{1i}} v_i \xrightarrow{p_{ij}} v_j \xrightarrow{p_{jk}} v_k$ kde $w(p) = w(p_{1i}) + w(p_{ij}) + w(p_{jk})$.
- ▶ Nechť ex. p'_{ij} z v_i do v_j s $w(p'_{ij}) < w(p_{ij})$.
- ▶ Pak $v_1 \xrightarrow{p_{1i}} v_i \xrightarrow{p'_{ij}} v_j \xrightarrow{p_{jk}} v_k$ kde $w(p_{1i}) + w(p'_{ij}) + w(p_{jk}) < w(p)$. **Spor.**



Záporné hrany

- ▶ Pokud G **neobsahuje záporný cyklus** dosažitelný ze zdrojového uzlu s , pak pro všechna $v \in V$, $\delta(s, v)$ zůstává dobře definována (i když má zápornou hodnotu).

Záporné hrany

- ▶ Pokud G **neobsahuje záporný cyklus** dosažitelný ze zdrojového uzlu s , pak pro všechna $v \in V$, $\delta(s, v)$ zůstává dobře definována (i když má zápornou hodnotu).
- ▶ Pokud G **obsahuje záporný cyklus** dosažitelný ze zdrojového uzlu s , pak δ nezůstává dobře definována – stále prochází cyklem a snižuje hodnotu.
- ▶ Pokud ex. záporný cyklus na nějaké cestě z s do v , definujeme $\delta(s, v) = -\infty$.

Záporné hrany

- ▶ Pokud G **neobsahuje záporný cyklus** dosažitelný ze zdrojového uzlu s , pak pro všechna $v \in V$, $\delta(s, v)$ zůstává dobře definována (i když má zápornou hodnotu).
- ▶ Pokud G **obsahuje záporný cyklus** dosažitelný ze zdrojového uzlu s , pak δ nezůstává dobře definována – stále prochází cyklem a snižuje hodnotu.
- ▶ Pokud ex. záporný cyklus na nějaké cestě z s do v , definujeme $\delta(s, v) = -\infty$.
- ▶ Pozn. nejkratší cesta vždy existuje, ne však nejkratší sled. Algoritmy pracují se sledy, proto výše zmíněný problém.

Reprezentace nejkratších cest

- ▶ $G = (V, E)$ graf.
- ▶ $\pi[v]$ označuje předchůdce v na nejkratší cestě.
- ▶ Pro vypsání můžeme použít proceduru $\text{PRINT-PATH}(G, s, v)$ (viz dříve)

Reprezentace nejkratších cest

- ▶ $G = (V, E)$ graf.
- ▶ $\pi[v]$ označuje předchůdce v na nejkratší cestě.
- ▶ Pro vypsání můžeme použít proceduru $\text{PRINT-PATH}(G, s, v)$ (viz dříve)

- ▶ Podgraf předchůdců $G_\pi = (V_\pi, E_\pi)$ je indukovaný hodnotami π
 - ▶ $V_\pi = \{v \in V : \pi[v] \neq \text{NIL}\} \cup \{s\}$
 - ▶ $E_\pi = \{(\pi[v], v) \in E : v \in V_\pi - \{s\}\}$

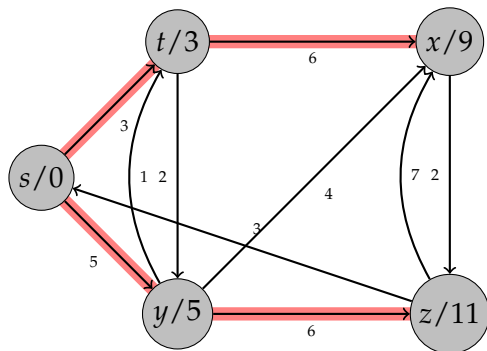
Reprezentace nejkratších cest

- ▶ $G = (V, E)$ graf.
- ▶ $\pi[v]$ označuje předchůdce v na nejkratší cestě.
- ▶ Pro vypsání můžeme použít proceduru $\text{PRINT-PATH}(G, s, v)$ (viz dříve)

- ▶ Podgraf předchůdců $G_\pi = (V_\pi, E_\pi)$ je indukovaný hodnotami π
 - ▶ $V_\pi = \{v \in V : \pi[v] \neq \text{NIL}\} \cup \{s\}$
 - ▶ $E_\pi = \{(\pi[v], v) \in E : v \in V_\pi - \{s\}\}$

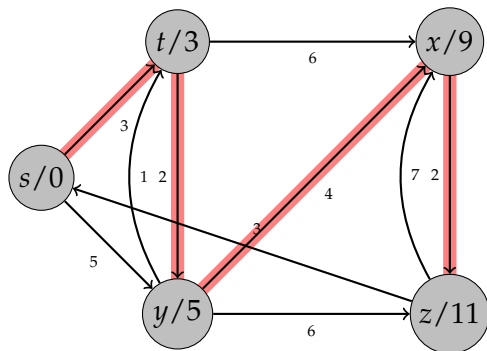
- ▶ V okamžiku dokončení výpočtu algoritmu je G_π **strom nejkratších cest**. Tj. kořenový strom obsahující nejkratší cesty ze zdroje s do všech ostatních uzlů.

Nejedinečnost nejkratších cest – příklad



Obrázek: Nejkratší cesty.

Nejedinečnost nejkratších cest – příklad



Obrázek: Nejkratší cesty.

Relaxace

- ▶ $d[v]$ – odhad nejkratší cesty

INITIALIZE-SINGLE-SOURCE(G, s)

```
1 for každý  $v \in V$ 
2   do  $d[v] \leftarrow \infty$ 
3      $\pi[v] \leftarrow \text{NIL}$ 
4  $d[s] \leftarrow 0$ 
```

- ▶ Složitost $\Theta(n)$.

Relaxace

- ▶ $d[v]$ – odhad nejkratší cesty

INITIALIZE-SINGLE-SOURCE(G, s)

```
1 for každý  $v \in V$ 
2   do  $d[v] \leftarrow \infty$ 
3      $\pi[v] \leftarrow \text{NIL}$ 
4  $d[s] \leftarrow 0$ 
```

- ▶ Složitost $\Theta(n)$.

RELAX(u, v, w)

```
1 if  $d[v] > d[u] + w(u, v)$ 
2   then  $d[v] \leftarrow d[u] + w(u, v)$ 
3      $\pi[v] \leftarrow u$ 
```

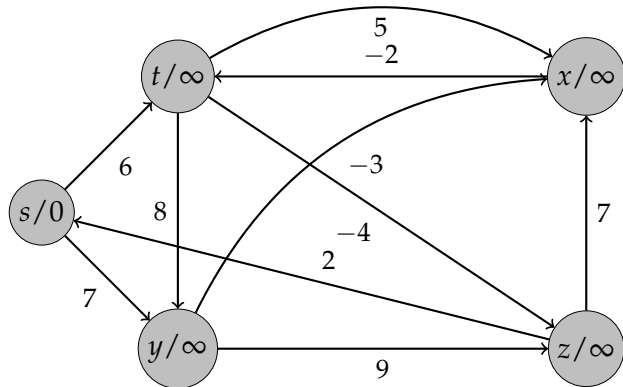
Algorithmus Bellman-Ford

Algoritmus Bellman-Ford

```
BELLMAN-FORD( $G, w, s$ )
1 INITIALIZE-SINGLE-SOURCE( $G, s$ )
2 for  $i \leftarrow 1$  to  $n - 1$ 
3     do for každou hranu  $(u, v) \in E$ 
4         do RELAX( $u, v, w$ )
5 for každou hranu  $(u, v) \in E$ 
6     do if  $d[v] > d[u] + w(u, v)$ 
7         then return FALSE
8 return TRUE
```

- ▶ Pokud vrátí FALSE, G obsahuje zápornou kružnici.
- ▶ Pokud vrátí TRUE, má v π uloženy nejkratší cesty.

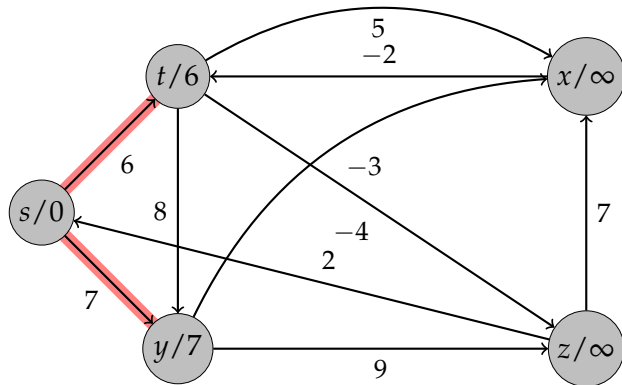
Bellman-Ford – příklad



Obrázek: Práce algoritmu Bellman-Ford.

- ▶ Pokud $(u, v) \in E$ je označená, pak $\pi[v] = u$
- ▶ Hrany se relaxují v tomto pořadí:
 $(t, x), (t, y), (t, z), (x, t), (y, x), (y, z), (z, x), (z, s), (s, t), (s, y)$.

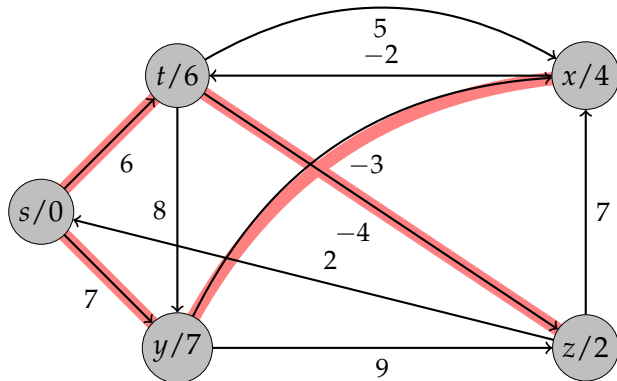
Bellman-Ford – příklad



Obrázek: Práce algoritmu Bellman-Ford.

- ▶ Pokud $(u, v) \in E$ je označená, pak $\pi[v] = u$
- ▶ Hrany se relaxují v tomto pořadí:
 $(t, x), (t, y), (t, z), (x, t), (y, x), (y, z), (z, x), (z, s), (s, t), (s, y)$.

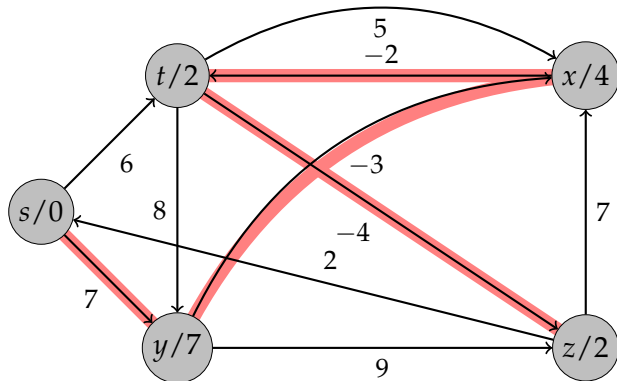
Bellman-Ford – příklad



Obrázek: Práce algoritmu Bellman-Ford.

- ▶ Pokud $(u, v) \in E$ je označená, pak $\pi[v] = u$
- ▶ Hrany se relaxují v tomto pořadí:
 $(t, x), (t, y), (t, z), (x, t), (y, x), (y, z), (z, x), (z, s), (s, t), (s, y)$.

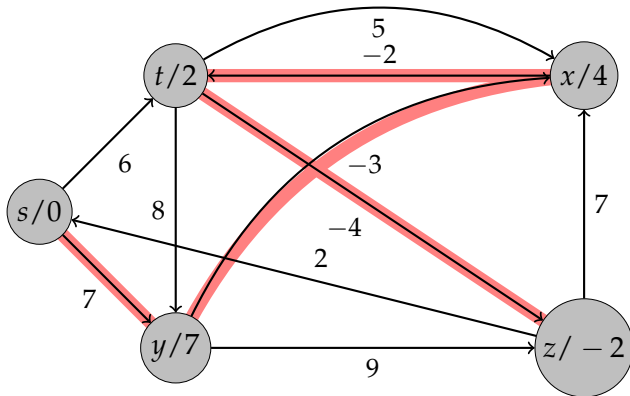
Bellman-Ford – příklad



Obrázek: Práce algoritmu Bellman-Ford.

- ▶ Pokud $(u, v) \in E$ je označená, pak $\pi[v] = u$
- ▶ Hrany se relaxují v tomto pořadí:
 $(t, x), (t, y), (t, z), (x, t), (y, x), (y, z), (z, x), (z, s), (s, t), (s, y)$.

Bellman-Ford – příklad



Obrázek: Práce algoritmu Bellman-Ford.

- ▶ Pokud $(u, v) \in E$ je označená, pak $\pi[v] = u$
- ▶ Hrany se relaxují v tomto pořadí:
 $(t, x), (t, y), (t, z), (x, t), (y, x), (y, z), (z, x), (z, s), (s, t), (s, y)$

Algoritmus Bellman-Ford – Složitost

```
BELLMAN-FORD( $G, w, s$ )
1 INITIALIZE-SINGLE-SOURCE( $G, s$ )
2 for  $i \leftarrow 1$  to  $n - 1$ 
3   do for každou hranu  $(u, v) \in E$ 
4     do RELAX( $u, v, w$ )
5 for každou hranu  $(u, v) \in E$ 
6   do if  $d[v] > d[u] + w(u, v)$ 
7     then return FALSE
8 return TRUE
```

- ▶ Řádek 1 bere $\Theta(n)$.

Algoritmus Bellman-Ford – Složitost

```
BELLMAN-FORD( $G, w, s$ )
1 INITIALIZE-SINGLE-SOURCE( $G, s$ )
2 for  $i \leftarrow 1$  to  $n - 1$ 
3     do for každou hranu  $(u, v) \in E$ 
4         do RELAX( $u, v, w$ )
5 for každou hranu  $(u, v) \in E$ 
6     do if  $d[v] > d[u] + w(u, v)$ 
7         then return FALSE
8 return TRUE
```

- ▶ Řádek 1 bere $\Theta(n)$.
- ▶ Řádky 2-4 berou $n - 1$ -krát $\Theta(m)$.

Algoritmus Bellman-Ford – Složitost

```
BELLMAN-FORD( $G, w, s$ )
1 INITIALIZE-SINGLE-SOURCE( $G, s$ )
2 for  $i \leftarrow 1$  to  $n - 1$ 
3   do for každou hranu  $(u, v) \in E$ 
4     do RELAX( $u, v, w$ )
5 for každou hranu  $(u, v) \in E$ 
6   do if  $d[v] > d[u] + w(u, v)$ 
7     then return FALSE
8 return TRUE
```

- ▶ Řádek 1 bere $\Theta(n)$.
- ▶ Řádky 2-4 berou $n - 1$ -krát $\Theta(m)$.
- ▶ Řádky 5-7 berou $\Theta(m)$.

Algoritmus Bellman-Ford – Složitost

```
BELLMAN-FORD( $G, w, s$ )
1 INITIALIZE-SINGLE-SOURCE( $G, s$ )
2 for  $i \leftarrow 1$  to  $n - 1$ 
3     do for každou hranu  $(u, v) \in E$ 
4         do RELAX( $u, v, w$ )
5 for každou hranu  $(u, v) \in E$ 
6     do if  $d[v] > d[u] + w(u, v)$ 
7         then return FALSE
8 return TRUE
```

- ▶ Řádek 1 bere $\Theta(n)$.
- ▶ Řádky 2-4 berou $n - 1$ -krát $\Theta(m)$.
- ▶ Řádky 5-7 berou $\Theta(m)$.
- ▶ Celkem $\Theta(mn)$.

Algoritmus Bellman-Ford – Korektnost

Lemma 19.

Nechť $G = (V, E)$ je ohodnocený orientovaný graf se zdrojem s a váhovou funkcí $w : E \rightarrow \mathbb{R}$ a předpokládejme, že G **neobsahuje žádný záporný cyklus** dosažitelný z s . Pak po $n - 1$ opakování **for**-cyklu na řádcích 2-4 $d[v] = \delta(s, v)$ pro všechny $v \in V$ dosažitelné z s . **Pozn.** $d[v] = \infty$, pak v nedosažitelný z s .

Algoritmus Bellman-Ford – Korektnost

Lemma 19.

Nechť $G = (V, E)$ je ohodnocený orientovaný graf se zdrojem s a váhovou funkcí $w : E \rightarrow \mathbb{R}$ a předpokládejme, že G **neobsahuje žádný záporný cyklus** dosažitelný z s . Pak po $n - 1$ opakování **for**-cyklu na řádcích 2-4 $d[v] = \delta(s, v)$ pro všechny $v \in V$ dosažitelné z s . **Pozn.** $d[v] = \infty$, pak v nedosažitelný z s .

Důkaz.

- ▶ Nechť $v \in V$ dosažitelný z s .

Algoritmus Bellman-Ford – Korektnost

Lemma 19.

Nechť $G = (V, E)$ je ohodnocený orientovaný graf se zdrojem s a váhovou funkcí $w : E \rightarrow \mathbb{R}$ a předpokládejme, že G **neobsahuje žádný záporný cyklus** dosažitelný z s . Pak po $n - 1$ opakování **for**-cyklu na řádcích 2-4 $d[v] = \delta(s, v)$ pro všechny $v \in V$ dosažitelné z s . **Pozn.** $d[v] = \infty$, pak v nedosažitelný z s .

Důkaz.

- ▶ Nechť $v \in V$ dosažitelný z s .
- ▶ Nechť $p = \langle v_0, v_1, \dots, v_k \rangle$ je nejkratší cesta z s do v ; $s = v_0$ a $v = v_k$.

Algoritmus Bellman-Ford – Korektnost

Lemma 19.

Nechť $G = (V, E)$ je ohodnocený orientovaný graf se zdrojem s a váhovou funkcí $w : E \rightarrow \mathbb{R}$ a předpokládejme, že G **neobsahuje žádný záporný cyklus** dosažitelný z s . Pak po $n - 1$ opakování **for**-cyklu na řádcích 2-4 $d[v] = \delta(s, v)$ pro všechny $v \in V$ dosažitelné z s . **Pozn.** $d[v] = \infty$, pak v nedosažitelný z s .

Důkaz.

- ▶ Nechť $v \in V$ dosažitelný z s .
- ▶ Nechť $p = \langle v_0, v_1, \dots, v_k \rangle$ je nejkratší cesta z s do v ; $s = v_0$ a $v = v_k$.
- ▶ p má nejvýše $n - 1$ hran, proto $k \leq n - 1$.

Algoritmus Bellman-Ford – Korektnost

Lemma 19.

Nechť $G = (V, E)$ je ohodnocený orientovaný graf se zdrojem s a váhovou funkcí $w : E \rightarrow \mathbb{R}$ a předpokládejme, že G **neobsahuje žádný záporný cyklus** dosažitelný z s . Pak po $n - 1$ opakování **for**-cyklu na řádcích 2-4 $d[v] = \delta(s, v)$ pro všechny $v \in V$ dosažitelné z s . **Pozn.** $d[v] = \infty$, pak v nedosažitelný z s .

Důkaz.

- ▶ Nechť $v \in V$ dosažitelný z s .
- ▶ Nechť $p = \langle v_0, v_1, \dots, v_k \rangle$ je nejkratší cesta z s do v ; $s = v_0$ a $v = v_k$.
- ▶ p má nejvýše $n - 1$ hran, proto $k \leq n - 1$.
- ▶ Každá z $n - 1$ iterací na řádcích 2-4 relaxuje všech m hran.

Algoritmus Bellman-Ford – Korektnost

Lemma 19.

Nechť $G = (V, E)$ je ohodnocený orientovaný graf se zdrojem s a váhovou funkcí $w : E \rightarrow \mathbb{R}$ a předpokládejme, že G **neobsahuje žádný záporný cyklus** dosažitelný z s . Pak po $n - 1$ opakování **for**-cyklu na řádcích 2-4 $d[v] = \delta(s, v)$ pro všechny $v \in V$ dosažitelné z s . **Pozn.** $d[v] = \infty$, pak v nedosažitelný z s .

Důkaz.

- ▶ Nechť $v \in V$ dosažitelný z s .
- ▶ Nechť $p = \langle v_0, v_1, \dots, v_k \rangle$ je nejkratší cesta z s do v ; $s = v_0$ a $v = v_k$.
- ▶ p má nejvýše $n - 1$ hran, proto $k \leq n - 1$.
- ▶ Každá z $n - 1$ iterací na řádcích 2-4 relaxuje všech m hran.
- ▶ Mezi hranami relaxovanými v i -tém kroku je i hrana (v_{i-1}, v_i) a po tomto kroku platí $d[v_i] = \delta(s, v_i)$. (Dokažte indukcí.)

Algoritmus Bellman-Ford – Korektnost

Lemma 19.

Nechť $G = (V, E)$ je ohodnocený orientovaný graf se zdrojem s a váhovou funkcí $w : E \rightarrow \mathbb{R}$ a předpokládejme, že G **neobsahuje žádný záporný cyklus** dosažitelný z s . Pak po $n - 1$ opakování **for**-cyklu na řádcích 2-4 $d[v] = \delta(s, v)$ pro všechny $v \in V$ dosažitelné z s . **Pozn.** $d[v] = \infty$, pak v nedosažitelný z s .

Důkaz.

- ▶ Nechť $v \in V$ dosažitelný z s .
- ▶ Nechť $p = \langle v_0, v_1, \dots, v_k \rangle$ je nejkratší cesta z s do v ; $s = v_0$ a $v = v_k$.
- ▶ p má nejvýše $n - 1$ hran, proto $k \leq n - 1$.
- ▶ Každá z $n - 1$ iterací na řádcích 2-4 relaxuje všech m hran.
- ▶ Mezi hranami relaxovanými v i -tém kroku je i hrana (v_{i-1}, v_i) a po tomto kroku platí $d[v_i] = \delta(s, v_i)$. (Dokažte indukcí.)
- ▶ Tedy po k -té iteraci je $d[v_k] = \delta(s, v_k)$.

Algoritmus Bellman-Ford – Korektnost

Theorem 20 (Korektnost I).

- ▶ Pokud G *neobsahuje* záporný cyklus dosažitelný z s , algoritmus vrátí `TRUE` a $d[v] = \delta(s, v)$ pro všechny $v \in V$.

Algoritmus Bellman-Ford – Korektnost

Theorem 20 (Korektnost I).

- ▶ Pokud G **neobsahuje** záporný cyklus dosažitelný z s , algoritmus vrátí `TRUE` a $d[v] = \delta(s, v)$ pro všechny $v \in V$.

Důkaz.

- ▶ Nechť G **neobsahuje** záporný cyklus dosažitelný z s .



Algoritmus Bellman-Ford – Korektnost

Theorem 20 (Korektnost I).

- ▶ Pokud G **neobsahuje** záporný cyklus dosažitelný z s , algoritmus vrátí `TRUE` a $d[v] = \delta(s, v)$ pro všechny $v \in V$.

Důkaz.

- ▶ Nechť G **neobsahuje** záporný cyklus dosažitelný z s .
- ▶ Po ukončení algoritmu je $d[v] = \delta(s, v)$ pro všechny $v \in V$ (Lemma 19)



Algoritmus Bellman-Ford – Korektnost

Theorem 20 (Korektnost I).

- ▶ Pokud G **neobsahuje** záporný cyklus dosažitelný z s , algoritmus vrací `TRUE` a $d[v] = \delta(s, v)$ pro všechny $v \in V$.

Důkaz.

- ▶ Nechť G **neobsahuje** záporný cyklus dosažitelný z s .
- ▶ Po ukončení algoritmu je $d[v] = \delta(s, v)$ pro všechny $v \in V$ (Lemma 19)
- ▶ Navíc, $d[v] = \delta(s, v) \leq \delta(s, u) + w(u, v) = d[u] + w(u, v)$. Proto algoritmus vrací `TRUE`.



Algoritmus Bellman-Ford – Korektnost

Theorem 21 (Korektnost II).

- ▶ Pokud G *obsahuje* záp. cyklus dosažitelný z s , alg. vrátí FALSE.

Algoritmus Bellman-Ford – Korektnost

Theorem 21 (Korektnost II).

- ▶ Pokud G *obsahuje* záp. cyklus dosažitelný z s , alg. vrátí FALSE.

Důkaz.

- ▶ Záporný cyklus $c = \langle v_0, v_1, \dots, v_k \rangle$, $v_0 = v_k$, dosažitelný z s .



Algoritmus Bellman-Ford – Korektnost

Theorem 21 (Korektnost II).

- ▶ Pokud G **obsahuje** záp. cyklus dosažitelný z s , alg. vrátí FALSE.

Důkaz.

- ▶ Záporný cyklus $c = \langle v_0, v_1, \dots, v_k \rangle$, $v_0 = v_k$, dosažitelný z s .
- ▶ Pak $\sum_{i=1}^k w(v_{i-1}, v_i) < 0$.



Algoritmus Bellman-Ford – Korektnost

Theorem 21 (Korektnost II).

- ▶ Pokud G **obsahuje** záp. cyklus dosažitelný z s , alg. vrátí FALSE.

Důkaz.

- ▶ Záporný cyklus $c = \langle v_0, v_1, \dots, v_k \rangle$, $v_0 = v_k$, dosažitelný z s .
- ▶ Pak $\sum_{i=1}^k w(v_{i-1}, v_i) < 0$.
- ▶ Sporem – alg. vrátí TRUE, tj. $d[v_i] \leq d[v_{i-1}] + w(v_{i-1}, v_i)$ pro $i = 1, 2, \dots, k$.



Algoritmus Bellman-Ford – Korektnost

Theorem 21 (Korektnost II).

- ▶ Pokud G **obsahuje** záp. cyklus dosažitelný z s , alg. vrátí FALSE.

Důkaz.

- ▶ Záporný cyklus $c = \langle v_0, v_1, \dots, v_k \rangle$, $v_0 = v_k$, dosažitelný z s .
- ▶ Pak $\sum_{i=1}^k w(v_{i-1}, v_i) < 0$.
- ▶ Sporem – alg. vrátí TRUE, tj. $d[v_i] \leq d[v_{i-1}] + w(v_{i-1}, v_i)$ pro $i = 1, 2, \dots, k$.
- ▶ Pak ale $\sum_{i=1}^k d[v_i] \leq \sum_{i=1}^k d[v_{i-1}] + \sum_{i=1}^k w(v_{i-1}, v_i)$.



Algoritmus Bellman-Ford – Korektnost

Theorem 21 (Korektnost II).

- ▶ Pokud G **obsahuje** záp. cyklus dosažitelný z s , alg. vrátí FALSE.

Důkaz.

- ▶ Záporný cyklus $c = \langle v_0, v_1, \dots, v_k \rangle$, $v_0 = v_k$, dosažitelný z s .
- ▶ Pak $\sum_{i=1}^k w(v_{i-1}, v_i) < 0$.
- ▶ Sporem – alg. vrátí TRUE, tj. $d[v_i] \leq d[v_{i-1}] + w(v_{i-1}, v_i)$ pro $i = 1, 2, \dots, k$.
- ▶ Pak ale $\sum_{i=1}^k d[v_i] \leq \sum_{i=1}^k d[v_{i-1}] + \sum_{i=1}^k w(v_{i-1}, v_i)$.
- ▶ Protože $v_0 = v_k$, máme $\sum_{i=1}^k d[v_i] = \sum_{i=1}^k d[v_{i-1}]$.



Algoritmus Bellman-Ford – Korektnost

Theorem 21 (Korektnost II).

- ▶ Pokud G **obsahuje** záp. cyklus dosažitelný z s , alg. vrátí FALSE.

Důkaz.

- ▶ Záporný cyklus $c = \langle v_0, v_1, \dots, v_k \rangle$, $v_0 = v_k$, dosažitelný z s .
 - ▶ Pak $\sum_{i=1}^k w(v_{i-1}, v_i) < 0$.
 - ▶ Sporem – alg. vrátí TRUE, tj. $d[v_i] \leq d[v_{i-1}] + w(v_{i-1}, v_i)$ pro $i = 1, 2, \dots, k$.
 - ▶ Pak ale $\sum_{i=1}^k d[v_i] \leq \sum_{i=1}^k d[v_{i-1}] + \sum_{i=1}^k w(v_{i-1}, v_i)$.
 - ▶ Protože $v_0 = v_k$, máme $\sum_{i=1}^k d[v_i] = \sum_{i=1}^k d[v_{i-1}]$.
 - ▶ Jelikož pro $i = 1, 2, \dots, k$ je $d[v_i] < \infty$, máme $0 \leq \sum_{i=1}^k w(v_{i-1}, v_i)$.
- Spor.



Nejkratší cesty z jednoho do všech uzlů v acyklických grafech

Nejkratší cesty v acyklických grafech

- ▶ Pro acyklické grafy existuje rychlejší metoda než Bellman-Ford.

DAG-SHORTEST-PATHS(G, w, s)

1 Topologicky uspořádej uzly grafu G

2 INITIALIZE-SINGLE-SOURCE(G, s)

3 **for** každý uzel u , brané podle topologického uspořádání

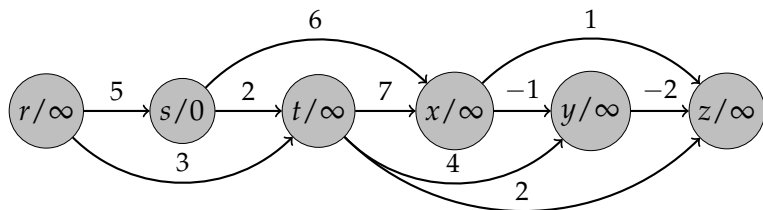
4 **do for** každý uzel $v \in Adj[u]$

5 **do** RELAX(u, v, w)

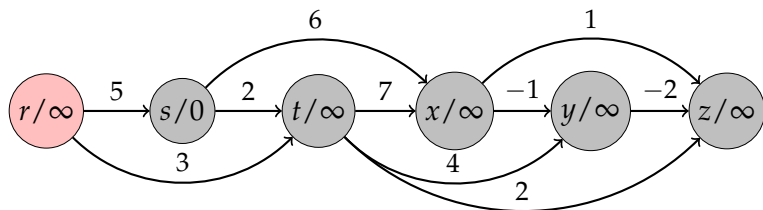
- ▶ Časová složitost $\Theta(n + m)$.

- ▶ Časová složitost topologického uspořádání je $\Theta(n + m)$.
- ▶ Řádek dva má složitost $\Theta(n)$.
- ▶ Řádky 3-5 projdou každou hranu právě jednou, tj. vnitřní cyklus se provede m -krát. RELAX je konstantní.

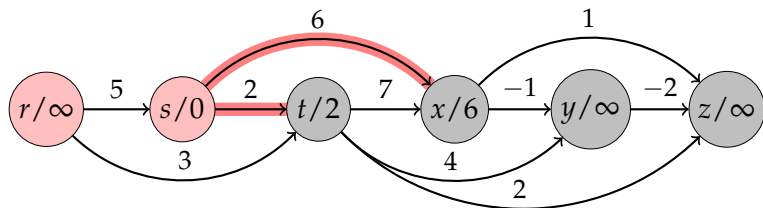
Příklad



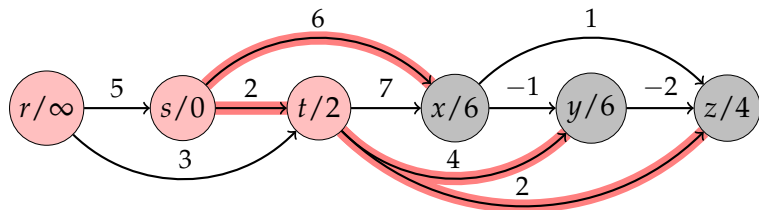
Příklad



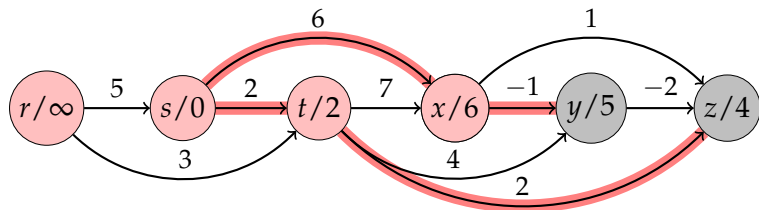
Příklad



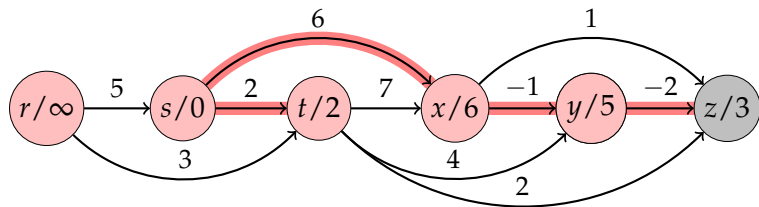
Příklad



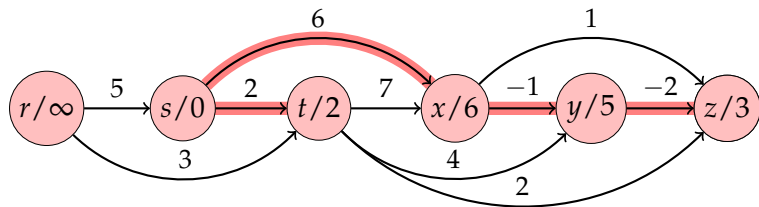
Příklad



Příklad



Příklad



Theorem 22.

Pokud ohodnocený orientovaný graf $G = (V, E)$ má zdrojový uzel s a žádný cyklus, pak DAG-SHORTEST-PATHS procedura vypočítá $d[v] = \delta(s, v)$ pro $v \in V$.

Korektnost

Theorem 22.

Pokud ohodnocený orientovaný graf $G = (V, E)$ má zdrojový uzel s a žádný cyklus, pak DAG-SHORTEST-PATHS procedura vypočítá $d[v] = \delta(s, v)$ pro $v \in V$.

Důkaz.

- ▶ Pokud v nedosažitelný z s , pak $d[v] = \delta(s, v) = \infty$.



Korektnost

Theorem 22.

Pokud ohodnocený orientovaný graf $G = (V, E)$ má zdrojový uzel s a žádný cyklus, pak DAG-SHORTEST-PATHS procedura vypočítá $d[v] = \delta(s, v)$ pro $v \in V$.

Důkaz.

- ▶ Pokud v nedosažitelný z s , pak $d[v] = \delta(s, v) = \infty$.
- ▶ Necht' $p = \langle v_0, v_1, \dots, v_k \rangle$, kde $s = v_0$ a $v = v_k$.



Korektnost

Theorem 22.

Pokud ohodnocený orientovaný graf $G = (V, E)$ má zdrojový uzel s a žádný cyklus, pak DAG-SHORTEST-PATHS procedura vypočítá $d[v] = \delta(s, v)$ pro $v \in V$.

Důkaz.

- ▶ Pokud v nedosažitelný z s , pak $d[v] = \delta(s, v) = \infty$.
- ▶ Necht' $p = \langle v_0, v_1, \dots, v_k \rangle$, kde $s = v_0$ a $v = v_k$.
- ▶ Jelikož algoritmus prochází uzly podle topologického uspořádání, jsou hrany p relaxovány v pořadí $(v_0, v_1), (v_1, v_2), \dots, (v_{k-1}, v_k)$.



Theorem 22.

Pokud ohodnocený orientovaný graf $G = (V, E)$ má zdrojový uzel s a žádný cyklus, pak DAG-SHORTEST-PATHS procedura vypočítá $d[v] = \delta(s, v)$ pro $v \in V$.

Důkaz.

- ▶ Pokud v nedosažitelný z s , pak $d[v] = \delta(s, v) = \infty$.
- ▶ Necht' $p = \langle v_0, v_1, \dots, v_k \rangle$, kde $s = v_0$ a $v = v_k$.
- ▶ Jelikož algoritmus prochází uzly podle topologického uspořádání, jsou hrany p relaxovány v pořadí $(v_0, v_1), (v_1, v_2), \dots, (v_{k-1}, v_k)$.
- ▶ Z toho plyne, že $d[v_i] = \delta(s, v_i)$ po ukončení algoritmu (dokažte).



Dijkstrův algoritmus

Dijkstrův algoritmus

- ▶ Pouze pro ohodnocené orientované grafy **bez** záporných ohodnocení.
- ▶ $w(u, v) \geq 0$ pro každou hranu $(u, v) \in E$.

Dijkstrův algoritmus

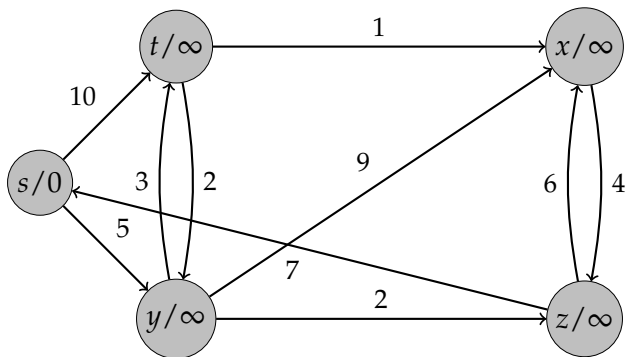
- ▶ Pouze pro ohodnocené orientované grafy **bez** záporných ohodnocení.
- ▶ $w(u, v) \geq 0$ pro každou hranu $(u, v) \in E$.
- ▶ Je možno jej naimplementovat tak, že jeho časová složitost je **nižší** než algoritmu Bellman-Ford.

Dijkstrův algoritmus

- ▶ S je množina uzlů, jejichž nejkratší vzdálenost od s již byla vypočtena.
- ▶ Q je prioritní fronta; uzel s min. d -hodnotou na vrcholu fronty.

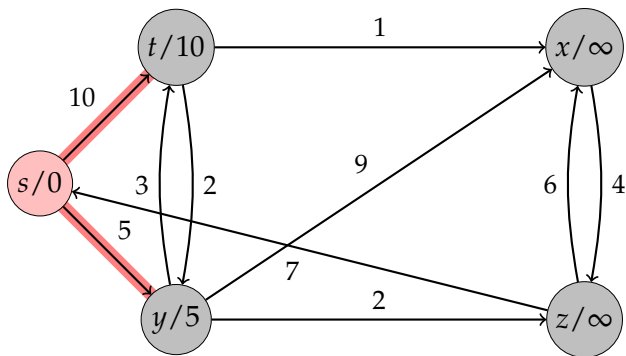
```
DIJKSTRA( $G, w, s$ )
1 INITIALIZE-SINGLE-SOURCE( $G, s$ )
2  $S \leftarrow \emptyset$ 
3  $Q \leftarrow V$ 
4 while  $Q \neq \emptyset$ 
5     do  $u \leftarrow \text{EXTRACT-MIN}(Q)$ 
6          $S \leftarrow S \cup \{u\}$ 
7         for každý uzel  $v \in \text{Adj}[u]$ 
8             do RELAX( $u, v, w$ )
```

Dijkstrův algoritmus – pŕíklad



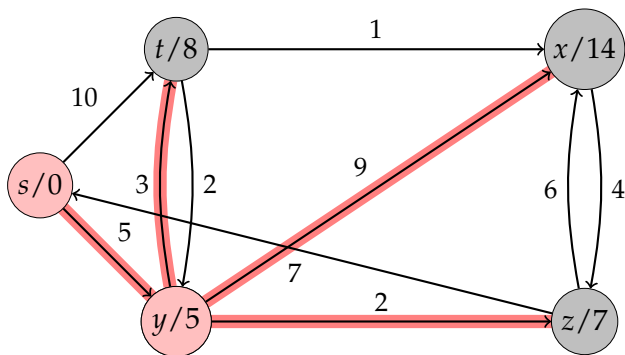
Obrázek: Práce Dijkstrova algoritmu. Označené uzly značí uzly z množiny S .

Dijkstrův algoritmus – pŕíklad



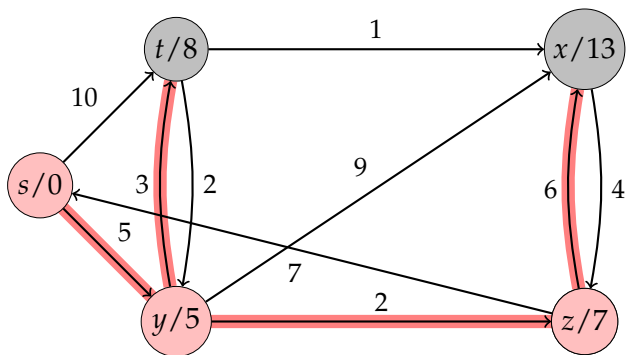
Obrázek: Práce Dijkstrova algoritmu. Označené uzly značí uzly z množiny S .

Dijkstrův algoritmus – příklad



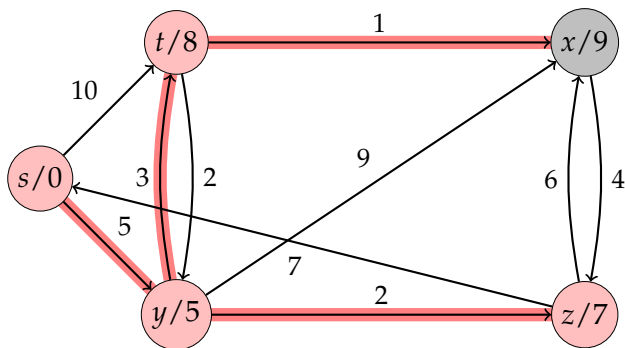
Obrázek: Práce Dijkstrova algoritmu. Označené uzly značí uzly z množiny S .

Dijkstrův algoritmus – pŕíklad



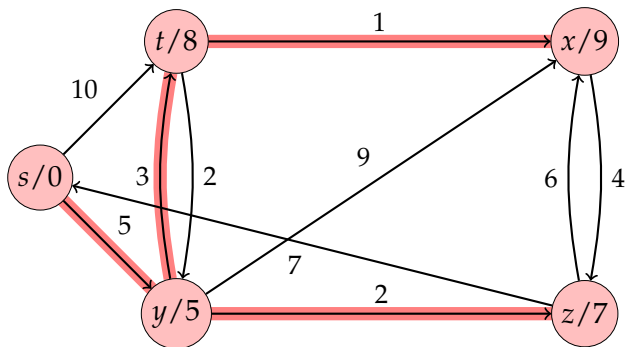
Obrázek: Práce Dijkstrova algoritmu. Označené uzly značí uzly z množiny S .

Dijkstrův algoritmus – příklad



Obrázek: Práce Dijkstrova algoritmu. Označené uzly značí uzly z množiny S .

Dijkstrův algoritmus – pŕíklad



Obrázek: Práce Dijkstrova algoritmu. Označené uzly značí uzly z množiny S .

Korektnost

Theorem 23.

Dijkstrův algoritmus, spuštěn na ohodnoceném orientovaném grafu $G = (V, E)$ bez záporných hran s zdrojem s , skončí a $d[v] = \delta(s, v)$ pro $v \in V$.

Korektnost

Theorem 23.

Dijkstrův algoritmus, spuštěn na ohodnoceném orientovaném grafu $G = (V, E)$ bez záporných hran s zdojem s , skončí a $d[v] = \delta(s, v)$ pro $v \in V$.

Důkaz.

- ▶ Invariant: Na začátku každého **while**-cyklu je $d[v] = \delta(s, v)$ pro $v \in S$.

Korektnost

Theorem 23.

Dijkstrův algoritmus, spuštěn na ohodnoceném orientovaném grafu $G = (V, E)$ bez záporných hran s zdojem s , skončí a $d[v] = \delta(s, v)$ pro $v \in V$.

Důkaz.

- ▶ Invariant: Na začátku každého **while**-cyklu je $d[v] = \delta(s, v)$ pro $v \in S$.
- ▶ Platí pro $S = \emptyset$.

Korektnost

Theorem 23.

Dijkstrův algoritmus, spuštěn na ohodnoceném orientovaném grafu $G = (V, E)$ bez záporných hran s zdojem s , skončí a $d[v] = \delta(s, v)$ pro $v \in V$.

Důkaz.

- ▶ Invariant: Na začátku každého **while**-cyklu je $d[v] = \delta(s, v)$ pro $v \in S$.
- ▶ Platí pro $S = \emptyset$.
- ▶ Nechť u je **první** uzel pro nějž $d[u] \neq \delta(s, u)$ v okamžiku přidání do S .

Korektnost

Theorem 23.

Dijkstrův algoritmus, spuštěn na ohodnoceném orientovaném grafu $G = (V, E)$ bez záporných hran s zdrojem s , skončí a $d[v] = \delta(s, v)$ pro $v \in V$.

Důkaz.

- ▶ Invariant: Na začátku každého **while**-cyklu je $d[v] = \delta(s, v)$ pro $v \in S$.
- ▶ Platí pro $S = \emptyset$.
- ▶ Necht' u je první uzel pro nějž $d[u] \neq \delta(s, u)$ v okamžiku přidání do S .
- ▶ Pak musí být $u \neq s$, protože s je přidáný jako první do S a $d[s] = \delta(s, s) = 0$ platí v okamžiku přidání s do S .

Korektnost

Theorem 23.

Dijkstrův algoritmus, spuštěn na ohodnoceném orientovaném grafu $G = (V, E)$ bez záporných hran s zdojem s , skončí a $d[v] = \delta(s, v)$ pro $v \in V$.

Důkaz.

- ▶ Invariant: Na začátku každého **while**-cyklu je $d[v] = \delta(s, v)$ pro $v \in S$.
- ▶ Platí pro $S = \emptyset$.
- ▶ Necht' u je **první** uzel pro nějž $d[u] \neq \delta(s, u)$ v okamžiku přidání do S .
- ▶ Pak musí být $u \neq s$, protože s je přidáný jako první do S a $d[s] = \delta(s, s) = 0$ platí v okamžiku přidání s do S .
- ▶ Protože $u \neq s$, je $S \neq \emptyset$ (těsně) před přidáním u .

Korektnost

Theorem 23.

Dijkstrův algoritmus, spuštěn na ohodnoceném orientovaném grafu $G = (V, E)$ bez záporných hran s zdojem s , skončí a $d[v] = \delta(s, v)$ pro $v \in V$.

Důkaz.

- ▶ Invariant: Na začátku každého **while**-cyklu je $d[v] = \delta(s, v)$ pro $v \in S$.
- ▶ Platí pro $S = \emptyset$.
- ▶ Necht' u je první uzel pro nějž $d[u] \neq \delta(s, u)$ v okamžiku přidání do S .
- ▶ Pak musí být $u \neq s$, protože s je přidáný jako první do S a $d[s] = \delta(s, s) = 0$ platí v okamžiku přidání s do S .
- ▶ Protože $u \neq s$, je $S \neq \emptyset$ (těsně) před přidáním u .
- ▶ Z předpokladu $d[u] \neq \delta(s, u)$ plyne existence cesty z s do u – jinak je $d[u] = \delta(s, u) = \infty$.

Korektnost

Theorem 23.

Dijkstrův algoritmus, spuštěn na ohodnoceném orientovaném grafu $G = (V, E)$ bez záporných hran s zdojem s , skončí a $d[v] = \delta(s, v)$ pro $v \in V$.

Důkaz.

- ▶ Invariant: Na začátku každého **while**-cyklu je $d[v] = \delta(s, v)$ pro $v \in S$.
- ▶ Platí pro $S = \emptyset$.
- ▶ Necht' u je první uzel pro nějž $d[u] \neq \delta(s, u)$ v okamžiku přidání do S .
- ▶ Pak musí být $u \neq s$, protože s je přidáný jako první do S a $d[s] = \delta(s, s) = 0$ platí v okamžiku přidání s do S .
- ▶ Protože $u \neq s$, je $S \neq \emptyset$ (těsně) před přidáním u .
- ▶ Z předpokladu $d[u] \neq \delta(s, u)$ plyne existence cesty z s do u – jinak je $d[u] = \delta(s, u) = \infty$.
- ▶ Existuje tedy nejkratší cesta p z s do u .

Korektnost

Pokračování důkazu.

- ▶ Existuje tedy nejkratší cesta p z s do u .



Korektnost

Pokračování důkazu.

- ▶ Existuje tedy nejkratší cesta p z s do u .
- ▶ Těsně před přidáním u do S spojuje p uzel $s \in S$ s uzlem $u \in V - S$.



Korektnost

Pokračování důkazu.

- ▶ Existuje tedy nejkratší cesta p z s do u .
- ▶ Těsně před přidáním u do S spojuje p uzel $s \in S$ s uzlem $u \in V - S$.
- ▶ Rozložme p následovně:

$$s \overset{p_1}{\rightsquigarrow} x \rightarrow y \overset{p_2}{\rightsquigarrow} u,$$

kde y je **první uzel** na cestě, který **leží ve $V - S$** a x je jeho **přechůdce** na p .



Korektnost

Pokračování důkazu.

- ▶ Existuje tedy nejkratší cesta p z s do u .
- ▶ Těsně před přidáním u do S spojuje p uzel $s \in S$ s uzlem $u \in V - S$.
- ▶ Rozložme p následovně:

$$s \overset{p_1}{\rightsquigarrow} x \rightarrow y \overset{p_2}{\rightsquigarrow} u,$$

kde y je **první uzel** na cestě, který **leží ve $V - S$** a x je jeho **přechůdce** na p .

- ▶ Podle předpokladu máme, že $d[x] = \delta(s, x)$ v okamžiku přidání x do S .



Korektnost

Pokračování důkazu.

- ▶ Existuje tedy nejkratší cesta p z s do u .
- ▶ Těsně před přidáním u do S spojuje p uzel $s \in S$ s uzlem $u \in V - S$.
- ▶ Rozložme p následovně:

$$s \overset{p_1}{\rightsquigarrow} x \rightarrow y \overset{p_2}{\rightsquigarrow} u,$$

kde y je **první uzel** na cestě, který **leží ve $V - S$** a x je jeho **přechůdce** na p .

- ▶ Podle předpokladu máme, že $d[x] = \delta(s, x)$ v okamžiku přidání x do S .
- ▶ Jelikož v tomto okamžiku byla hrana (x, y) relaxována, $d[y] = \delta(s, y)$ v okamžiku přidání u do S (dokažte).



Korektnost

Pokračování důkazu.

- ▶ $s \overset{p_1}{\rightsquigarrow} x \rightarrow y \overset{p_2}{\rightsquigarrow} u$, kde y je první uzel ležící ve $V - S$ a x je jeho přechůdce na p .
- ▶ $d[y] = \delta(s, y)$ v okamžiku přidání u do S .

Korektnost

Pokračování důkazu.

- ▶ $s \xrightarrow{p_1} x \rightarrow y \xrightarrow{p_2} u$, kde y je první uzel ležící ve $V - S$ a x je jeho přechůdce na p .
- ▶ $d[y] = \delta(s, y)$ v okamžiku přidání u do S .
- ▶ Jelikož y leží před u na nejkratší cestě z s do u a ohodnocení hran je nezáporné, máme $\delta(s, y) \leq \delta(s, u)$.

Korektnost

Pokračování důkazu.

- ▶ $s \overset{p_1}{\rightsquigarrow} x \rightarrow y \overset{p_2}{\rightsquigarrow} u$, kde y je první uzel ležící ve $V - S$ a x je jeho přechůdce na p .
- ▶ $d[y] = \delta(s, y)$ v okamžiku přidání u do S .
- ▶ Jelikož y leží před u na nejkratší cestě z s do u a ohodnocení hran je nezáporné, máme $\delta(s, y) \leq \delta(s, u)$.
- ▶ Tedy, $d[y] = \delta(s, y) \leq \delta(s, u) \leq d[u]$.

Korektnost

Pokračování důkazu.

- ▶ $s \overset{p_1}{\rightsquigarrow} x \rightarrow y \overset{p_2}{\rightsquigarrow} u$, kde y je první uzel ležící ve $V - S$ a x je jeho přechůdce na p .
- ▶ $d[y] = \delta(s, y)$ v okamžiku přidání u do S .
- ▶ Jelikož y leží před u na nejkratší cestě z s do u a ohodnocení hran je nezáporné, máme $\delta(s, y) \leq \delta(s, u)$.
- ▶ Tedy, $d[y] = \delta(s, y) \leq \delta(s, u) \leq d[u]$.
- ▶ Protože však oba uzly $y, u \in V - S$ v okamžiku, kdy u byl vybrán, je $d[u] \leq d[y]$.

Korektnost

Pokračování důkazu.

- ▶ $s \xrightarrow{p_1} x \rightarrow y \xrightarrow{p_2} u$, kde y je první uzel ležící ve $V - S$ a x je jeho přechůdce na p .
- ▶ $d[y] = \delta(s, y)$ v okamžiku přidání u do S .
- ▶ Jelikož y leží před u na nejkratší cestě z s do u a ohodnocení hran je nezáporné, máme $\delta(s, y) \leq \delta(s, u)$.
- ▶ Tedy, $d[y] = \delta(s, y) \leq \delta(s, u) \leq d[u]$.
- ▶ Protože však oba uzly $y, u \in V - S$ v okamžiku, kdy u byl vybrán, je $d[u] \leq d[y]$.
- ▶ Celkem tedy $d[u] = \delta(s, u)$. **Spor – špatný předpoklad.**

Korektnost

Pokračování důkazu.

- ▶ $s \xrightarrow{p_1} x \rightarrow y \xrightarrow{p_2} u$, kde y je první uzel ležící ve $V - S$ a x je jeho přechůdce na p .
- ▶ $d[y] = \delta(s, y)$ v okamžiku přidání u do S .
- ▶ Jelikož y leží před u na nejkratší cestě z s do u a ohodnocení hran je nezáporné, máme $\delta(s, y) \leq \delta(s, u)$.
- ▶ Tedy, $d[y] = \delta(s, y) \leq \delta(s, u) \leq d[u]$.
- ▶ Protože však oba uzly $y, u \in V - S$ v okamžiku, kdy u byl vybrán, je $d[u] \leq d[y]$.
- ▶ Celkem tedy $d[u] = \delta(s, u)$. **Spor – špatný předpoklad.**
- ▶ V okamžiku ukončení je $Q = \emptyset$. Jelikož $Q = V - S$ (rozmyslete si), je $S = V$. Proto $d[v] = \delta(s, v)$ pro $v \in V$.

Korektnost

Pokračování důkazu.

- ▶ $s \xrightarrow{p_1} x \rightarrow y \xrightarrow{p_2} u$, kde y je první uzel ležící ve $V - S$ a x je jeho přechůdce na p .
- ▶ $d[y] = \delta(s, y)$ v okamžiku přidání u do S .
- ▶ Jelikož y leží před u na nejkratší cestě z s do u a ohodnocení hran je nezáporné, máme $\delta(s, y) \leq \delta(s, u)$.
- ▶ Tedy, $d[y] = \delta(s, y) \leq \delta(s, u) \leq d[u]$.
- ▶ Protože však oba uzly $y, u \in V - S$ v okamžiku, kdy u byl vybrán, je $d[u] \leq d[y]$.
- ▶ Celkem tedy $d[u] = \delta(s, u)$. **Spor – špatný předpoklad.**
- ▶ V okamžiku ukončení je $Q = \emptyset$. Jelikož $Q = V - S$ (rozmyslete si), je $S = V$. Proto $d[v] = \delta(s, v)$ pro $v \in V$.
- ▶ Hotovo – uff. . . .

Složitost Dijkstrova algoritmu

Prioritní fronta implementována pomocí pole

- ▶ INSERT a DECREASE-KEY čas $O(1)$.
- ▶ EXTRACT-MIN čas $O(n)$, provede se pro každý uzel (řádek 5).

Složitost Dijkstrova algoritmu

Prioritní fronta implementována pomocí pole

- ▶ INSERT a DECREASE-KEY čas $O(1)$.
- ▶ EXTRACT-MIN čas $O(n)$, provede se pro každý uzel (řádek 5).
- ▶ RELAX na řádku 8 se provede m -krát.

Složitost Dijkstrova algoritmu

Prioritní fronta implementována pomocí pole

- ▶ INSERT a DECREASE-KEY čas $O(1)$.
- ▶ EXTRACT-MIN čas $O(n)$, provede se pro každý uzel (řádek 5).
- ▶ RELAX na řádku 8 se provede m -krát.

- ▶ Celkem $O(n^2 + m) = O(n^2)$.

Složitost Dijkstrova algoritmu

Prioritní fronta implementována pomocí pole

- ▶ INSERT a DECREASE-KEY čas $O(1)$.
- ▶ EXTRACT-MIN čas $O(n)$, provede se pro každý uzel (řádek 5).
- ▶ RELAX na řádku 8 se provede m -krát.

- ▶ Celkem $O(n^2 + m) = O(n^2)$.

- ▶ Pro řídké grafy, $|E| = o(n^2 / \log n)$, lze dostat časovou složitost $O(m \log n)$ (pomocí binární haldy).

Složitost Dijkstrova algoritmu

Prioritní fronta implementována pomocí pole

- ▶ INSERT a DECREASE-KEY čas $O(1)$.
- ▶ EXTRACT-MIN čas $O(n)$, provede se pro každý uzel (řádek 5).
- ▶ RELAX na řádku 8 se provede m -krát.

- ▶ Celkem $O(n^2 + m) = O(n^2)$.

- ▶ Pro řídké grafy, $|E| = o(n^2 / \log n)$, lze dostat časovou složitost $O(m \log n)$ (pomocí binární haldy).

- ▶ Obecně, použitím Fibonacciho haldy dostaneme časovou složitost $O(n \log n + m)$.

Nejkratší cesty ze všech uzlů do všech ostatních uzlů

Nejkratší cesty

- ▶ Daný ohodnocený orientovaný graf $G = (V, E)$ a
- ▶ váhová funkce $f : E \rightarrow \mathbb{R}$.

Nejkratší cesty

- ▶ Daný ohodnocený orientovaný graf $G = (V, E)$ a
- ▶ váhová funkce $f : E \rightarrow \mathbb{R}$.

- ▶ Možno n -krát použít algoritmus pro nalezení nejkratší cesty z daného uzlu do všech ostatních.
- ▶ Dijkstrův algoritmus: Čas $O(n^3 + nm) = O(n^3)$ pro pole, či $O(n^2 \log n + nm)$ pro Fibonacciho haldu.

Nejkratší cesty

- ▶ Daný ohodnocený orientovaný graf $G = (V, E)$ a
- ▶ váhová funkce $f : E \rightarrow \mathbb{R}$.

- ▶ Možno n -krát použít algoritmus pro nalezení nejkratší cesty z daného uzlu do všech ostatních.
- ▶ Dijkstrův algoritmus: Čas $O(n^3 + nm) = O(n^3)$ pro pole, či $O(n^2 \log n + nm)$ pro Fibonacciho haldu.
- ▶ Pokud povolíme záporné hrany, musíme použít algoritmus Bellman-Ford, tj. čas $O(n^2m)$, což je na hustých grafech $O(n^4)$.

Nejkratší cesty

- ▶ Na rozdíl od předchozí části zde používáme **matici sousednosti**
 $W = (w_{ij})$, kde

$$w_{ij} = \begin{cases} 0 & \text{pro } i = j, \\ w(i,j) & \text{pro } i \neq j \text{ a } (i,j) \in E, \\ \infty & \text{pro } i \neq j \text{ a } (i,j) \notin E \end{cases}$$

Nejkratší cesty

- ▶ Na rozdíl od předchozí části zde používáme **matici sousednosti**
 $W = (w_{ij})$, kde

$$w_{ij} = \begin{cases} 0 & \text{pro } i = j, \\ w(i,j) & \text{pro } i \neq j \text{ a } (i,j) \in E, \\ \infty & \text{pro } i \neq j \text{ a } (i,j) \notin E \end{cases}$$

- ▶ Připouštíme záporné hrany.

Nejkratší cesty

- ▶ Na rozdíl od předchozí části zde používáme **matici sousednosti**
 $W = (w_{ij})$, kde

$$w_{ij} = \begin{cases} 0 & \text{pro } i = j, \\ w(i,j) & \text{pro } i \neq j \text{ a } (i,j) \in E, \\ \infty & \text{pro } i \neq j \text{ a } (i,j) \notin E \end{cases}$$

- ▶ Připouštíme záporné hrany.
- ▶ Zatím se omezíme na grafy **bez** záporných cyklů.

Nejkratší cesty

- ▶ Na rozdíl od předchozí části zde používáme **matici sousednosti** $W = (w_{ij})$, kde

$$w_{ij} = \begin{cases} 0 & \text{pro } i = j, \\ w(i,j) & \text{pro } i \neq j \text{ a } (i,j) \in E, \\ \infty & \text{pro } i \neq j \text{ a } (i,j) \notin E \end{cases}$$

- ▶ Připouštíme záporné hrany.
- ▶ Zatím se omezíme na grafy **bez** záporných cyklů.
- ▶ Výsledek v matici $D = (d_{ij})$, kde $d_{ij} = \delta(i,j)$ po ukončení algoritmu.

Nejkratší cesty

- ▶ Na rozdíl od předchozí části zde používáme **matici sousednosti**
 $W = (w_{ij})$, kde

$$w_{ij} = \begin{cases} 0 & \text{pro } i = j, \\ w(i,j) & \text{pro } i \neq j \text{ a } (i,j) \in E, \\ \infty & \text{pro } i \neq j \text{ a } (i,j) \notin E \end{cases}$$

- ▶ Připouštíme záporné hrany.
- ▶ Zatím se omezíme na grafy **bez** záporných cyklů.
- ▶ Výsledek v matici $D = (d_{ij})$, kde $d_{ij} = \delta(i,j)$ po ukončení algoritmu.
- ▶ Matice předchůdců $\Pi(\pi_{ij})$, kde π_{ij} je

Nejkratší cesty

- ▶ Na rozdíl od předchozí části zde používáme **matici sousednosti** $W = (w_{ij})$, kde

$$w_{ij} = \begin{cases} 0 & \text{pro } i = j, \\ w(i,j) & \text{pro } i \neq j \text{ a } (i,j) \in E, \\ \infty & \text{pro } i \neq j \text{ a } (i,j) \notin E \end{cases}$$

- ▶ Připouštíme záporné hrany.
- ▶ Zatím se omezíme na grafy **bez** záporných cyklů.
- ▶ Výsledek v matici $D = (d_{ij})$, kde $d_{ij} = \delta(i,j)$ po ukončení algoritmu.
- ▶ Matice předchůdců $\Pi(\pi_{ij})$, kde π_{ij} je
 1. **NIL**, pokud $i = j$ nebo neexistuje cesta z i do j ,

Nejkratší cesty

- ▶ Na rozdíl od předchozí části zde používáme **matici sousednosti** $W = (w_{ij})$, kde

$$w_{ij} = \begin{cases} 0 & \text{pro } i = j, \\ w(i,j) & \text{pro } i \neq j \text{ a } (i,j) \in E, \\ \infty & \text{pro } j \neq i \text{ a } (i,j) \notin E \end{cases}$$

- ▶ Připouštíme záporné hrany.
- ▶ Zatím se omezíme na grafy **bez** záporných cyklů.
- ▶ Výsledek v matici $D = (d_{ij})$, kde $d_{ij} = \delta(i,j)$ po ukončení algoritmu.
- ▶ Matice předchůdců $\Pi(\pi_{ij})$, kde π_{ij} je
 1. **NIL**, pokud $i = j$ nebo neexistuje cesta z i do j ,
 2. **předchůdce** j na nějaké nejkratší cestě z i .

Výpis nejkratších cest

```
PRINT-ALL-SHORTEST-PATH( $\Pi, i, j$ )
1  if  $i = j$ 
2    then print  $i$ 
3    else if  $\pi_{ij} = NIL$ 
4        then print "Cesta z"  $i$  "do"  $j$  "neexistuje!"
5        else PRINT-ALL-SHORTEST-PATH( $\Pi, i, \pi_{ij}$ )
6        print  $j$ 
```

Násobení matic

Násobení matic – struktura nejkratších cest

- ▶ Reprezentace – matice sousednosti $W = (w_{ij})$.

Násobení matic – struktura nejkratších cest

- ▶ Reprezentace – matice sousednosti $W = (w_{ij})$.
- ▶ Necht' p je nejkratší cesta z i do j , která má m' hran.

Násobení matic – struktura nejkratších cest

- ▶ Reprezentace – matice sousednosti $W = (w_{ij})$.
- ▶ Necht' p je nejkratší cesta z i do j , která má m' hran.
- ▶ Pokud p nemá záporný cyklus, pak $m' < \infty$.

Násobení matic – struktura nejkratších cest

- ▶ Reprezentace – matice sousednosti $W = (w_{ij})$.
- ▶ Necht' p je nejkratší cesta z i do j , která má m' hran.
- ▶ Pokud p nemá záporný cyklus, pak $m' < \infty$.
- ▶ Pro $i = j$ je $m' = 0$ a $w_{ij} = \delta(i, j) = 0$.

Násobení matic – struktura nejkratších cest

- ▶ Reprezentace – matice sousednosti $W = (w_{ij})$.
- ▶ Necht' p je nejkratší cesta z i do j , která má m' hran.
- ▶ Pokud p nemá záporný cyklus, pak $m' < \infty$.
- ▶ Pro $i = j$ je $m' = 0$ a $w_{ij} = \delta(i, j) = 0$.
- ▶ Pro $i \neq j$ rozložme cestu p takto:

$$i \xrightarrow{p'} k \rightarrow j,$$

kde p' má $m' - 1$ hran.

Násobení matic – struktura nejkratších cest

- ▶ Reprezentace – matice sousednosti $W = (w_{ij})$.
- ▶ Necht' p je nejkratší cesta z i do j , která má m' hran.
- ▶ Pokud p nemá záporný cyklus, pak $m' < \infty$.
- ▶ Pro $i = j$ je $m' = 0$ a $w_{ij} = \delta(i, j) = 0$.
- ▶ Pro $i \neq j$ rozložme cestu p takto:

$$i \overset{p'}{\rightsquigarrow} k \rightarrow j,$$

kde p' má $m' - 1$ hran.

- ▶ p' je nejkratší cesta z i do k – rozmyslete – proto $\delta(i, j) = \delta(i, k) + w_{kj}$.

Násobení matic – rekurze

- ▶ Necht' $l_{ij}^{(m)}$ je minimální ohodnocení ze všech cest z i do j , které obsahují nejvýše m hran.

Násobení matic – rekurze

- ▶ Necht' $l_{ij}^{(m)}$ je minimální ohodnocení ze všech cest z i do j , které obsahují nejvýše m hran.
- ▶ $m = 0$ právě když $i = j$. Tedy $l_{ij}^{(0)} = \begin{cases} 0 & \text{pro } i = j \\ \infty & \text{pro } i \neq j \end{cases}$

Násobení matic – rekurze

▶ Necht' $l_{ij}^{(m)}$ je minimální ohodnocení ze všech cest z i do j , které obsahují nejvýše m hran.

▶ $m = 0$ právě když $i = j$. Tedy $l_{ij}^{(0)} = \begin{cases} 0 & \text{pro } i = j \\ \infty & \text{pro } i \neq j \end{cases}$

▶ $l_{ij}^{(m)} = \min(l_{ij}^{(m-1)}, \min_{1 \leq k \leq n} \{l_{ik}^{(m-1)} + w_{kj}\}) = \min_{1 \leq k \leq n} \{l_{ik}^{(m-1)} + w_{kj}\}.$

Násobení matic – rekurze

- ▶ Necht' $l_{ij}^{(m)}$ je minimální ohodnocení ze všech cest z i do j , které obsahují nejvýše m hran.

- ▶ $m = 0$ právě když $i = j$. Tedy $l_{ij}^{(0)} = \begin{cases} 0 & \text{pro } i = j \\ \infty & \text{pro } i \neq j \end{cases}$

- ▶ $l_{ij}^{(m)} = \min(l_{ij}^{(m-1)}, \min_{1 \leq k \leq n} \{l_{ik}^{(m-1)} + w_{kj}\}) = \min_{1 \leq k \leq n} \{l_{ik}^{(m-1)} + w_{kj}\}$.

- ▶ Nejkratší cesta z i do j má nejvýše $n - 1$ hran, proto

$$\delta(i, j) = l_{ij}^{(n-1)} = l_{ij}^{(n)} = l_{ij}^{(n+1)} = \dots$$

(Když tam není záporný cyklus.)

Násobení matic – výpočet

- ▶ Vstupní matice $W = (w_{ij})$.

Násobení matic – výpočet

- ▶ Vstupní matice $W = (w_{ij})$.
- ▶ Vypočteme matice $L^{(1)}, L^{(2)}, \dots, L^{(n-1)}$, kde pro $m = 1, 2, \dots, n - 1$,

$$L^{(m)} = (l_{ij}^{(m)}).$$

Násobení matic – výpočet

- ▶ Vstupní matice $W = (w_{ij})$.
- ▶ Vypočteme matice $L^{(1)}, L^{(2)}, \dots, L^{(n-1)}$, kde pro $m = 1, 2, \dots, n - 1$,

$$L^{(m)} = (l_{ij}^{(m)}).$$

- ▶ $L^{(n-1)}$ pak obsahuje hodnoty nejkratších cest.

Násobení matic – výpočet

- ▶ Vstupní matice $W = (w_{ij})$.
- ▶ Vypočteme matice $L^{(1)}, L^{(2)}, \dots, L^{(n-1)}$, kde pro $m = 1, 2, \dots, n - 1$,

$$L^{(m)} = (l_{ij}^{(m)}).$$

- ▶ $L^{(n-1)}$ pak obsahuje hodnoty nejkratších cest.
- ▶ $l_{ij}^{(1)} = w_{ij}$, tj. $L^{(1)} = W$.

Srdce algoritmu

```
EXTEND-SHORTEST-PATHS( $L, W$ )
1  $n \leftarrow \text{rows}[L]$ 
2 Nechť  $L' = (l'_{ij})$  je matice řádu  $n$ 
3 for  $i \leftarrow 1$  to  $n$ 
4     do for  $j \leftarrow 1$  to  $n$ 
5         do  $l'_{ij} \leftarrow \infty$ 
6             for  $k \leftarrow 1$  to  $n$ 
7                 do  $l'_{ij} \leftarrow \min(l'_{ij}, l_{ik} + w_{kj})$ 
8 return  $L'$ 
```

- ▶ $\text{rows}[L]$ značí počet řádků L .
- ▶ Časová složitost $\Theta(n^3)$.

Konečně souvislost s násobením matic

- ▶ Necht' $C = A \cdot B$, kde A a B jsou matice řádu n .

Konečně souvislost s násobením matic

- ▶ Necht' $C = A \cdot B$, kde A a B jsou matice řádu n .
- ▶ Pak

$$c_{ij} = \sum_{k=1}^n a_{ik} \cdot b_{kj}$$

Konečně souvislost s násobením matic

- ▶ Necht' $C = A \cdot B$, kde A a B jsou matice řádu n .
- ▶ Pak

$$c_{ij} = \sum_{k=1}^n a_{ik} \cdot b_{kj}$$

- ▶ Pro srovnání

$$l_{ij}^{(m)} = \min_{1 \leq k \leq n} \{l_{ik}^{(m-1)} + w_{kj}\}$$

Najděte 4 rozdíly (mimo názvu)

```
EXTEND-SHORTEST-PATHS( $L, W$ )
1  $n \leftarrow \text{rows}[L]$ 
2 Nechť  $L' = (l'_{ij})$  je matice řádu  $n$ 
3 for  $i \leftarrow 1$  to  $n$ 
4   do for  $j \leftarrow 1$  to  $n$ 
5     do  $l'_{ij} \leftarrow \infty$ 
6     for  $k \leftarrow 1$  to  $n$ 
7       do  $l'_{ij} \leftarrow \min(l'_{ij}, l_{ik} + w_{kj})$ 
8 return  $L'$ 
```

```
MATRIX-MULTIPLY( $A, B$ )
1  $n \leftarrow \text{rows}[A]$ 
2 Nechť  $C$  je matice řádu  $n$ 
3 for  $i \leftarrow 1$  to  $n$ 
4   do for  $j \leftarrow 1$  to  $n$ 
5     do  $c_{ij} \leftarrow 0$ 
6     for  $k \leftarrow 1$  to  $n$ 
7       do  $c_{ij} \leftarrow c_{ij} + a_{ik} \cdot b_{kj}$ 
8 return  $C$ 
```

Zase násobení matic

- ▶ Označme $A \cdot B$ matici vypočtenou procedurou $\text{EXTEND-SHORTEST-PATHS}(A, B)$.

Zase násobení matic

- ▶ Označme $A \cdot B$ matici vypočtenou procedurou $\text{EXTEND-SHORTEST-PATHS}(A, B)$.
- ▶ Pak počítáme sekvenci matic

$$\begin{aligned}L^{(1)} &= L^{(0)} \cdot W = W \\L^{(2)} &= L^{(1)} \cdot W = W^2 \\L^{(3)} &= L^{(2)} \cdot W = W^3 \\&\quad \vdots \\L^{(n-1)} &= L^{(n-2)} \cdot W = W^{n-1}\end{aligned}$$

kde W^{n-1} obsahuje hodnoty nejkratších cest.

Pomalá metoda

SLOW-ALL-SHORTEST-PATHS(W)

1 $n \leftarrow \text{rows}[W]$

2 $L^{(1)} \leftarrow W$

3 **for** $m \leftarrow 2$ **to** $n - 1$

4 **do** $L^{(m)} \leftarrow \text{EXTEND-SHORTEST-PATHS}(L^{(m-1)}, W)$

5 **return** $L^{(n-1)}$

- ▶ Složitost $\Theta(n^4)$.

Rychlá (rychlejší) metoda

- ▶ Jak zrychlit?

Rychlá (rychlejší) metoda

- ▶ Jak zrychlit?
- ▶ Pokud nemáme záporný cyklus, pak $L^{(m)} = L^{(n-1)}$ pro $m \geq n - 1$.

Rychlá (rychlejší) metoda

- ▶ Jak zrychlit?
- ▶ Pokud nemáme záporný cyklus, pak $L^{(m)} = L^{(n-1)}$ pro $m \geq n - 1$.
- ▶ Násobení matic definované procedurou `EXTEND-SHORTEST-PATHS` je asociativní.

Rychlá (rychlejší) metoda

- ▶ Jak zrychlit?
- ▶ Pokud nemáme záporný cyklus, pak $L^{(m)} = L^{(n-1)}$ pro $m \geq n - 1$.
- ▶ Násobení matic definované procedurou `EXTEND-SHORTEST-PATHS` je asociativní.
- ▶ Nemusíme tedy počítat $n - 1$ násobení, ale pouze $\lceil \log n - 1 \rceil$

Rychlá (rychlejší) metoda

- ▶ Jak zrychlit?
- ▶ Pokud nemáme záporný cyklus, pak $L^{(m)} = L^{(n-1)}$ pro $m \geq n - 1$.
- ▶ Násobení matic definované procedurou `EXTEND-SHORTEST-PATHS` je asociativní.
- ▶ Nemusíme tedy počítat $n - 1$ násobení, ale pouze $\lceil \log n - 1 \rceil$
- ▶ Počítáme sekvenci matic

$$\begin{aligned} L^{(1)} &= W \\ L^{(2)} &= W^2 \\ L^{(4)} &= W^4 = W^2 \cdot W^2 \\ L^{(8)} &= W^8 = W^4 \cdot W^4 \\ &\vdots \\ L^{(2^{\lceil \log n - 1 \rceil})} &= W^{(2^{\lceil \log n - 1 \rceil})} = W^{2^{\lceil \log n - 1 \rceil - 1}} \cdot W^{2^{\lceil \log n - 1 \rceil - 1}} \end{aligned}$$

Protože $2^{\lceil \log n - 1 \rceil} \geq n - 1$, je $L^{(2^{\lceil \log n - 1 \rceil})} = L^{(n-1)}$.

Rychlá (rychlejší) metoda

FAST-ALL-SHORTEST-PATHS(W)

1 $n \leftarrow \text{rows}[W]$

2 $L^{(1)} \leftarrow W$

3 $m \leftarrow 1$

4 **while** $m < n - 1$

5 **do** $L^{(2m)} \leftarrow \text{EXTEND-SHORTEST-PATHS}(L^{(m)}, L^{(m)})$

6 $m \leftarrow 2m$

7 **return** $L^{(m)}$

- ▶ Složitost $\Theta(n^3 \log n)$.

Floyd-Warshallův algoritmus

Floyd-Warshallův algoritmus

- ▶ Připouštíme záporné hrany.
- ▶ Avšak předpokládáme, že nemáme záporné cykly.

Struktura nejkratších cest

- ▶ **Vnitřní uzel** nejkratší cesty $p = \langle v_1, v_2, \dots, v_k \rangle$ je libovolný uzel v_i pro $1 < i < k$.

Struktura nejkratších cest

- ▶ **Vnitřní uzel** nejkratší cesty $p = \langle v_1, v_2, \dots, v_k \rangle$ je libovolný uzel v_i pro $1 < i < k$.
- ▶ Necht' $\{1, 2, \dots, k\} \subseteq V = \{1, 2, \dots, n\}$.

Struktura nejkratších cest

- ▶ **Vnitřní uzel** nejkratší cesty $p = \langle v_1, v_2, \dots, v_k \rangle$ je libovolný uzel v_i pro $1 < i < k$.
- ▶ Necht' $\{1, 2, \dots, k\} \subseteq V = \{1, 2, \dots, n\}$.
- ▶ Pro $i, j \in V$, uvažme všechny cesty z i do j , kde vnitřní uzly jsou z množiny $\{1, 2, \dots, k\}$.

Struktura nejkratších cest

- ▶ **Vnitřní uzel** nejkratší cesty $p = \langle v_1, v_2, \dots, v_k \rangle$ je libovolný uzel v_i pro $1 < i < k$.
- ▶ Necht' $\{1, 2, \dots, k\} \subseteq V = \{1, 2, \dots, n\}$.
- ▶ Pro $i, j \in V$, uvažme všechny cesty z i do j , kde vnitřní uzly jsou z množiny $\{1, 2, \dots, k\}$.
- ▶ Necht' p je nejkratší taková cesta.

Struktura nejkratších cest

- ▶ **Vnitřní uzel** nejkratší cesty $p = \langle v_1, v_2, \dots, v_k \rangle$ je libovolný uzel v_i pro $1 < i < k$.
- ▶ Necht' $\{1, 2, \dots, k\} \subseteq V = \{1, 2, \dots, n\}$.
- ▶ Pro $i, j \in V$, uvažme všechny cesty z i do j , kde vnitřní uzly jsou z množiny $\{1, 2, \dots, k\}$.
- ▶ Necht' p je nejkratší taková cesta.
- ▶ Floyd-Warshallův algoritmus využívá vztahu mezi cestou p a nejkratší cestou z i do j , která má vnitřní uzly z množiny $\{1, 2, \dots, k-1\}$.

Struktura nejkratších cest

- ▶ **Vnitřní uzel** nejkratší cesty $p = \langle v_1, v_2, \dots, v_k \rangle$ je libovolný uzel v_i pro $1 < i < k$.
- ▶ Necht' $\{1, 2, \dots, k\} \subseteq V = \{1, 2, \dots, n\}$.
- ▶ Pro $i, j \in V$, uvažme všechny cesty z i do j , kde vnitřní uzly jsou z množiny $\{1, 2, \dots, k\}$.
- ▶ Necht' p je nejkratší taková cesta.
- ▶ Floyd-Warshallův algoritmus využívá vztahu mezi cestou p a nejkratší cestou z i do j , která má vnitřní uzly z množiny $\{1, 2, \dots, k-1\}$.
 - ▶ k **není** vnitřní uzel p , pak všechny vnitřní uzly p jsou z $\{1, 2, \dots, k-1\}$. Tedy nejkratší cesta z i do j s vnitřními uzly z $\{1, 2, \dots, k-1\}$ je rovněž nejkratší cesta z i do j s vnitřními uzly z $\{1, 2, \dots, k\}$.

Struktura nejkratších cest

- ▶ **Vnitřní uzel** nejkratší cesty $p = \langle v_1, v_2, \dots, v_k \rangle$ je libovolný uzel v_i pro $1 < i < k$.
- ▶ Necht' $\{1, 2, \dots, k\} \subseteq V = \{1, 2, \dots, n\}$.
- ▶ Pro $i, j \in V$, uvažme všechny cesty z i do j , kde vnitřní uzly jsou z množiny $\{1, 2, \dots, k\}$.
- ▶ Necht' p je nejkratší taková cesta.
- ▶ Floyd-Warshallův algoritmus využívá vztahu mezi cestou p a nejkratší cestou z i do j , která má vnitřní uzly z množiny $\{1, 2, \dots, k-1\}$.
 - ▶ k **není** vnitřní uzel p , pak všechny vnitřní uzly p jsou z $\{1, 2, \dots, k-1\}$. Tedy nejkratší cesta z i do j s vnitřními uzly z $\{1, 2, \dots, k-1\}$ je rovněž nejkratší cesta z i do j s vnitřními uzly z $\{1, 2, \dots, k\}$.
 - ▶ k **je** vnitřní uzel p , pak $i \overset{p_1}{\rightsquigarrow} k \overset{p_2}{\rightsquigarrow} j$. Přitom p_1 je nejkratší cesta z i do k s vnitřními uzly z $\{1, 2, \dots, k-1\}$ a p_2 je nejkratší cesta z k do j s vnitřními uzly z $\{1, 2, \dots, k-1\}$.

Rekurze

- ▶ Necht' $d_{ij}^{(k)}$ je ohodnocení nejkratší cesty z i do j , která má vnitřní uzly pouze z množiny $\{1, 2, \dots, k\}$.

Rekurze

- ▶ Necht' $d_{ij}^{(k)}$ je ohodnocení nejkratší cesty z i do j , která má vnitřní uzly pouze z množiny $\{1, 2, \dots, k\}$.
- ▶ $k = 0$ právě když $d_{ij}^{(0)} = w_{ij}$. Tedy

$$d_{ij}^{(k)} = \begin{cases} w_{ij} & \text{pro } k = 0 \\ \min(d_{ij}^{(k-1)}, d_{ik}^{(k-1)} + d_{kj}^{(k-1)}) & \text{pro } k \geq 1 \end{cases}$$

Rekurze

- ▶ Necht' $d_{ij}^{(k)}$ je ohodnocení nejkratší cesty z i do j , která má vnitřní uzly pouze z množiny $\{1, 2, \dots, k\}$.
- ▶ $k = 0$ právě když $d_{ij}^{(0)} = w_{ij}$. Tedy

$$d_{ij}^{(k)} = \begin{cases} w_{ij} & \text{pro } k = 0 \\ \min(d_{ij}^{(k-1)}, d_{ik}^{(k-1)} + d_{kj}^{(k-1)}) & \text{pro } k \geq 1 \end{cases}$$

- ▶ Protože všechny vnitřní uzly jsou z množiny $V = \{1, 2, \dots, n\}$, matice $D^{(n)} = (d_{ij}^{(n)})$ dává $d_{ij}^{(n)} = \delta(i, j)$ pro $i, j \in V$.

Výpočet

FLOYD-WARSHALL(W)

1 $n \leftarrow \text{rows}[W]$

2 $D^{(0)} \leftarrow W$

3 **for** $k \leftarrow 1$ **to** n

4 **do for** $i \leftarrow 1$ **to** n

5 **do for** $j \leftarrow 1$ **to** n

6 **do** $d_{ij}^{(k)} \leftarrow \min(d_{ij}^{(k-1)}, d_{ik}^{(k-1)} + d_{kj}^{(k-1)})$

7 **return** $D^{(n)}$

► Složitost $\Theta(n^3)$.

Konstrukce nejkratší cesty

$$\pi_{ij}^{(0)} = \begin{cases} \text{NIL} & \text{pro } i = j \text{ nebo } w_{ij} = \infty \\ i & \text{pro } i \neq j \text{ a } w_{ij} < \infty \end{cases}$$

Konstrukce nejkratší cesty

$$\pi_{ij}^{(0)} = \begin{cases} \text{NIL} & \text{pro } i = j \text{ nebo } w_{ij} = \infty \\ i & \text{pro } i \neq j \text{ a } w_{ij} < \infty \end{cases}$$

Pro $k \geq 1$,

$$\pi_{ij}^{(k)} = \begin{cases} \pi_{ij}^{(k-1)} & \text{pro } d_{ij}^{(k-1)} \leq d_{ik}^{(k-1)} + d_{kj}^{(k-1)} \\ \pi_{kj}^{(k-1)} & \text{pro } d_{ij}^{(k-1)} > d_{ik}^{(k-1)} + d_{kj}^{(k-1)} \end{cases}$$

Transitivní uzávěr grafu

- ▶ Dán orientovaný graf $G = (V, E)$, $V = \{1, 2, \dots, n\}$.

Transitivní uzávěr grafu

- ▶ Dán orientovaný graf $G = (V, E)$, $V = \{1, 2, \dots, n\}$.
- ▶ Transitivní uzávěr grafu G je graf $G^* = (V, E^*)$, kde

$$E^* = \{(i, j) : \text{existuje cesta z } i \text{ do } j \text{ v } G\}.$$

Transitivní uzávěr grafu

- ▶ Dán orientovaný graf $G = (V, E)$, $V = \{1, 2, \dots, n\}$.
- ▶ Transitivní uzávěr grafu G je graf $G^* = (V, E^*)$, kde

$$E^* = \{(i, j) : \text{existuje cesta z } i \text{ do } j \text{ v } G\}.$$

- ▶ Ohodnotíme hrany hodnotou 1 a spustíme Floyd-Warshallův algoritmus ($\Theta(n^3)$).

Transitivní uzávěr grafu

- ▶ Dán orientovaný graf $G = (V, E)$, $V = \{1, 2, \dots, n\}$.
- ▶ Transitivní uzávěr grafu G je graf $G^* = (V, E^*)$, kde

$$E^* = \{(i, j) : \text{existuje cesta z } i \text{ do } j \text{ v } G\}.$$

- ▶ Ohodnotíme hrany hodnotou 1 a spustíme Floyd-Warshallův algoritmus ($\Theta(n^3)$).
 - ▶ Pokud existuje cesta z i do j , pak $d_{ij} < n$.

Transitivní uzávěr grafu

- ▶ Dán orientovaný graf $G = (V, E)$, $V = \{1, 2, \dots, n\}$.
- ▶ Transitivní uzávěr grafu G je graf $G^* = (V, E^*)$, kde

$$E^* = \{(i, j) : \text{existuje cesta z } i \text{ do } j \text{ v } G\}.$$

- ▶ Ohodnotíme hrany hodnotou 1 a spustíme Floyd-Warshallův algoritmus ($\Theta(n^3)$).
 - ▶ Pokud existuje cesta z i do j , pak $d_{ij} < n$.
 - ▶ Jinak je $d_{ij} = \infty$.

Transitivní uzávěr grafu

- ▶ Dán orientovaný graf $G = (V, E)$, $V = \{1, 2, \dots, n\}$.
- ▶ Transitivní uzávěr grafu G je graf $G^* = (V, E^*)$, kde

$$E^* = \{(i, j) : \text{existuje cesta z } i \text{ do } j \text{ v } G\}.$$

- ▶ Ohodnotíme hrany hodnotou 1 a spustíme Floyd-Warshallův algoritmus ($\Theta(n^3)$).
 - ▶ Pokud existuje cesta z i do j , pak $d_{ij} < n$.
 - ▶ Jinak je $d_{ij} = \infty$.
- ▶ Lze trochu vylepšit. . . .

Transitivní uzávěr grafu II

- ▶ Použijme logické spojky \vee a \wedge místo \min a $+$.

Transitivní uzávěr grafu II

- ▶ Použijme logické spojky \vee a \wedge místo \min a $+$.
- ▶ Definujme $t_{ij}^{(k)}$, $i, j, k \in \{1, 2, \dots, n\}$, tak, že je rovno 1 pokud existuje cesta z i do j s vnitřními uzly z $\{1, 2, \dots, k\}$, 0 jinak.

Transitivní uzávěr grafu II

- ▶ Použijme logické spojky \vee a \wedge místo \min a $+$.
- ▶ Definujme $t_{ij}^{(k)}$, $i, j, k \in \{1, 2, \dots, n\}$, tak, že je rovno 1 pokud existuje cesta z i do j s vnitřními uzly z $\{1, 2, \dots, k\}$, 0 jinak.
- ▶ Tedy

$$t_{ij}^{(0)} = \begin{cases} 0 & \text{pro } i \neq j \text{ a } (i, j) \notin E \\ 1 & \text{pro } i = j \text{ nebo } (i, j) \in E \end{cases}$$

Transitivní uzávěr grafu II

- ▶ Použijme logické spojky \vee a \wedge místo \min a $+$.
- ▶ Definujme $t_{ij}^{(k)}$, $i, j, k \in \{1, 2, \dots, n\}$, tak, že je rovno 1 pokud existuje cesta z i do j s vnitřními uzly z $\{1, 2, \dots, k\}$, 0 jinak.
- ▶ Tedy

$$t_{ij}^{(0)} = \begin{cases} 0 & \text{pro } i \neq j \text{ a } (i, j) \notin E \\ 1 & \text{pro } i = j \text{ nebo } (i, j) \in E \end{cases}$$

a pro $k \geq 1$,

$$t_{ij}^{(k)} = t_{ij}^{(k-1)} \vee \left(t_{ik}^{(k-1)} \wedge t_{kj}^{(k-1)} \right).$$

Transitivní uzávěr grafu II

- ▶ Použijme logické spojky \vee a \wedge místo \min a $+$.
- ▶ Definujme $t_{ij}^{(k)}$, $i, j, k \in \{1, 2, \dots, n\}$, tak, že je rovno 1 pokud existuje cesta z i do j s vnitřními uzly z $\{1, 2, \dots, k\}$, 0 jinak.
- ▶ Tedy

$$t_{ij}^{(0)} = \begin{cases} 0 & \text{pro } i \neq j \text{ a } (i, j) \notin E \\ 1 & \text{pro } i = j \text{ nebo } (i, j) \in E \end{cases}$$

a pro $k \geq 1$,

$$t_{ij}^{(k)} = t_{ij}^{(k-1)} \vee \left(t_{ik}^{(k-1)} \wedge t_{kj}^{(k-1)} \right).$$

- ▶ Stejně jako ve Floyd-Warshallově algoritmu máme tři **for**-cykly, tedy složitost $\Theta(n^3)$. **Proč je lepší?**

Transitivní uzávěr grafu II

- ▶ Použijme logické spojky \vee a \wedge místo \min a $+$.
- ▶ Definujme $t_{ij}^{(k)}$, $i, j, k \in \{1, 2, \dots, n\}$, tak, že je rovno 1 pokud existuje cesta z i do j s vnitřními uzly z $\{1, 2, \dots, k\}$, 0 jinak.
- ▶ Tedy

$$t_{ij}^{(0)} = \begin{cases} 0 & \text{pro } i \neq j \text{ a } (i, j) \notin E \\ 1 & \text{pro } i = j \text{ nebo } (i, j) \in E \end{cases}$$

a pro $k \geq 1$,

$$t_{ij}^{(k)} = t_{ij}^{(k-1)} \vee \left(t_{ik}^{(k-1)} \wedge t_{kj}^{(k-1)} \right).$$

- ▶ Stejně jako ve Floyd-Warshallově algoritmu máme tři **for**-cykly, tedy složitost $\Theta(n^3)$. **Proč je lepší?**
- ▶ Protože logické operace na bitech obvykle rychlejší než aritmetické operace na integerech. Navíc, v paměti jen bity, ne bajty.

Toky v síti

- ▶ **sít'** $G = (V, E)$ je orientovaný graf,

Sít'

- ▶ **sít'** $G = (V, E)$ je orientovaný graf,
- ▶ kde každá hrana $(u, v) \in E$ má nezápornou **kapacitu** $c(u, v) \geq 0$.

Sít'

- ▶ **sít'** $G = (V, E)$ je orientovaný graf,
- ▶ kde každá hrana $(u, v) \in E$ má nezápornou **kapacitu** $c(u, v) \geq 0$.
- ▶ Necht' $c(u, v) = 0$ pokud $(u, v) \notin E$.

Sít'

- ▶ **sít'** $G = (V, E)$ je orientovaný graf,
- ▶ kde každá hrana $(u, v) \in E$ má nezápornou **kapacitu** $c(u, v) \geq 0$.
- ▶ Necht' $c(u, v) = 0$ pokud $(u, v) \notin E$.
- ▶ Jsou specifikovány dva uzly: **zdroj** s a **spotřebič** t

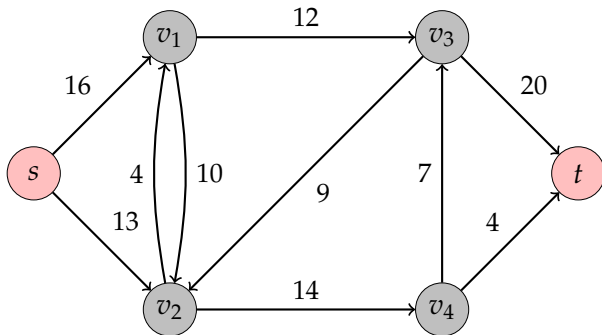
Sít'

- ▶ **sít'** $G = (V, E)$ je orientovaný graf,
- ▶ kde každá hrana $(u, v) \in E$ má nezápornou **kapacitu** $c(u, v) \geq 0$.
- ▶ Necht' $c(u, v) = 0$ pokud $(u, v) \notin E$.
- ▶ Jsou specifikovány dva uzly: **zdroj** s a **spotřebič** t
- ▶ Každý uzel leží na cestě z s do t , tj. $s \rightsquigarrow v \rightsquigarrow t$ pro každý $v \in V$.

Sít'

- ▶ **sít'** $G = (V, E)$ je orientovaný graf,
- ▶ kde každá hrana $(u, v) \in E$ má nezápornou **kapacitu** $c(u, v) \geq 0$.
- ▶ Necht' $c(u, v) = 0$ pokud $(u, v) \notin E$.
- ▶ Jsou specifikovány dva uzly: **zdroj** s a **spotřebič** t
- ▶ Každý uzel leží na cestě z s do t , tj. $s \rightsquigarrow v \rightsquigarrow t$ pro každý $v \in V$.
- ▶ Sít' je tedy souvislý graf a $m \geq n - 1$.

Sít' – příklad



Tok v síti

- ▶ Tok v síti G je reálná funkce $f : V \times V \rightarrow \mathbb{R}$ splňující:

Tok v síti

- ▶ Tok v síti G je reálná funkce $f : V \times V \rightarrow \mathbb{R}$ splňující:
 1. Pro každé $u, v \in V$, $f(u, v) \leq c(u, v)$.

Tok v síti

- ▶ Tok v síti G je reálná funkce $f : V \times V \rightarrow \mathbb{R}$ splňující:
 1. Pro každé $u, v \in V$, $f(u, v) \leq c(u, v)$.
 2. Pro každé $u, v \in V$, $f(u, v) = -f(v, u)$.

Tok v síti

► Tok v síti G je reálná funkce $f : V \times V \rightarrow \mathbb{R}$ splňující:

1. Pro každé $u, v \in V$, $f(u, v) \leq c(u, v)$.
2. Pro každé $u, v \in V$, $f(u, v) = -f(v, u)$.
3. Pro každé $u \in V - \{s, t\}$, $\sum_{v \in V} f(u, v) = 0$.

Tok v síti

- ▶ Tok v síti G je reálná funkce $f : V \times V \rightarrow \mathbb{R}$ splňující:
 1. Pro každé $u, v \in V$, $f(u, v) \leq c(u, v)$.
 2. Pro každé $u, v \in V$, $f(u, v) = -f(v, u)$.
 3. Pro každé $u \in V - \{s, t\}$, $\sum_{v \in V} f(u, v) = 0$.
- ▶ Poslední podmínka říká, že to, co vtéká do uzlu u z něj také vytéká.

Tok v síti

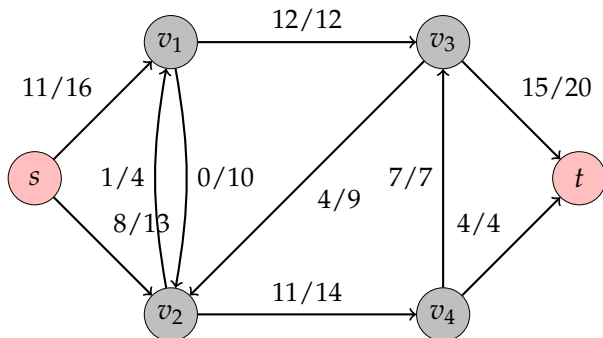
- ▶ Tok v síti G je reálná funkce $f : V \times V \rightarrow \mathbb{R}$ splňující:
 1. Pro každé $u, v \in V$, $f(u, v) \leq c(u, v)$.
 2. Pro každé $u, v \in V$, $f(u, v) = -f(v, u)$.
 3. Pro každé $u \in V - \{s, t\}$, $\sum_{v \in V} f(u, v) = 0$.
- ▶ Poslední podmínka říká, že to, co vtéká do uzlu u z něj také vytéká.
- ▶ $f(u, v)$ se nazývá tok z uzlu u do uzlu v .

Tok v síti

- ▶ **Tok** v síti G je reálná funkce $f : V \times V \rightarrow \mathbb{R}$ splňující:
 1. Pro každé $u, v \in V$, $f(u, v) \leq c(u, v)$.
 2. Pro každé $u, v \in V$, $f(u, v) = -f(v, u)$.
 3. Pro každé $u \in V - \{s, t\}$, $\sum_{v \in V} f(u, v) = 0$.
- ▶ Poslední podmínka říká, že to, co vtéká do uzlu u z něj také vytéká.
- ▶ $f(u, v)$ se nazývá **tok z uzlu u do uzlu v** .
- ▶ **Velikost toku** je definována jako

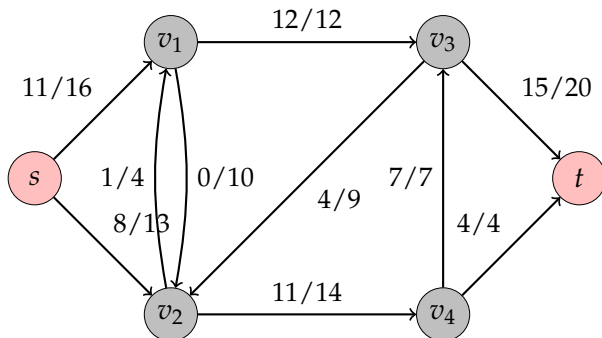
$$|f| = \sum_{v \in V} f(s, v).$$

Tok v síti – příklad



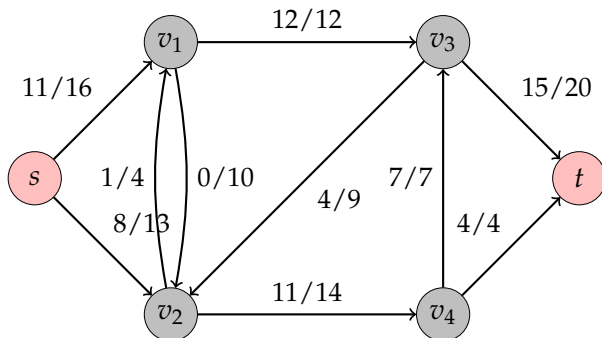
- ▶ Na hranách jsou hodnoty $f(u, v)/c(u, v)$.

Tok v síti – příklad



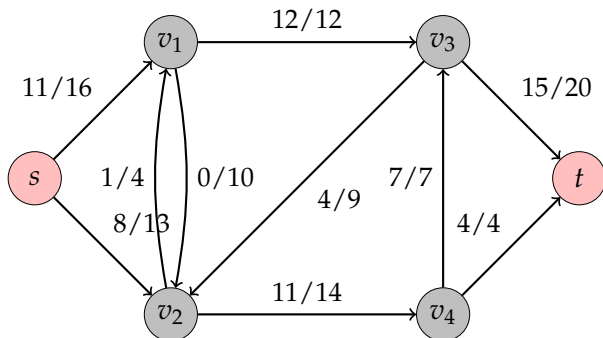
- ▶ Na hranách jsou hodnoty $f(u, v)/c(u, v)$.
- ▶ Ověřte, že jde o tok v síti.

Tok v síti – příklad



- ▶ Na hranách jsou hodnoty $f(u, v)/c(u, v)$.
- ▶ Ověřte, že jde o tok v síti.
- ▶ $|f| = ???$

Tok v síti – příklad

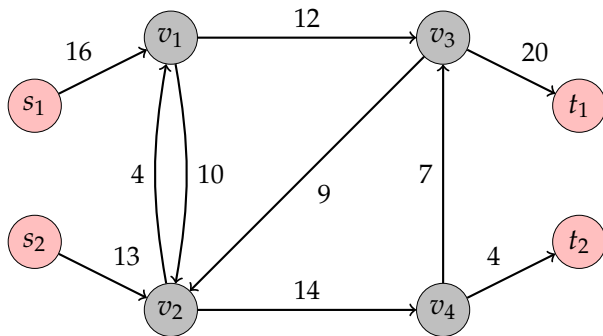


- ▶ Na hranách jsou hodnoty $f(u, v)/c(u, v)$.
- ▶ Ověřte, že jde o tok v síti.
- ▶ $|f| = ???$
- ▶ $|f| = 19$.

Maximální tok

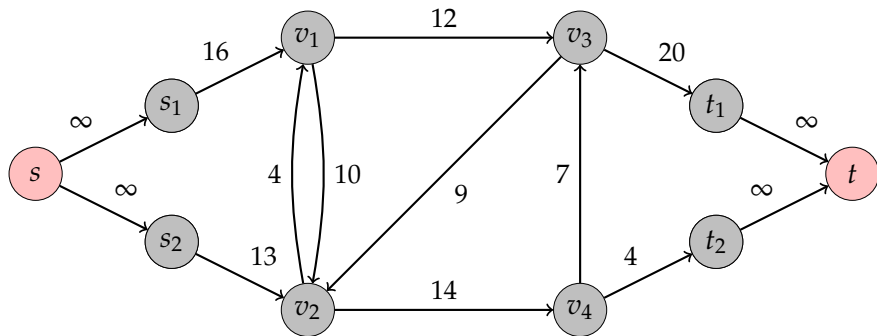
- ▶ Máme danou síť G se zdrojem s a spotřebičem t .
- ▶ Hledáme tok maximální velikosti.

Více zdrojů a spotřebičů



► Co s tím?

Více zdrojů a spotřebičů



- ▶ Co s tím?
- ▶ Vytvoříme nový zdroj a spotřebič a nastavíme novým hranám kapacitu c na ∞ .

Práce s toky

- ▶ Pro $X, Y \subseteq V$, definujeme $f(X, Y) = \sum_{x \in X} \sum_{y \in Y} f(x, y)$.

Práce s toky

- ▶ Pro $X, Y \subseteq V$, definujme $f(X, Y) = \sum_{x \in X} \sum_{y \in Y} f(x, y)$.
- ▶ Pak platí, že $|f| = f(s, V)$.

Práce s toky

- ▶ Pro $X, Y \subseteq V$, definujeme $f(X, Y) = \sum_{x \in X} \sum_{y \in Y} f(x, y)$.
- ▶ Pak platí, že $|f| = f(s, V)$.
- ▶ Pro $X \subseteq V$, $f(X, X) = 0$ — s každým $f(u, v)$ máme i $f(v, u)$.

Práce s toky

- ▶ Pro $X, Y \subseteq V$, definujeme $f(X, Y) = \sum_{x \in X} \sum_{y \in Y} f(x, y)$.
- ▶ Pak platí, že $|f| = f(s, V)$.
- ▶ Pro $X \subseteq V$, $f(X, X) = 0$ — s každým $f(u, v)$ máme i $f(v, u)$.
- ▶ Pro $X, Y \subseteq V$, $f(X, Y) = -f(Y, X)$.

Práce s toky

- ▶ Pro $X, Y \subseteq V$, definujeme $f(X, Y) = \sum_{x \in X} \sum_{y \in Y} f(x, y)$.
- ▶ Pak platí, že $|f| = f(s, V)$.
- ▶ Pro $X \subseteq V$, $f(X, X) = 0$ — s každým $f(u, v)$ máme i $f(v, u)$.
- ▶ Pro $X, Y \subseteq V$, $f(X, Y) = -f(Y, X)$.
- ▶ Pro $X, Y, Z \subseteq V$, $X \cap Y = \emptyset$,

$$f(X \cup Y, Z) = f(X, Z) + f(Y, Z)$$

a

$$f(Z, X \cup Y) = f(Z, X) + f(Z, Y).$$

Práce s toky – příklad

Dokaže, že $|f| = f(V, t)$.

Práce s toky – příklad

Dokaže, že $|f| = f(V, t)$.

Důkaz.

► $|f| = f(s, V)$

Práce s toky – příklad

Dokaže, že $|f| = f(V, t)$.

Důkaz.

- ▶ $|f| = f(s, V)$
- ▶ Víme $f(V, V) = f(s, V) + f(V - s, V) - \text{výše}$.

Práce s toky – příklad

Dokaže, že $|f| = f(V, t)$.

Důkaz.

- ▶ $|f| = f(s, V)$
- ▶ Víme $f(V, V) = f(s, V) + f(V - s, V)$ – výše.
- ▶ Tedy $f(s, V) = f(V, V) - f(V - s, V)$.

Práce s toky – příklad

Dokaže, že $|f| = f(V, t)$.

Důkaz.

- ▶ $|f| = f(s, V)$
- ▶ Víme $f(V, V) = f(s, V) + f(V - s, V)$ – výše.
- ▶ Tedy $f(s, V) = f(V, V) - f(V - s, V)$.
- ▶ Víme $f(V, V) = 0$ – výše.

Práce s toky – příklad

Dokaže, že $|f| = f(V, t)$.

Důkaz.

- ▶ $|f| = f(s, V)$
- ▶ Víme $f(V, V) = f(s, V) + f(V - s, V)$ – výše.
- ▶ Tedy $f(s, V) = f(V, V) - f(V - s, V)$.
- ▶ Víme $f(V, V) = 0$ – výše.
- ▶ Tedy $f(s, V) = -f(V - s, V)$.

Práce s toky – příklad

Dokaže, že $|f| = f(V, t)$.

Důkaz.

- ▶ $|f| = f(s, V)$
- ▶ Víme $f(V, V) = f(s, V) + f(V - s, V)$ – výše.
- ▶ Tedy $f(s, V) = f(V, V) - f(V - s, V)$.
- ▶ Víme $f(V, V) = 0$ – výše.
- ▶ Tedy $f(s, V) = -f(V - s, V)$.
- ▶ Víme $f(V, V - s) = f(V, t) + f(V, V - s - t)$ – výše.

Práce s toky – příklad

Dokaže, že $|f| = f(V, t)$.

Důkaz.

- ▶ $|f| = f(s, V)$
- ▶ Víme $f(V, V) = f(s, V) + f(V - s, V) - \text{výše}$.
- ▶ Tedy $f(s, V) = f(V, V) - f(V - s, V)$.
- ▶ Víme $f(V, V) = 0 - \text{výše}$.
- ▶ Tedy $f(s, V) = -f(V - s, V)$.
- ▶ Víme $f(V, V - s) = f(V, t) + f(V, V - s - t) - \text{výše}$.
- ▶ Z přechozího a vlastnosti toku víme, že $f(V, V - s - t) = -f(V - s - t, V) = -\sum_{u \in V - \{s, t\}} \sum_{v \in V} f(u, v) = -\sum_{u \in V - \{s, t\}} 0 = 0$.

Práce s toky – příklad

Dokaže, že $|f| = f(V, t)$.

Důkaz.

- ▶ $|f| = f(s, V)$
- ▶ Víme $f(V, V) = f(s, V) + f(V - s, V) - \text{výše}$.
- ▶ Tedy $f(s, V) = f(V, V) - f(V - s, V)$.
- ▶ Víme $f(V, V) = 0 - \text{výše}$.
- ▶ Tedy $f(s, V) = -f(V - s, V)$.
- ▶ Víme $f(V, V - s) = f(V, t) + f(V, V - s - t) - \text{výše}$.
- ▶ Z přechozího a vlastnosti toku víme, že $f(V, V - s - t) = -f(V - s - t, V) = -\sum_{u \in V - \{s, t\}} \sum_{v \in V} f(u, v) = -\sum_{u \in V - \{s, t\}} 0 = 0$.
- ▶ Tedy $|f| = f(V, t)$.

Ford-Fulkersonova metoda

Ford-Fulkersonova metoda

- ▶ Pro nalezení maximálního toku v síti.

Ford-Fulkersonova metoda

- ▶ Pro nalezení maximálního toku v síti.
- ▶ Ne algoritmus, protože existuje několik implementací s odlišnou složitostí.

Ford-Fulkersonova metoda

- ▶ Pro nalezení maximálního toku v síti.
- ▶ Ne algoritmus, protože existuje několik implementací s odlišnou složitostí.

```
FORD-FULKERSON-METHOD( $G, s, t$ )  
1 inicializuj  $f(u, v) = 0$  pro  $u, v \in V$   
2 while existuje zlepšující cesta  $p$   
3     do zlepší tok  $f$  podle  $p$   
4 return  $f$ 
```

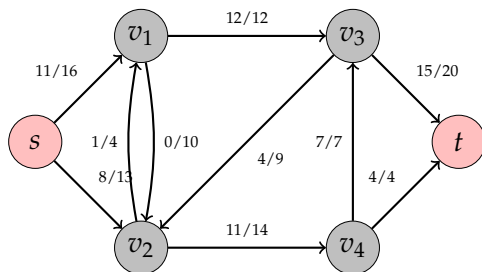
Ford-Fulkersonova metoda

- ▶ Pro nalezení maximálního toku v síti.
- ▶ Ne algoritmus, protože existuje několik implementací s odlišnou složitostí.

```
FORD-FULKERSON-METHOD( $G, s, t$ )  
1 inicializuj  $f(u, v) = 0$  pro  $u, v \in V$   
2 while existuje zlepšující cesta  $p$   
3     do zlepší tok  $f$  podle  $p$   
4 return  $f$ 
```

- ▶ **Zlepšující cesta** je cesta z s do t , kde můžeme zvětšit tok.

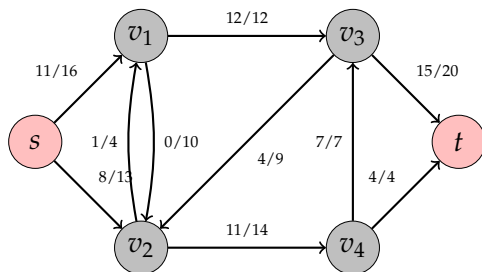
Reziduální síť



- Reziduální kapacita hrany (u, v) je

$$c_f(u, v) = c(u, v) - f(u, v).$$

Reziduální síť

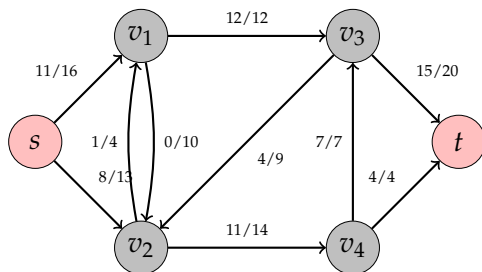


- ▶ **Reziduální kapacita** hrany (u, v) je

$$c_f(u, v) = c(u, v) - f(u, v).$$

- ▶ Např. $c_f(s, v_1) = 16 - 11 = 5$.

Reziduální síť



- ▶ **Reziduální kapacita** hrany (u, v) je

$$c_f(u, v) = c(u, v) - f(u, v).$$

- ▶ Např. $c_f(s, v_1) = 16 - 11 = 5$.
- ▶ Tok $f(u, v)$ tedy může být zlepšen až o 5 jednotek.

Reziduální síť

- ▶ Necht' $G = (V, E)$ je síť a f je tok v síti G .

Reziduální síť

- ▶ Necht' $G = (V, E)$ je síť a f je tok v síti G .
- ▶ **Reziduální síť** sítě G indukovaná tokem f je síť $G_f = (V, E_f)$, kde

$$E_f = \{(u, v) \in V \times V : c_f(u, v) > 0\}.$$

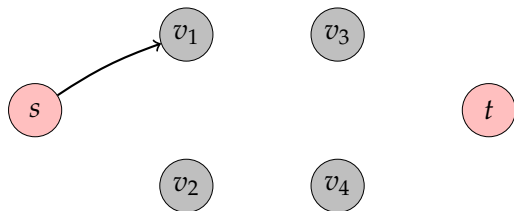
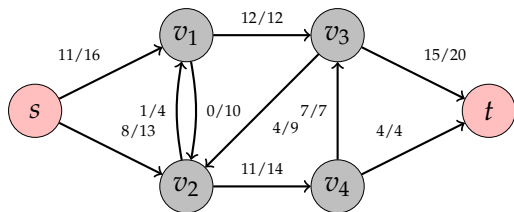
Reziduální síť

- ▶ Necht' $G = (V, E)$ je síť a f je tok v síti G .
- ▶ **Reziduální síť** sítě G indukovaná tokem f je síť $G_f = (V, E_f)$, kde

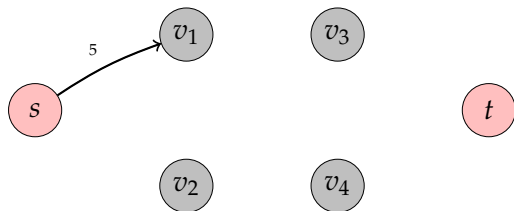
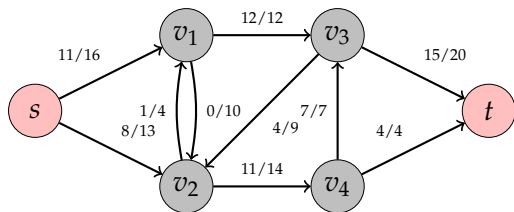
$$E_f = \{(u, v) \in V \times V : c_f(u, v) > 0\}.$$

- ▶ Platí, že $|E_f| \leq 2|E|$ – rozmyslete.

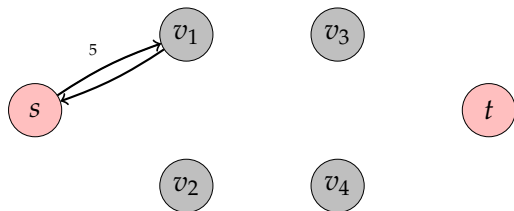
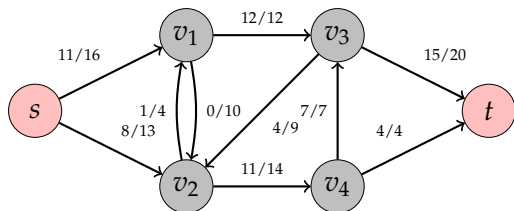
Sít' a její reziduální sít'



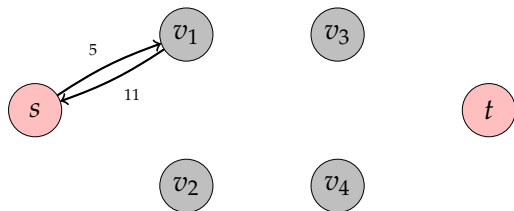
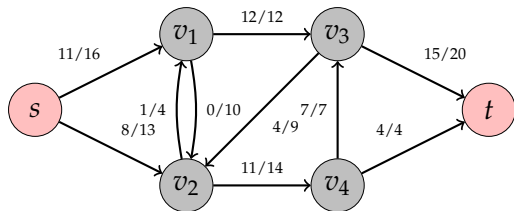
Sít' a její reziduální sít'



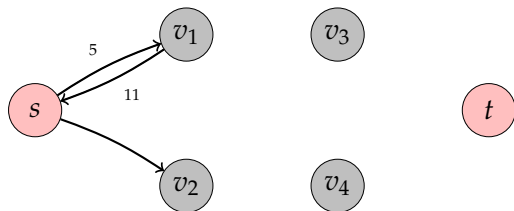
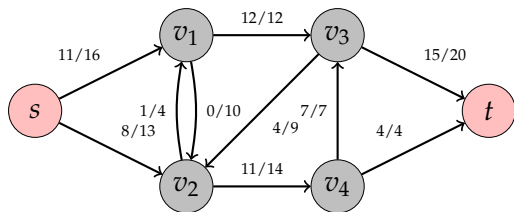
Sít' a její reziduální sít'



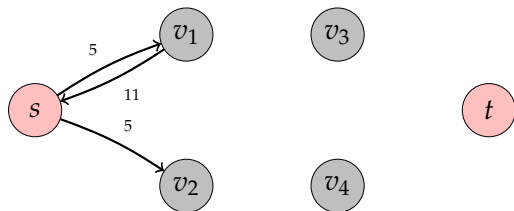
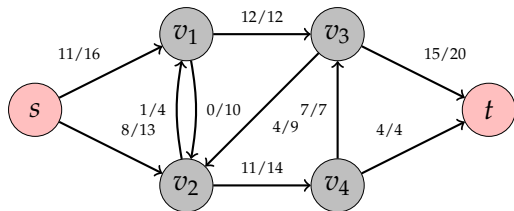
Sít' a její reziduální sít'



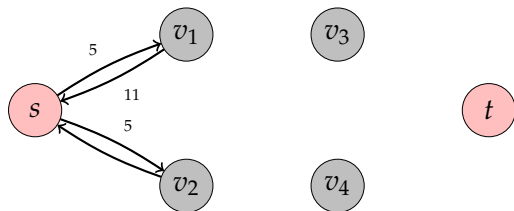
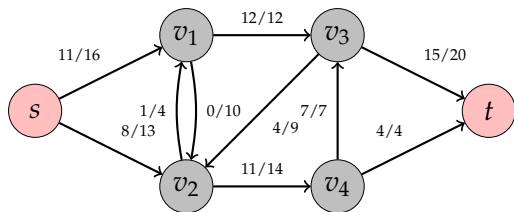
Sít' a její reziduální sít'



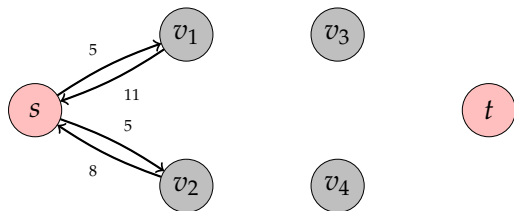
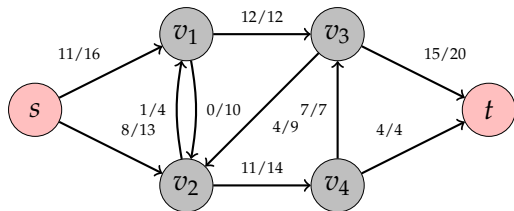
Sít' a její reziduální sít'



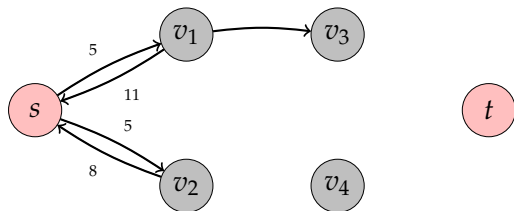
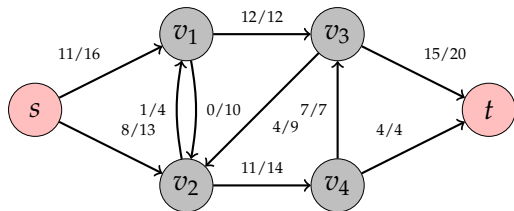
Sít' a její reziduální sít'



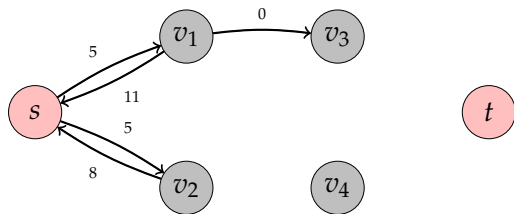
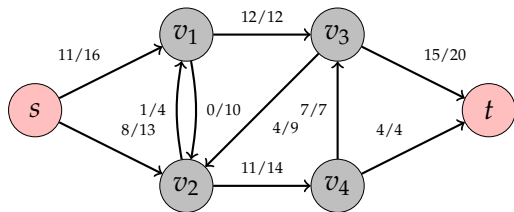
Sít' a její reziduální sít'



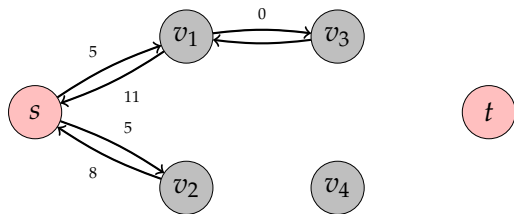
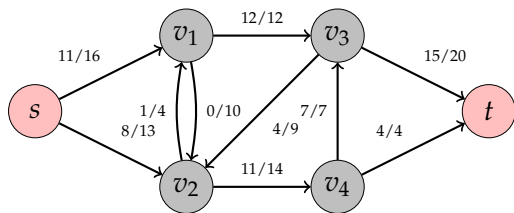
Sít' a její reziduální sít'



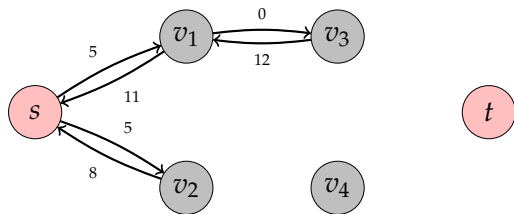
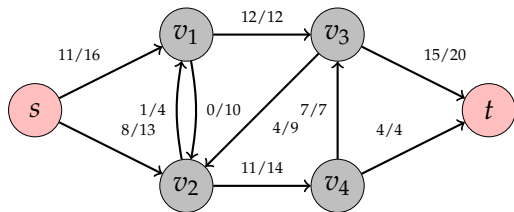
Sít' a její reziduální sít'



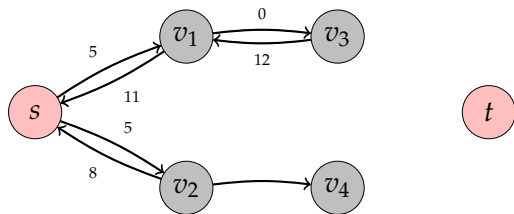
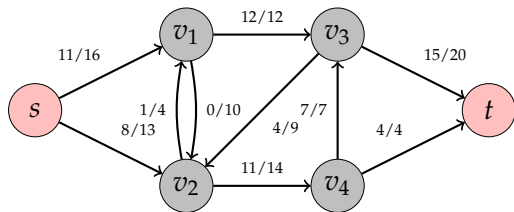
Síť a její reziduální síť



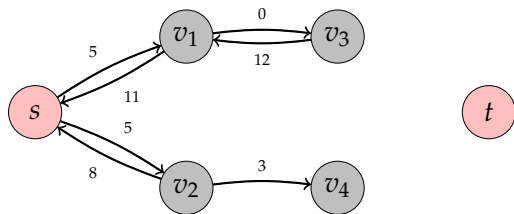
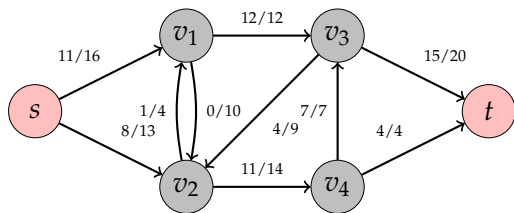
Sít' a její reziduální sít'



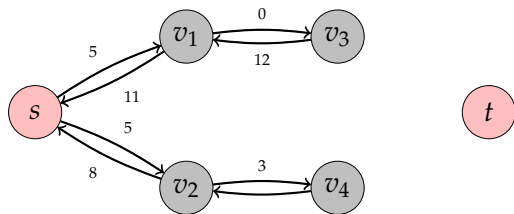
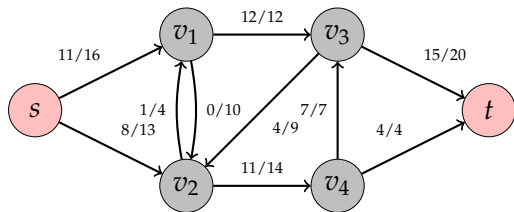
Síť a její reziduální síť



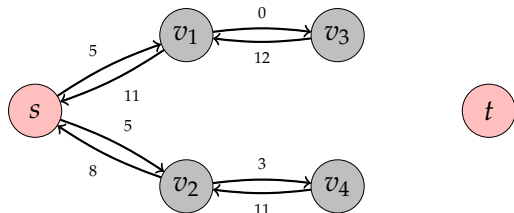
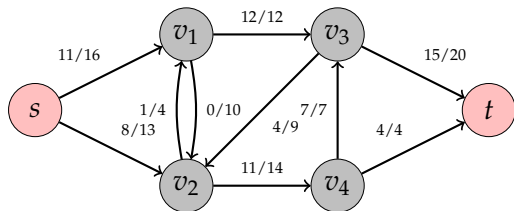
Sít' a její reziduální sít'



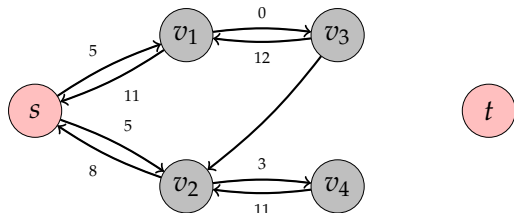
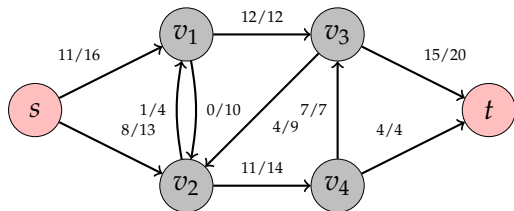
Síť a její reziduální síť



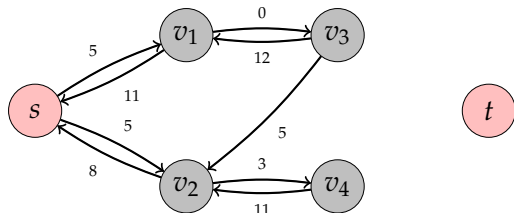
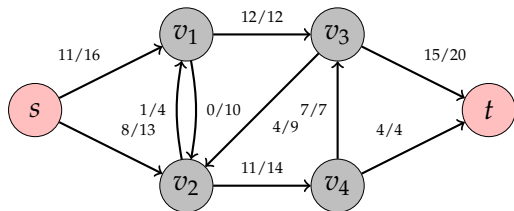
Síť a její reziduální síť



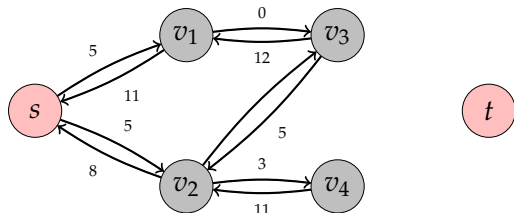
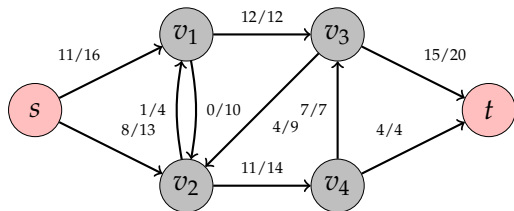
Síť a její reziduální síť



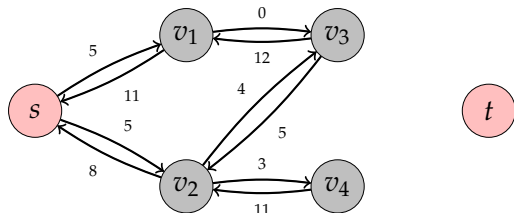
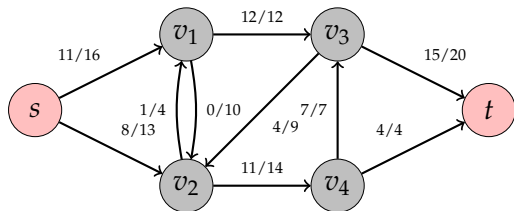
Síť a její reziduální síť



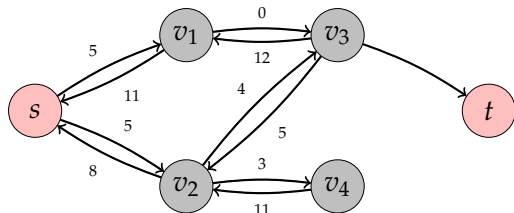
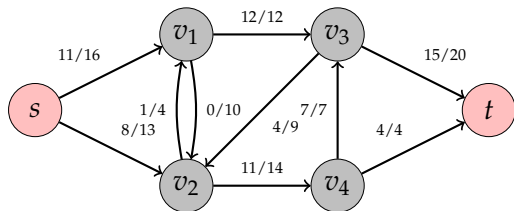
Síť a její reziduální síť



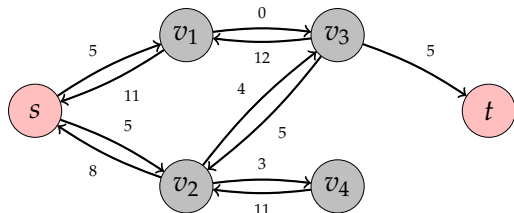
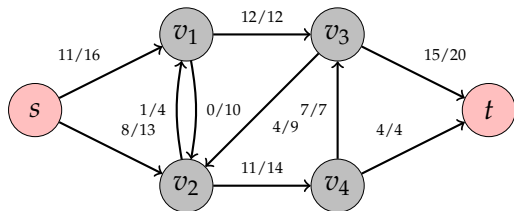
Sít' a její reziduální sít'



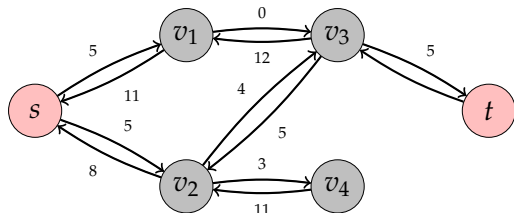
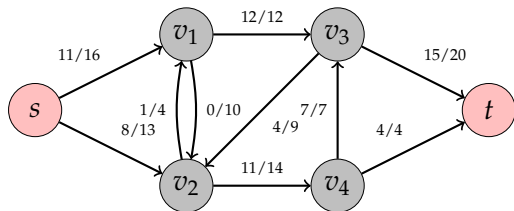
Sít' a její reziduální sít'



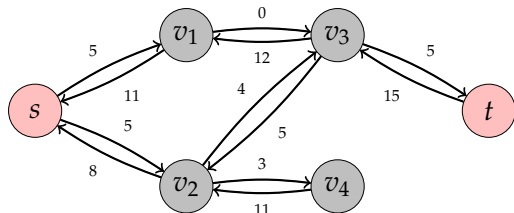
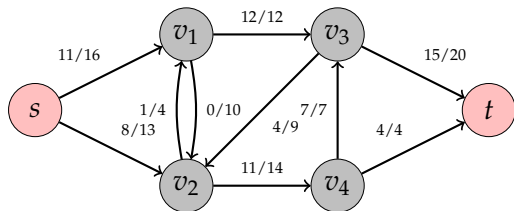
Sít' a její reziduální sít'



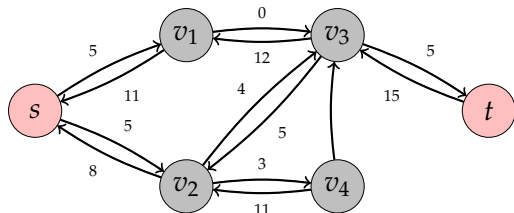
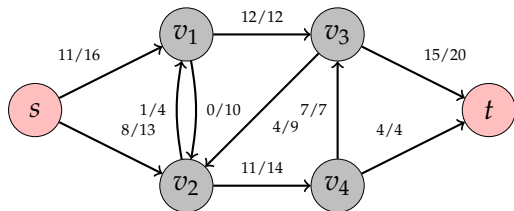
Sít' a její reziduální sít'



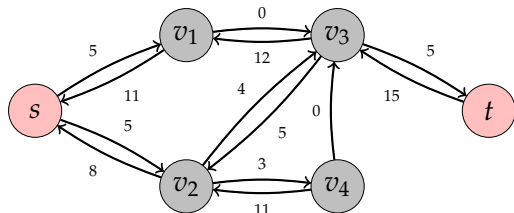
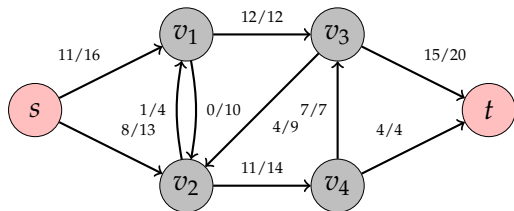
Sít' a její reziduální sít'



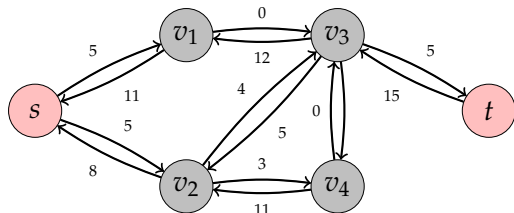
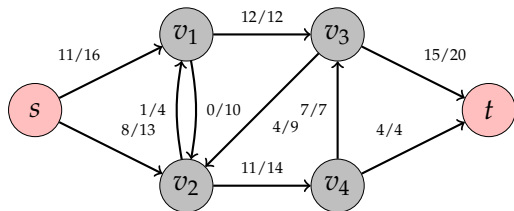
Sít' a její reziduální sít'



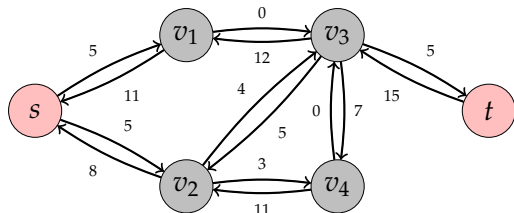
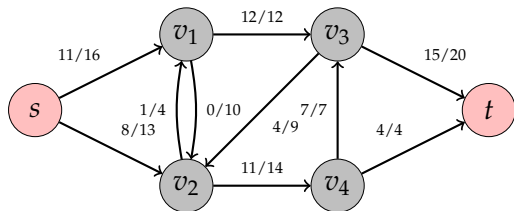
Sít' a její reziduální sít'



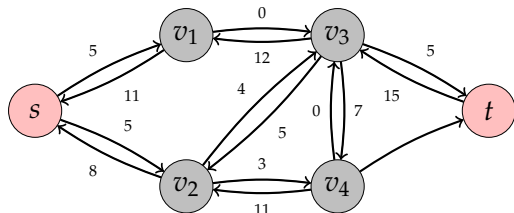
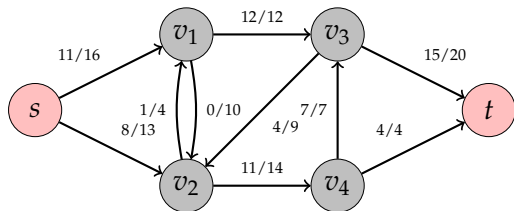
Sít' a její reziduální sít'



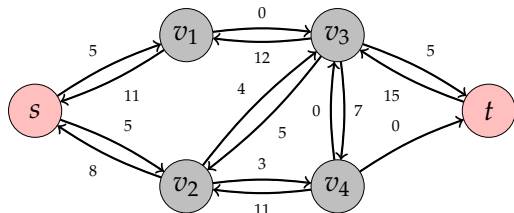
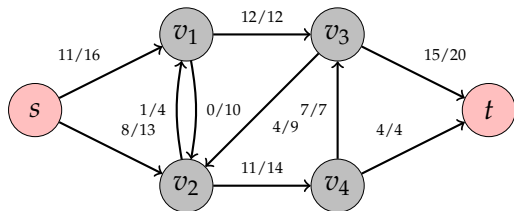
Sít' a její reziduální sít'



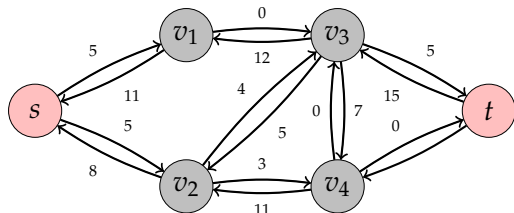
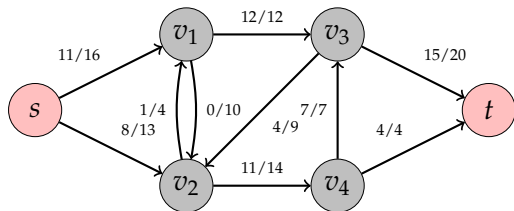
Sít' a její reziduální sít'



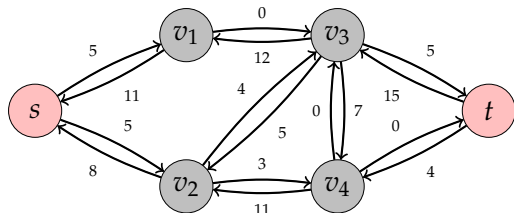
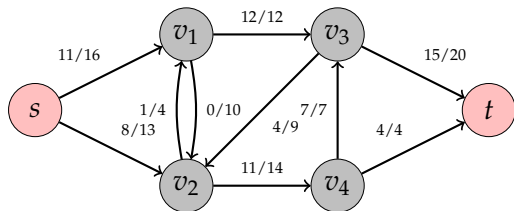
Sít' a její reziduální sít'



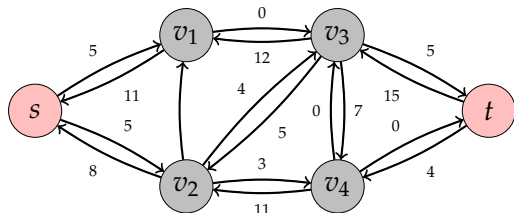
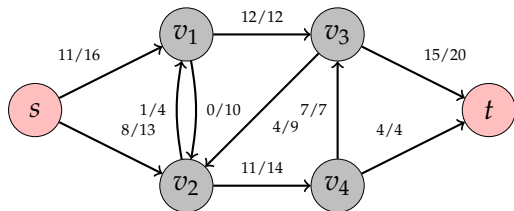
Sít' a její reziduální sít'



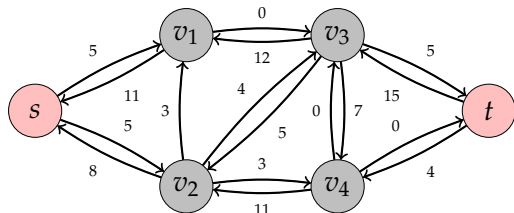
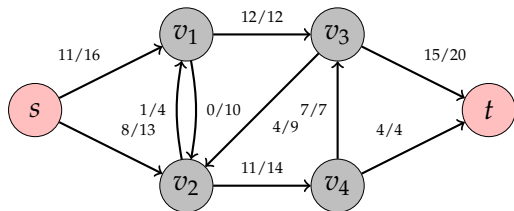
Sít' a její reziduální sít'



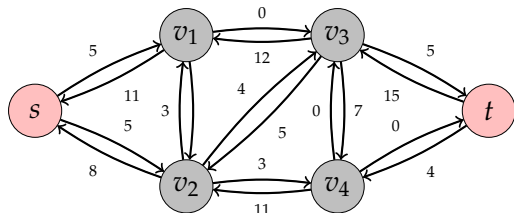
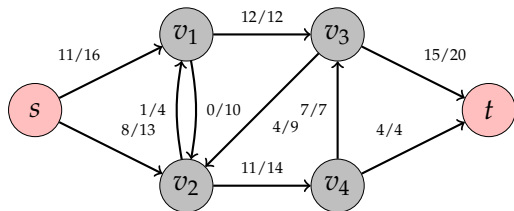
Sít' a její reziduální sít'



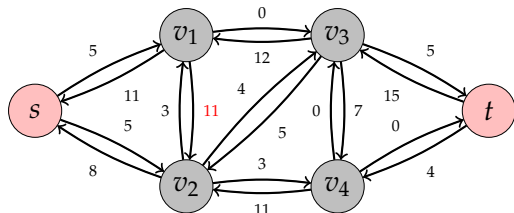
Sít' a její reziduální sít'



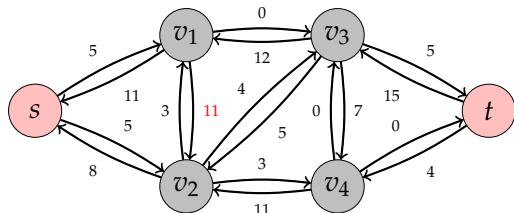
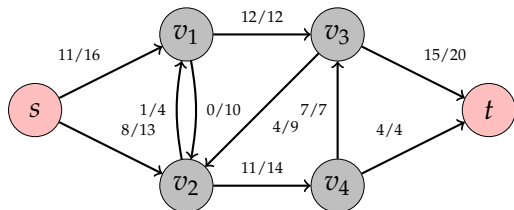
Sít' a její reziduální sít'



Sít' a její reziduální sít'



Sít' a její reziduální sít'



- **Pozor!** $f(v_1, v_2) = 0 + (-1)$, proto $c_f(v_1, v_2) = 10 - (-1) = 11$.

Reziduální síť

Lemma 24.

Nechť $G = (V, E)$ je síť a f je tok v G . Nechť G_f je residuální síť G indukovaná f a nechť f' je tok v G_f .

Pak $f + f'$ je tok v G s hodnotou $|f + f'| = |f| + |f'|$.

Důkaz.

- ▶ Spočívá v ověření podmínek z definice toku.



Podmínka 1

Chceme ukázat $(f + f')(u, v) \leq c(u, v)$.

Důkaz.

► $f'(u, v) \leq c_f(u, v)$.



Podmínka 1

Chceme ukázat $(f + f')(u, v) \leq c(u, v)$.

Důkaz.

- ▶ $f'(u, v) \leq c_f(u, v)$.
- ▶ $(f + f')(u, v) = f(u, v) + f'(u, v)$



Podmínka 1

Chceme ukázat $(f + f')(u, v) \leq c(u, v)$.

Důkaz.

- ▶ $f'(u, v) \leq c_f(u, v)$.
- ▶ $(f + f')(u, v) = f(u, v) + f'(u, v)$
 $\leq f(u, v) + (c(u, v) - f(u, v))$



Podmínka 1

Chceme ukázat $(f + f')(u, v) \leq c(u, v)$.

Důkaz.

- ▶ $f'(u, v) \leq c_f(u, v)$.
- ▶ $(f + f')(u, v) = f(u, v) + f'(u, v)$
 $\leq f(u, v) + (c(u, v) - f(u, v))$
 $= c(u, v)$.



Podmínka 2

Chceme ukázat $(f + f')(u, v) = -(f + f')(u, v)$.

Důkaz.

- ▶ $(f + f')(u, v) = f(u, v) + f'(u, v)$



Podmínka 2

Chceme ukázat $(f + f')(u, v) = -(f + f')(u, v)$.

Důkaz.

$$\begin{aligned}\blacktriangleright (f + f')(u, v) &= f(u, v) + f'(u, v) \\ &= -f(v, u) - f'(v, u)\end{aligned}$$



Podmínka 2

Chceme ukázat $(f + f')(u, v) = -(f + f')(u, v)$.

Důkaz.

$$\begin{aligned} \blacktriangleright (f + f')(u, v) &= f(u, v) + f'(u, v) \\ &= -f(v, u) - f'(v, u,) \\ &= -(f(v, u) + f'(v, u,)) \end{aligned}$$



Podmínka 2

Chceme ukázat $(f + f')(u, v) = -(f + f')(u, v)$.

Důkaz.

$$\begin{aligned} \blacktriangleright (f + f')(u, v) &= f(u, v) + f'(u, v) \\ &= -f(v, u) - f'(v, u,) \\ &= -(f(v, u) + f'(v, u,)) \\ &= -(f + f')(v, u). \end{aligned}$$



Podmínka 3

Chceme ukázat, že pro $u \in V - \{s, t\}$, $\sum_{v \in V} (f + f')(u, v) = 0$.

Důkaz.

$$\blacktriangleright \sum_{v \in V} (f + f')(u, v) = \sum_{v \in V} (f(u, v) + f'(u, v))$$



Podmínka 3

Chceme ukázat, že pro $u \in V - \{s, t\}$, $\sum_{v \in V} (f + f')(u, v) = 0$.

Důkaz.

$$\begin{aligned} \blacktriangleright \sum_{v \in V} (f + f')(u, v) &= \sum_{v \in V} (f(u, v) + f'(u, v)) \\ &= \sum_{v \in V} f(u, v) + \sum_{v \in V} f'(u, v) \end{aligned}$$



Podmínka 3

Chceme ukázat, že pro $u \in V - \{s, t\}$, $\sum_{v \in V} (f + f')(u, v) = 0$.

Důkaz.

$$\begin{aligned} \blacktriangleright \sum_{v \in V} (f + f')(u, v) &= \sum_{v \in V} (f(u, v) + f'(u, v)) \\ &= \sum_{v \in V} f(u, v) + \sum_{v \in V} f'(u, v) \\ &= 0 + 0 = 0. \end{aligned}$$



Velikost výsledného toku

► $|f + f'| = \sum_{v \in V} (f + f')(s, v)$

Velikost výsledného toku

$$\begin{aligned} \blacktriangleright |f + f'| &= \sum_{v \in V} (f + f')(s, v) \\ &= \sum_{v \in V} (f(s, v) + f'(s, v)) \end{aligned}$$

Velikost výsledného toku

$$\begin{aligned} \blacktriangleright |f + f'| &= \sum_{v \in V} (f + f')(s, v) \\ &= \sum_{v \in V} (f(s, v) + f'(s, v)) \\ &= \sum_{v \in V} f(s, v) + \sum_{v \in V} f'(s, v) \end{aligned}$$

Velikost výsledného toku

$$\begin{aligned} \blacktriangleright |f + f'| &= \sum_{v \in V} (f + f')(s, v) \\ &= \sum_{v \in V} (f(s, v) + f'(s, v)) \\ &= \sum_{v \in V} f(s, v) + \sum_{v \in V} f'(s, v) \\ &= |f| + |f'|. \end{aligned}$$

Zlepšující cesta – příklad

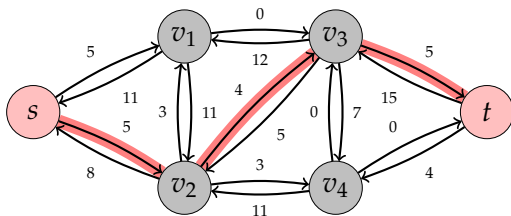
- ▶ Necht' $G = (V, E)$ je síť a f tok.

Zlepšující cesta – příklad

- ▶ Necht' $G = (V, E)$ je síť a f tok.
- ▶ Zlepšující cesta p je jednoduchá cesta z s do t .

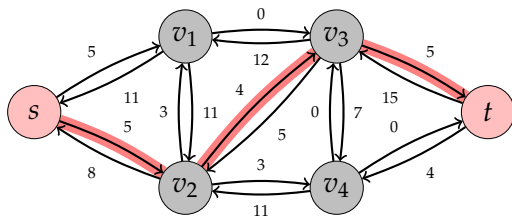
Zlepšující cesta – příklad

- ▶ Necht' $G = (V, E)$ je síť a f tok.
- ▶ **Zlepšující cesta** p je jednoduchá cesta z s do t .



Zlepšující cesta – příklad

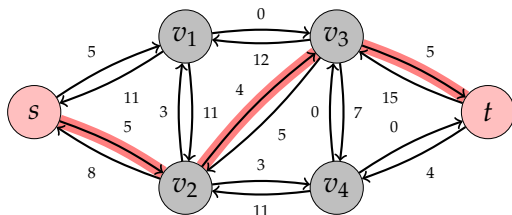
- ▶ Necht' $G = (V, E)$ je síť a f tok.
- ▶ **Zlepšující cesta** p je jednoduchá cesta z s do t .



- ▶ Pomocí této cesty můžeme zlepšit tok o 4 jednotky.

Zlepšující cesta – příklad

- ▶ Necht' $G = (V, E)$ je síť a f tok.
- ▶ **Zlepšující cesta** p je jednoduchá cesta z s do t .



- ▶ Pomocí této cesty můžeme zlepšit tok o 4 jednotky.
- ▶ **Reziduální kapacita** zlepšující cesty p je

$$c_f(p) = \min\{c_f(u, v) : (u, v) \text{ je na cestě } p\}.$$

Lemma 25.

Nechť $G = (V, E)$ je síť, f její tok a p zlepšující cesta v G_f . Definujme funkci

$$f_p(u, v) = \begin{cases} c_f(p) & \text{pro } (u, v) \text{ na } p \\ -c_f(p) & \text{pro } (v, u) \text{ na } p \\ 0 & \text{jinak} \end{cases}$$

Pak f_p je tok v G_f velikosti $|f_p| = c_f(p) > 0$.

Důkaz.

DÚ.



Lemma 25.

Nechť $G = (V, E)$ je síť, f její tok a p zlepšující cesta v G_f . Definujme funkci

$$f_p(u, v) = \begin{cases} c_f(p) & \text{pro } (u, v) \text{ na } p \\ -c_f(p) & \text{pro } (v, u) \text{ na } p \\ 0 & \text{jinak} \end{cases}$$

Pak f_p je tok v G_f velikosti $|f_p| = c_f(p) > 0$.

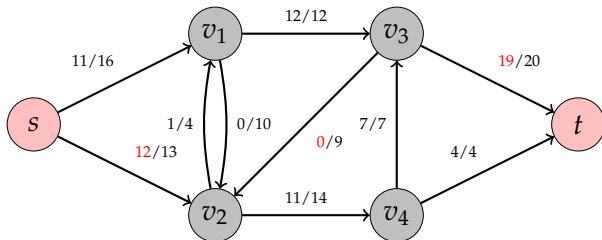
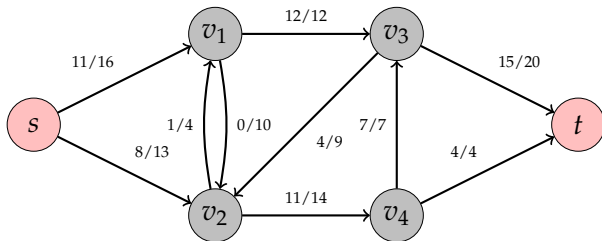
Důkaz.

DÚ. □

Corollary 26.

Nechť $f' = f + f_p$. Pak f' je tok v G velikosti $|f'| = |f| + |f_p| > |f|$.

Reziduální síť a její zlepšení o 4 na $s \rightsquigarrow v_2 \rightsquigarrow v_3 \rightsquigarrow t$



Řez v síti

Řez v síti

- ▶ **Řez v síti** $G = (V, E)$ je rozklad množiny V na S a $T = V - S$ takový, že $s \in S$ a $t \in T$.

Řez v síti

- ▶ **Řez v síti** $G = (V, E)$ je rozklad množiny V na S a $T = V - S$ takový, že $s \in S$ a $t \in T$.
- ▶ **Tok řezem** je definován jako $f(S, T)$.

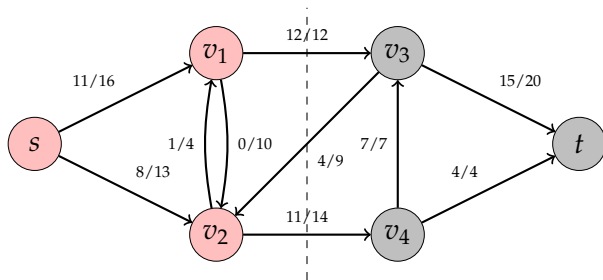
Řez v síti

- ▶ **Řez v síti** $G = (V, E)$ je rozklad množiny V na S a $T = V - S$ takový, že $s \in S$ a $t \in T$.
- ▶ **Tok řezem** je definován jako $f(S, T)$.
- ▶ **Kapacita řezu** (S, T) je $c(S, T)$.

Řez v síti

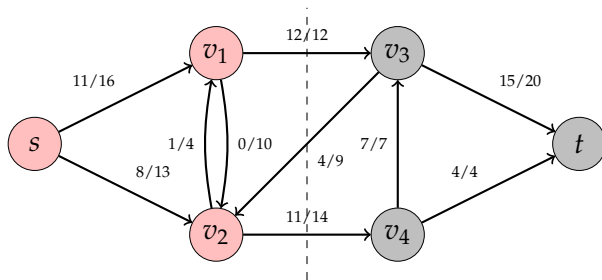
- ▶ **Řez v síti** $G = (V, E)$ je rozklad množiny V na S a $T = V - S$ takový, že $s \in S$ a $t \in T$.
- ▶ **Tok řezem** je definován jako $f(S, T)$.
- ▶ **Kapacita řezu** (S, T) je $c(S, T)$.
- ▶ **Minimální řez** je řez s minimální kapacitou.

Řez v síti – příklad



- Tok řezem $f(\{s, v_1, v_2\}, \{v_3, v_4, t\}) = f(v_1, v_3) + f(v_2, v_3) + f(v_2, v_4) = 12 + (-4) + 11 = 19$.

Řez v síti – příklad



- ▶ Tok řezem $f(\{s, v_1, v_2\}, \{v_3, v_4, t\}) = f(v_1, v_3) + f(v_2, v_3) + f(v_2, v_4) = 12 + (-4) + 11 = 19$.
- ▶ kapacita řezu $c(\{s, v_1, v_2\}, \{v_3, v_4, t\}) = c(v_1, v_3) + c(v_2, v_4) = 12 + 14 = 26$.

Vlastnosti

Lemma 27.

*Nechť f je tok v G se zdrojem s a spotřebičem t a nechť (S, T) je řez G .
Pak $|f| = f(S, T)$.*

Důkaz.

$$\blacktriangleright f(S, T) = f(S, V) - f(S, S)$$



Vlastnosti

Lemma 27.

*Nechť f je tok v G se zdrojem s a spotřebičem t a necht' (S, T) je řez G .
Pak $|f| = f(S, T)$.*

Důkaz.

$$\begin{aligned} \blacktriangleright f(S, T) &= f(S, V) - f(S, S) \\ &= f(S, V) \end{aligned}$$



Vlastnosti

Lemma 27.

*Nechť f je tok v G se zdrojem s a spotřebičem t a necht' (S, T) je řez G .
Pak $|f| = f(S, T)$.*

Důkaz.

$$\begin{aligned} \blacktriangleright f(S, T) &= f(S, V) - f(S, S) \\ &= f(S, V) \\ &= f(s, V) + f(S - s, V) \end{aligned}$$



Vlastnosti

Lemma 27.

*Nechť f je tok v G se zdrojem s a spotřebičem t a necht' (S, T) je řez G .
Pak $|f| = f(S, T)$.*

Důkaz.

$$\begin{aligned} \blacktriangleright f(S, T) &= f(S, V) - f(S, S) \\ &= f(S, V) \\ &= f(s, V) + f(S - s, V) \\ &= f(s, V) \end{aligned}$$



Vlastnosti

Lemma 27.

*Nechť f je tok v G se zdrojem s a spotřebičem t a necht' (S, T) je řez G .
Pak $|f| = f(S, T)$.*

Důkaz.

$$\begin{aligned} \blacktriangleright f(S, T) &= f(S, V) - f(S, S) \\ &= f(S, V) \\ &= f(s, V) + f(S - s, V) \\ &= f(s, V) \\ &= |f| \end{aligned}$$



Vlastnosti

Corollary 28.

Velikost libovolného toku f v G je shora omezena kapacitou libovolného řezu v G .

Důkaz.

▶ $|f| = f(S, T)$



Vlastnosti

Corollary 28.

Velikost libovolného toku f v G je shora omezena kapacitou libovolného řezu v G .

Důkaz.

$$\begin{aligned} \blacktriangleright |f| &= f(S, T) \\ &= \sum_{u \in S} \sum_{v \in T} f(u, v) \end{aligned}$$



Vlastnosti

Corollary 28.

Velikost libovolného toku f v G je shora omezena kapacitou libovolného řezu v G .

Důkaz.

$$\begin{aligned} \blacktriangleright |f| &= f(S, T) \\ &= \sum_{u \in S} \sum_{v \in T} f(u, v) \\ &\leq \sum_{u \in S} \sum_{v \in T} c(u, v) \end{aligned}$$



Vlastnosti

Corollary 28.

Velikost libovolného toku f v G je shora omezena kapacitou libovolného řezu v G .

Důkaz.

$$\begin{aligned} \blacktriangleright |f| &= f(S, T) \\ &= \sum_{u \in S} \sum_{v \in T} f(u, v) \\ &\leq \sum_{u \in S} \sum_{v \in T} c(u, v) \\ &= c(S, T) \end{aligned}$$



Vlastnosti

Corollary 28.

Velikost libovolného toku f v G je shora omezena kapacitou libovolného řezu v G .

Důkaz.

$$\begin{aligned} \blacktriangleright |f| &= f(S, T) \\ &= \sum_{u \in S} \sum_{v \in T} f(u, v) \\ &\leq \sum_{u \in S} \sum_{v \in T} c(u, v) \\ &= c(S, T) \end{aligned}$$



Velikost **maximálního** toku je vždy nejvýše kapacita **minimálního** řezu.

Hlavní věta

Nechť f je to v G se zdrojem s a spotřebičem t . Pak následující je ekvivalentní.

1. f je maximální tok.
2. Reziduální síť G_f nemá zlepšující cestu.
3. $|f| = c(S, T)$ pro nějaký řez (S, T) v G .

Důkaz.

- ▶ (1) \Rightarrow (2):



Hlavní věta

Nechť f je to v G se zdrojem s a spotřebičem t . Pak následující je ekvivalentní.

1. f je maximální tok.
2. Reziduální síť G_f nemá zlepšující cestu.
3. $|f| = c(S, T)$ pro nějaký řez (S, T) v G .

Důkaz.

- ▶ (1) \Rightarrow (2):
 - ▶ Nechť f je maximální a p je zlepšující cesta v G .



Hlavní věta

Nechť f je tok v G se zdrojem s a spotřebičem t . Pak následující je ekvivalentní.

1. f je maximální tok.
2. Reziduální síť G_f nemá zlepšující cestu.
3. $|f| = c(S, T)$ pro nějaký řez (S, T) v G .

Důkaz.

- ▶ (1) \Rightarrow (2):
 - ▶ Nechť f je maximální a p je zlepšující cesta v G .
 - ▶ Pak ale $f + f_p$ je tok v G a $|f + f_p| > |f|$. **Spor.**



Hlavní věta

Nechť f je tok v G se zdrojem s a spotřebičem t . Pak následující je ekvivalentní.

1. f je maximální tok.
2. Reziduální síť G_f nemá zlepšující cestu.
3. $|f| = c(S, T)$ pro nějaký řez (S, T) v G .

Důkaz.

- ▶ (2) \Rightarrow (3):

Hlavní věta

Nechť f je tok v G se zdrojem s a spotřebičem t . Pak následující je ekvivalentní.

1. f je maximální tok.
2. Reziduální síť G_f nemá zlepšující cestu.
3. $|f| = c(S, T)$ pro nějaký řez (S, T) v G .

Důkaz.

- ▶ (2) \Rightarrow (3):
 - ▶ Nechť G_f nemá zlepšující cestu, tj. v G_f neexistuje cesta z s do t .

Hlavní věta

Nechť f je tok v G se zdrojem s a spotřebičem t . Pak následující je ekvivalentní.

1. f je maximální tok.
2. Reziduální síť G_f nemá zlepšující cestu.
3. $|f| = c(S, T)$ pro nějaký řez (S, T) v G .

Důkaz.

► (2) \Rightarrow (3):

- Nechť G_f nemá zlepšující cestu, tj. v G_f neexistuje cesta z s do t .
- Nechť

$$S = \{v \in V : \text{existuje cesta z } s \text{ do } v \text{ v } G_f\}$$

Hlavní věta

Nechť f je tok v G se zdrojem s a spotřebičem t . Pak následující je ekvivalentní.

1. f je maximální tok.
2. Reziduální síť G_f nemá zlepšující cestu.
3. $|f| = c(S, T)$ pro nějaký řez (S, T) v G .

Důkaz.

► (2) \Rightarrow (3):

- Nechť G_f nemá zlepšující cestu, tj. v G_f neexistuje cesta z s do t .
- Nechť

$$S = \{v \in V : \text{existuje cesta z } s \text{ do } v \text{ v } G_f\}$$

- a necht' $T = V - S$.

Hlavní věta

Nechť f je tok v G se zdrojem s a spotřebičem t . Pak následující je ekvivalentní.

1. f je maximální tok.
2. Reziduální síť G_f nemá zlepšující cestu.
3. $|f| = c(S, T)$ pro nějaký řez (S, T) v G .

Důkaz.

► (2) \Rightarrow (3):

- Nechť G_f nemá zlepšující cestu, tj. v G_f neexistuje cesta z s do t .
- Nechť

$$S = \{v \in V : \text{existuje cesta z } s \text{ do } v \text{ v } G_f\}$$

- a necht' $T = V - S$.
- Protože $s \in S$ a $t \in T$ je (S, T) řez v G .

Hlavní věta

Nechť f je tok v G se zdrojem s a spotřebičem t . Pak následující je ekvivalentní.

1. f je maximální tok.
2. Reziduální síť G_f nemá zlepšující cestu.
3. $|f| = c(S, T)$ pro nějaký řez (S, T) v G .

Důkaz.

► (2) \Rightarrow (3):

- Nechť G_f nemá zlepšující cestu, tj. v G_f neexistuje cesta z s do t .
- Nechť

$$S = \{v \in V : \text{existuje cesta z } s \text{ do } v \text{ v } G_f\}$$

- a nechť $T = V - S$.
- Protože $s \in S$ a $t \in T$ je (S, T) řez v G .
- Pro $u \in S$ a $v \in T$ máme $f(u, v) = c(u, v)$, jinak $(u, v) \in E_f$ a to dává $v \in S$.

Hlavní věta

Nechť f je tok v G se zdrojem s a spotřebičem t . Pak následující je ekvivalentní.

1. f je maximální tok.
2. Reziduální síť G_f nemá zlepšující cestu.
3. $|f| = c(S, T)$ pro nějaký řez (S, T) v G .

Důkaz.

► (2) \Rightarrow (3):

- Nechť G_f nemá zlepšující cestu, tj. v G_f neexistuje cesta z s do t .
- Nechť

$$S = \{v \in V : \text{existuje cesta z } s \text{ do } v \text{ v } G_f\}$$

- a necht' $T = V - S$.
- Protože $s \in S$ a $t \in T$ je (S, T) řez v G .
- Pro $u \in S$ a $v \in T$ máme $f(u, v) = c(u, v)$, jinak $(u, v) \in E_f$ a to dává $v \in S$.
- $|f| = f(S, T) = c(S, T)$.

Hlavní věta

Nechť f je to v G se zdrojem s a spotřebičem t . Pak následující je ekvivalentní.

1. f je maximální tok.
2. Reziduální síť G_f nemá zlepšující cestu.
3. $|f| = c(S, T)$ pro nějaký řez (S, T) v G .

Důkaz.

- ▶ (3) \Rightarrow (1):



Hlavní věta

Nechť f je to v G se zdrojem s a spotřebičem t . Pak následující je ekvivalentní.

1. f je maximální tok.
2. Reziduální síť G_f nemá zlepšující cestu.
3. $|f| = c(S, T)$ pro nějaký řez (S, T) v G .

Důkaz.

- ▶ (3) \Rightarrow (1):
 - ▶ $|f| \leq c(S, T)$ pro libovolný řez (S, T) .



Hlavní věta

Nechť f je to v G se zdrojem s a spotřebičem t . Pak následující je ekvivalentní.

1. f je maximální tok.
2. Reziduální síť G_f nemá zlepšující cestu.
3. $|f| = c(S, T)$ pro nějaký řez (S, T) v G .

Důkaz.

- ▶ (3) \Rightarrow (1):
 - ▶ $|f| \leq c(S, T)$ pro libovolný řez (S, T) .
 - ▶ Z $|f| = c(S, T)$ plyne maximalita f .



Základní Ford-Fulkersonův algoritmus

Základní Ford-Fulkersonův algoritmus

```
FORD-FULKERSON( $G, s, t$ )
1  for každou hranu  $(u, v) \in E$ 
2      do  $f[u, v] \leftarrow 0$ 
3           $f[v, u] \leftarrow 0$ 
4  while existuje cesta  $p$  z  $s$  do  $t$  v reziduální síti  $G_f$ 
5      do  $c_f(p) \leftarrow \min\{c_f(u, v) : (u, v) \text{ na } p\}$ 
6          for každou hranu  $(u, v)$  na  $p$ 
7              do  $f[u, v] \leftarrow f[u, v] + c_f(p)$ 
8                   $f[v, u] \leftarrow -f[u, v]$ 
```

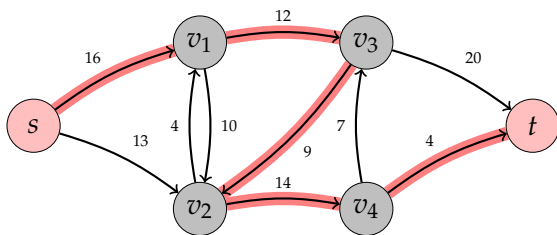
- ▶ Složitost závisí na řádku 4.

Základní Ford-Fulkersonův algoritmus

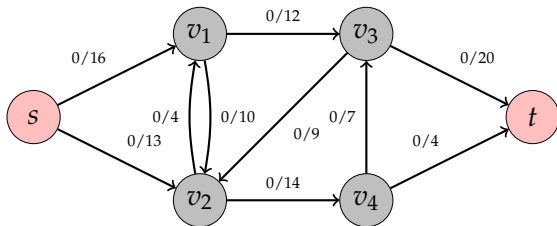
```
FORD-FULKERSON( $G, s, t$ )
1  for každou hranu  $(u, v) \in E$ 
2      do  $f[u, v] \leftarrow 0$ 
3           $f[v, u] \leftarrow 0$ 
4  while existuje cesta  $p$  z  $s$  do  $t$  v reziduální síti  $G_f$ 
5      do  $c_f(p) \leftarrow \min\{c_f(u, v) : (u, v) \text{ na } p\}$ 
6          for každou hranu  $(u, v)$  na  $p$ 
7              do  $f[u, v] \leftarrow f[u, v] + c_f(p)$ 
8                   $f[v, u] \leftarrow -f[u, v]$ 
```

- ▶ Složitost závisí na řádku 4.
- ▶ Prohledávání do šířky dává složitost $O(nm^2)$ – tzv. Edmonds-Karp algoritmus.

Základní Ford-Fulkersonův algoritmus – příklad

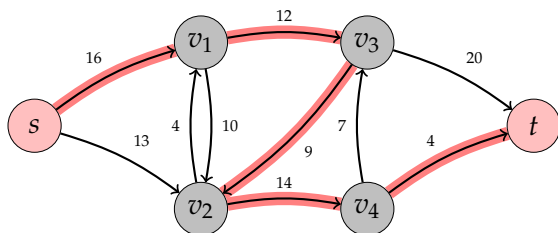


Obrázek: Reziduální síť a cesta v ní z s do t .

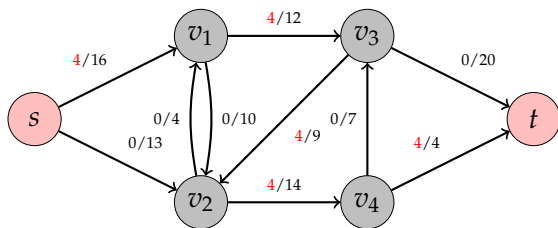


Obrázek: Vylepšený tok podle výše uvedené cesty.

Základní Ford-Fulkersonův algoritmus – příklad

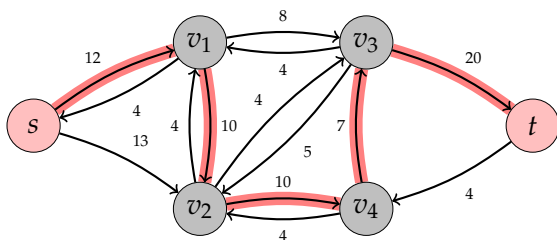


Obrázek: Reziduální síť a cesta v ní z s do t .

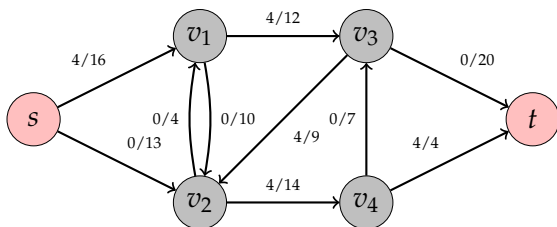


Obrázek: Vylepšený tok podle výše uvedené cesty.

Základní Ford-Fulkersonův algoritmus – příklad

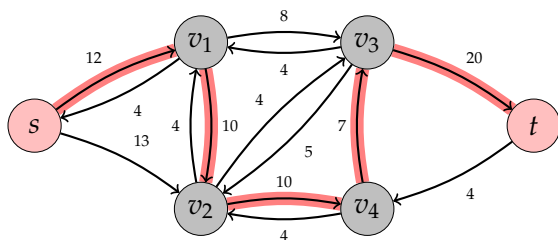


Obrázek: Reziduální síť a cesta v ní z s do t .

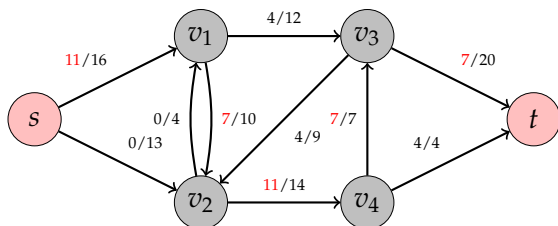


Obrázek: Vylepšený tok podle výše uvedené cesty.

Základní Ford-Fulkersonův algoritmus – příklad

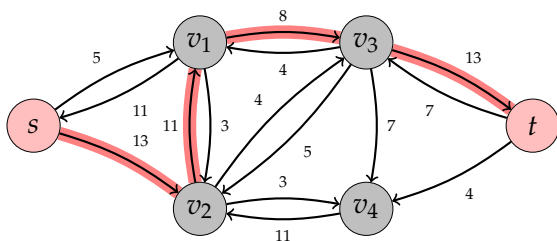


Obrázek: Reziduální síť a cesta v ní z s do t .

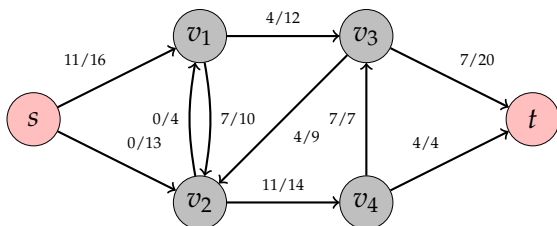


Obrázek: Vylepšený tok podle výše uvedené cesty.

Základní Ford-Fulkersonův algoritmus – příklad

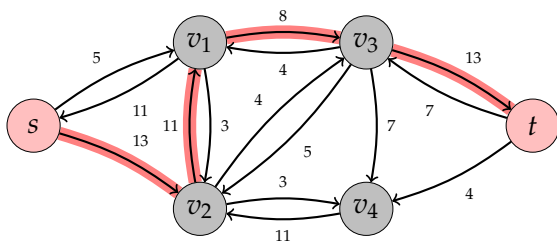


Obrázek: Reziduální síť a cesta v ní z s do t .

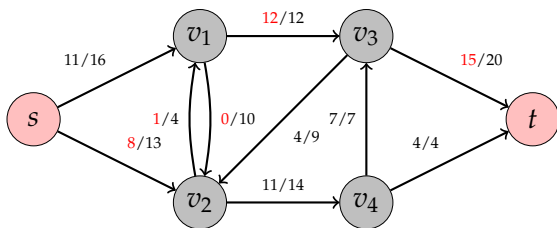


Obrázek: Vylepšený tok podle výše uvedené cesty.

Základní Ford-Fulkersonův algoritmus – příklad

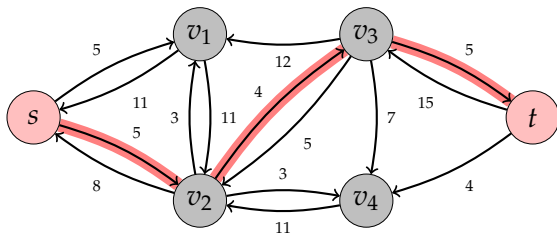


Obrázek: Reziduální síť a cesta v ní z s do t .

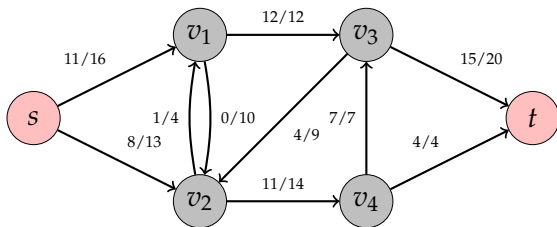


Obrázek: Vylepšený tok podle výše uvedené cesty.

Základní Ford-Fulkersonův algoritmus – příklad

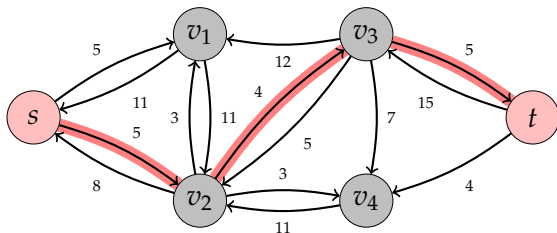


Obrázek: Reziduální síť a cesta v ní z s do t .

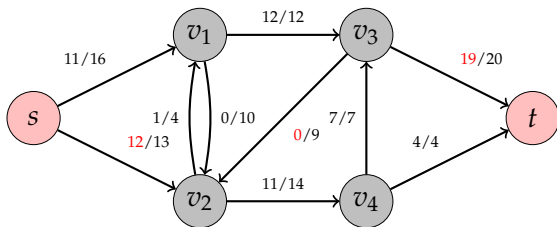


Obrázek: Vylepšený tok podle výše uvedené cesty.

Základní Ford-Fulkersonův algoritmus – příklad

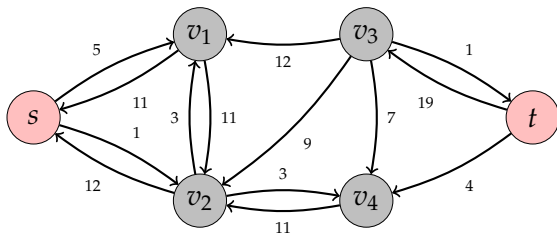


Obrázek: Reziduální síť a cesta v ní z s do t .

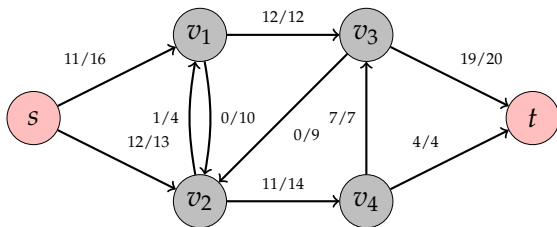


Obrázek: Vylepšený tok podle výše uvedené cesty.

Základní Ford-Fulkersonův algoritmus – příklad



Obrázek: Reziduální síť a cesta v ní z s do t .



Obrázek: Vylepšený tok podle výše uvedené cesty.

Maximální párování v bipartitním grafu

Maximální párování v bipartitním grafu

- ▶ Necht' $G = (V, E)$ je neorientovaný graf.

Maximální párování v bipartitním grafu

- ▶ Necht' $G = (V, E)$ je neorientovaný graf.
- ▶ **Párování** v G je podmnožina hran $M \subseteq E$ taková, že pro každý uzel $v \in V$, v je incidentní s nejvýše **jednou** hranou z M .

Maximální párování v bipartitním grafu

- ▶ Necht' $G = (V, E)$ je neorientovaný graf.
- ▶ **Párování** v G je podmnožina hran $M \subseteq E$ taková, že pro každý uzel $v \in V$, v je incidentní s nejvýše **jednou** hranou z M .
- ▶ Uzel je popárován, pokud je incidentní s nějakou hranou z M .

Maximální párování v bipartitním grafu

- ▶ Necht' $G = (V, E)$ je neorientovaný graf.
- ▶ **Párování** v G je podmožina hran $M \subseteq E$ taková, že pro každý uzel $v \in V$, v je incidentní s nejvýše **jednou** hranou z M .
- ▶ Uzel je popárován, pokud je incidentní s nějakou hranou z M .
- ▶ **Maximální párování** je párování s maximální kardinalitou.

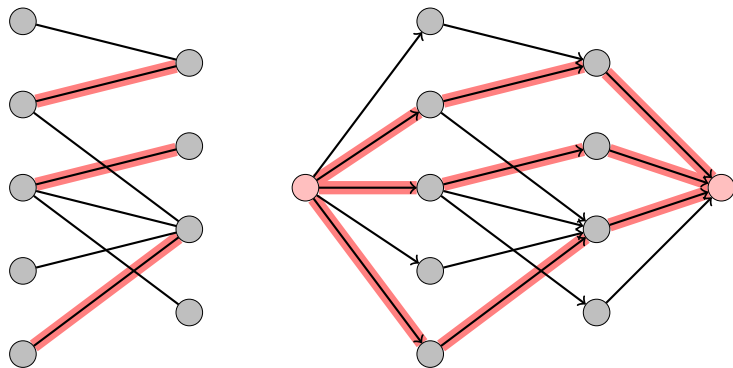
Maximální párování v bipartitním grafu

- ▶ Necht' $G = (V, E)$ je neorientovaný graf.
- ▶ **Párování** v G je podmnožina hran $M \subseteq E$ taková, že pro každý uzel $v \in V$, v je incidentní s nejvýše **jednou** hranou z M .
- ▶ Uzel je popárován, pokud je incidentní s nějakou hranou z M .
- ▶ **Maximální párování** je párování s maximální kardinalitou.
- ▶ Omezujeme se pouze na bipartitní grafy, tj. takové, kde V se dá rozložit na $V = L \cup R$, $R \cap L = \emptyset$, a $E \subseteq L \times R$.

Maximální párování v bipartitním grafu

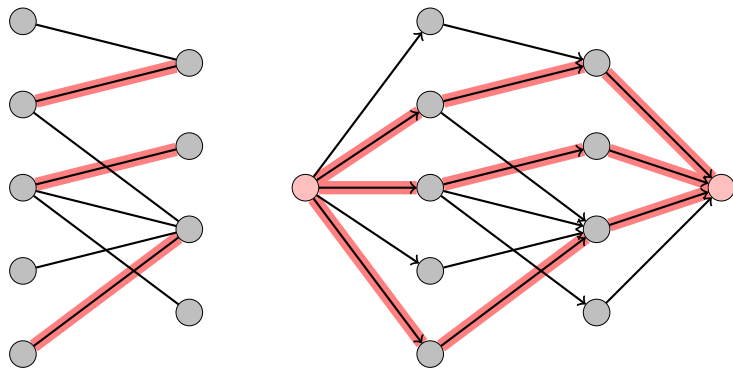
- ▶ Necht' $G = (V, E)$ je neorientovaný graf.
- ▶ **Párování** v G je podmnožina hran $M \subseteq E$ taková, že pro každý uzel $v \in V$, v je incidentní s nejvýše **jednou** hranou z M .
- ▶ Uzel je popárován, pokud je incidentní s nějakou hranou z M .
- ▶ **Maximální párování** je párování s maximální kardinalitou.
- ▶ Omezujeme se pouze na bipartitní grafy, tj. takové, kde V se dá rozložit na $V = L \cup R$, $R \cap L = \emptyset$, a $E \subseteq L \times R$.
- ▶ Použijeme Ford-Fulkersonovu metodu.

Transformace na problém nalezení maximálního toku



Obrázek: Bipartitní graf a odpovídající síť. Vyznačeno maximální párování a maximální tok (kapacita hran 1)

Transformace na problém nalezení maximálního toku



Obrázek: Bipartitní graf a odpovídající síť. Vyznačeno maximální párování a maximální tok (kapacita hran 1)

- Složitost $O(nm)$.

Barvení grafů

Notace

- ▶ Necht' $G = (V, E)$ je graf.

Notace

- ▶ Necht' $G = (V, E)$ je graf.
- ▶ **Cíl:** obarvit hrany/uzly tak, aby žádné dvě incidentní hrany (dva incidentní uzly) neměly stejnou barvu.

Notace

- ▶ Necht' $G = (V, E)$ je graf.
- ▶ **Cíl:** obarvit hrany/uzly tak, aby žádné dvě incidentní hrany (dva incidentní uzly) neměly stejnou barvu.
- ▶ Formálně, obarvení je funkce

$$f : E \rightarrow B$$

$(f : V \rightarrow B)$, kde B je nějaká množina barev a $f(e_1) \neq f(e_2)$ pro $e_1 \cap e_2 \neq \emptyset$ ($f(u) \neq f(v)$ pokud $\{u, v\}$ je hrana).

Notace

- ▶ Necht' $G = (V, E)$ je graf.
- ▶ **Cíl:** obarvit hrany/uzly tak, aby žádné dvě incidentní hrany (dva incidentní uzly) neměly stejnou barvu.
- ▶ Formálně, obarvení je funkce

$$f : E \rightarrow B$$

$(f : V \rightarrow B)$, kde B je nějaká množina barev a $f(e_1) \neq f(e_2)$ pro $e_1 \cap e_2 \neq \emptyset$ ($f(u) \neq f(v)$ pokud $\{u, v\}$ je hrana).

- ▶ $\psi_e(G)$ značí minimální počet barev potřebný k hranovému obarvení G .

Notace

- ▶ Necht' $G = (V, E)$ je graf.
- ▶ **Cíl:** obarvit hrany/uzly tak, aby žádné dvě incidentní hrany (dva incidentní uzly) neměly stejnou barvu.
- ▶ Formálně, obarvení je funkce

$$f : E \rightarrow B$$

$(f : V \rightarrow B)$, kde B je nějaká množina barev a $f(e_1) \neq f(e_2)$ pro $e_1 \cap e_2 \neq \emptyset$ ($f(u) \neq f(v)$ pokud $\{u, v\}$ je hrana).

- ▶ $\psi_e(G)$ značí minimální počet barev potřebný k hranovému obarvení G .
- ▶ $\psi_v(G)$ značí minimální počet barev potřebný k (vrcholovému) obarvení G .

Notace

- ▶ Necht' $G = (V, E)$ je graf.
- ▶ **Cíl:** obarvit hrany/uzly tak, aby žádné dvě incidentní hrany (dva incidentní uzly) neměly stejnou barvu.
- ▶ Formálně, obarvení je funkce

$$f : E \rightarrow B$$

$(f : V \rightarrow B)$, kde B je nějaká množina barev a $f(e_1) \neq f(e_2)$ pro $e_1 \cap e_2 \neq \emptyset$ ($f(u) \neq f(v)$ pokud $\{u, v\}$ je hrana).

- ▶ $\psi_e(G)$ značí minimální počet barev potřebný k hranovému obarvení G .
- ▶ $\psi_v(G)$ značí minimální počet barev potřebný k (vrcholovému) obarvení G .
- ▶ Δ značí maximální stupeň grafu G .

Hranové barvení grafů

Hranové barvení grafů

- ▶ Jednoduché pozorování

Hranové barvení grafů

- ▶ Jednoduché pozorování
- ▶ $\Delta \leq \psi_e(G)$.

Hranové barvení grafů

Theorem 29.

Pokud je G bipartitní, pak $\psi_e(G) = \Delta$.

Důkaz

- ▶ Indukcí k mohutnosti množiny hran.

Hranové barvení grafů

Theorem 29.

Pokud je G bipartitní, pak $\psi_e(G) = \Delta$.

Důkaz

- ▶ Indukcí k mohutnosti množiny hran.
- ▶ $|E| = 1$ – snadné.

Hranové barvení grafů

Theorem 29.

Pokud je G bipartitní, pak $\psi_e(G) = \Delta$.

Důkaz

- ▶ Indukcí k mohutnosti množiny hran.
- ▶ $|E| = 1$ – snadné.
- ▶ Necht' všechny až na jednu hranu jsou obarveny nejvýše Δ barvami.

Hranové barvení grafů

Theorem 29.

Pokud je G bipartitní, pak $\psi_e(G) = \Delta$.

Důkaz

- ▶ Indukcí k mohutnosti množiny hran.
- ▶ $|E| = 1$ – snadné.
- ▶ Necht' všechny až na jednu hranu jsou obarveny nejvýše Δ barvami.
- ▶ Necht' (u, v) je neobarvená hrana.

Hranové barvení grafů

Theorem 29.

Pokud je G bipartitní, pak $\psi_e(G) = \Delta$.

Důkaz

- ▶ Indukcí k mohutnosti množiny hran.
- ▶ $|E| = 1$ – snadné.
- ▶ Necht' všechny až na jednu hranu jsou obarveny nejvýše Δ barvami.
- ▶ Necht' (u, v) je neobarvená hrana.
- ▶ Protože máme k dispozici Δ barev, alespoň jedna barva není incidentní s u a alespoň jedna není incidentní s v .

Hranové barvení grafů

Theorem 29.

Pokud je G bipartitní, pak $\psi_e(G) = \Delta$.

Důkaz

- ▶ Indukcí k mohutnosti množiny hran.
- ▶ $|E| = 1$ – snadné.
- ▶ Necht' všechny až na jednu hranu jsou obarveny nejvýše Δ barvami.
- ▶ Necht' (u, v) je neobarvená hrana.
- ▶ Protože máme k dispozici Δ barev, alespoň jedna barva není incidentní s u a alespoň jedna není incidentní s v .
- ▶ Pokud jsou tyto dvě barvy stejné, tak máme hotovo.

Hranové barvení grafů

Theorem 29.

Pokud je G bipartitní, pak $\psi_e(G) = \Delta$.

Důkaz

- ▶ Indukcí k mohutnosti množiny hran.
- ▶ $|E| = 1$ – snadné.
- ▶ Necht' všechny až na jednu hranu jsou obarveny nejvýše Δ barvami.
- ▶ Necht' (u, v) je neobarvená hrana.
- ▶ Protože máme k dispozici Δ barev, alespoň jedna barva není incidentní s u a alespoň jedna není incidentní s v .
- ▶ Pokud jsou tyto dvě barvy stejné, tak máme hotovo.
- ▶ Necht' jsou tedy různé, označené postupně C_1 a C_2 .

Hranové barvení grafů

- ▶ Necht' jsou tedy různé, označené postupně C_1 a C_2 .

Hranové barvení grafů

- ▶ Necht' jsou tedy různé, označené postupně C_1 a C_2 .
- ▶ Necht' $H_u(C_1, C_2)$ je podgraf obsahující u a všechny hrany dosažitelné z u obarvené pouze barvami C_1 a C_2 .

Hranové barvení grafů

- ▶ Necht' jsou tedy různé, označené postupně C_1 a C_2 .
- ▶ Necht' $H_u(C_1, C_2)$ je podgraf obsahující u a všechny hrany dosažitelné z u obarvené pouze barvami C_1 a C_2 .
- ▶ Protože (u, v) je hrana, patří u a v do různých komponent bipartitního grafu.

Hranové barvení grafů

- ▶ Necht' jsou tedy různé, označené postupně C_1 a C_2 .
- ▶ Necht' $H_u(C_1, C_2)$ je podgraf obsahující u a všechny hrany dosažitelné z u obarvené pouze barvami C_1 a C_2 .
- ▶ Protože (u, v) je hrana, patří u a v do různých komponent bipartitního grafu.
- ▶ Pak ale každá cesta z u do v v $H_u(C_1, C_2)$ musí mít poslední hranu obarvenou C_2 .

Hranové barvení grafů

- ▶ Necht' jsou tedy různé, označené postupně C_1 a C_2 .
- ▶ Necht' $H_u(C_1, C_2)$ je podgraf obsahující u a všechny hrany dosažitelné z u obarvené pouze barvami C_1 a C_2 .
- ▶ Protože (u, v) je hrana, patří u a v do různých komponent bipartitního grafu.
- ▶ Pak ale každá cesta z u do v v $H_u(C_1, C_2)$ musí mít poslední hranu obarvenou C_2 .
- ▶ Hrana obarvená C_2 však není incidentní s v , proto v není v $H_u(C_1, C_2)$.

Hranové barvení grafů

- ▶ Necht' jsou tedy různé, označené postupně C_1 a C_2 .
- ▶ Necht' $H_u(C_1, C_2)$ je podgraf obsahující u a všechny hrany dosažitelné z u obarvené pouze barvami C_1 a C_2 .
- ▶ Protože (u, v) je hrana, patří u a v do různých komponent bipartitního grafu.
- ▶ Pak ale každá cesta z u do v v $H_u(C_1, C_2)$ musí mít poslední hranu obarvenou C_2 .
- ▶ Hrana obarvená C_2 však není incidentní s v , proto v není v $H_u(C_1, C_2)$.
- ▶ Záměnou barev C_1 za C_2 a naopak v $H_u(C_1, C_2)$ dostaneme, že C_2 není incidentní s u .

Hranové barvení grafů

- ▶ Necht' jsou tedy různé, označené postupně C_1 a C_2 .
- ▶ Necht' $H_u(C_1, C_2)$ je podgraf obsahující u a všechny hrany dosažitelné z u obarvené pouze barvami C_1 a C_2 .
- ▶ Protože (u, v) je hrana, patří u a v do různých komponent bipartitního grafu.
- ▶ Pak ale každá cesta z u do v v $H_u(C_1, C_2)$ musí mít poslední hranu obarvenou C_2 .
- ▶ Hrana obarvená C_2 však není incidentní s v , proto v není v $H_u(C_1, C_2)$.
- ▶ Záměnou barev C_1 za C_2 a naopak v $H_u(C_1, C_2)$ dostaneme, že C_2 není incidentní s u .
- ▶ (u, v) tedy může být obarvena C_2 . □

Hranové barvení grafů

Theorem 30.

Pokud je G úplný graf s n uzly, pak $\psi_e(G) = \begin{cases} \Delta & n \text{ sudé} \\ \Delta + 1 & n \text{ liché} \end{cases}$

Důkaz

- ▶ Pokud je n liché, nakresleme graf jako pravidelný polygon (viz dále).

Hranové barvení grafů

Theorem 30.

Pokud je G úplný graf s n uzly, pak $\psi_e(G) = \begin{cases} \Delta & n \text{ sudé} \\ \Delta + 1 & n \text{ liché} \end{cases}$

Důkaz

- ▶ Pokud je n liché, nakresleme graf jako pravidelný polygon (viz dále).
- ▶ Obarvíme hraniční hrany barvami 1 až $n = \Delta + 1$.

Hranové barvení grafů

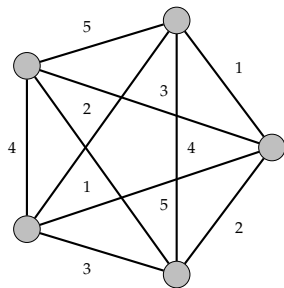
Theorem 30.

Pokud je G úplný graf s n uzly, pak $\psi_e(G) = \begin{cases} \Delta & n \text{ sudé} \\ \Delta + 1 & n \text{ liché} \end{cases}$

Důkaz

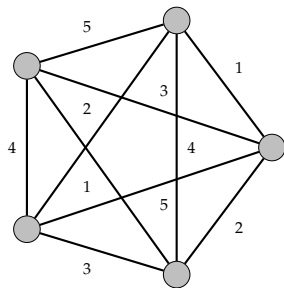
- ▶ Pokud je n liché, nakresleme graf jako pravidelný polygon (viz dále).
- ▶ Obarvíme hraniční hrany barvami 1 až $n = \Delta + 1$.
- ▶ Každá vnitřní hrana je obarvena stejně, jako s ní paralelní hrana.

Hranové barvení grafů



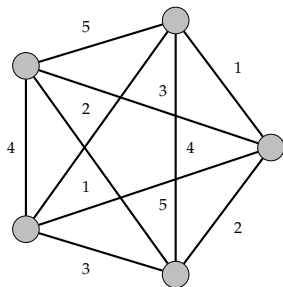
Hranové barvení grafů

- ▶ Nejde obarvit $\Delta = n - 1$ barvami:



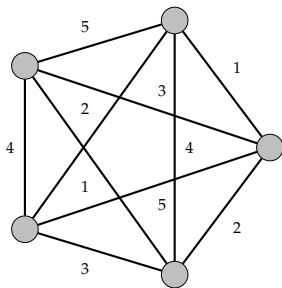
Hranové barvení grafů

- ▶ Nejde obarvit $\Delta = n - 1$ barvami:
- ▶ Pokud by šlo, pak protože G má $\frac{1}{2}n(n - 1)$ hran, alespoň $\frac{1}{2}n$ hran by mělo stejnou barvu.



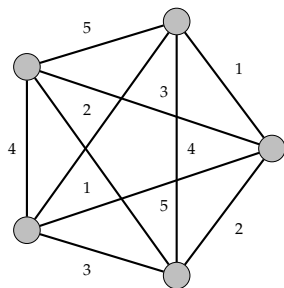
Hranové barvení grafů

- ▶ Nejde obarvit $\Delta = n - 1$ barvami:
- ▶ Pokud by šlo, pak protože G má $\frac{1}{2}n(n - 1)$ hran, alespoň $\frac{1}{2}n$ hran by mělo stejnou barvu.
- ▶ Necht' $M \subseteq E$ taková, že žádné dvě hrany z M nejsou incidentní.



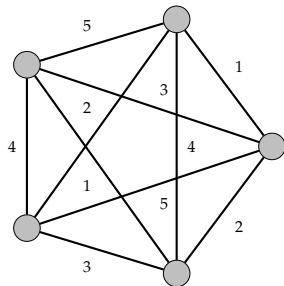
Hranové barvení grafů

- ▶ Nejde obarvit $\Delta = n - 1$ barvami:
- ▶ Pokud by šlo, pak protože G má $\frac{1}{2}n(n - 1)$ hran, alespoň $\frac{1}{2}n$ hran by mělo stejnou barvu.
- ▶ Necht' $M \subseteq E$ taková, že žádné dvě hrany z M nejsou incidentní.
- ▶ Pak $|M| \leq \frac{1}{2}(n - 1)$ – (dokažte).



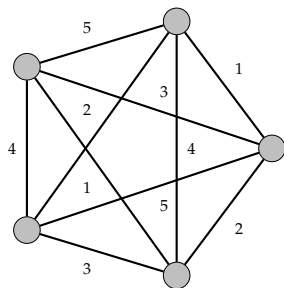
Hranové barvení grafů

- Konečně, necht' n je sudé.



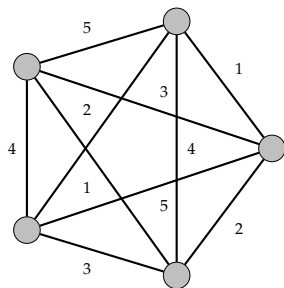
Hranové barvení grafů

- ▶ Konečně, necht' n je sudé.
- ▶ Dívejme se na G jako na úplný graf G' na $n - 1$ uzlech s jedním uzlem navíc spojeným se všemi ostatními uzly.



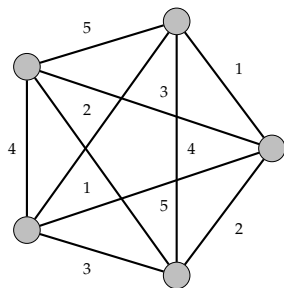
Hranové barvení grafů

- ▶ Konečně, necht' n je sudé.
- ▶ Dívejme se na G jako na úplný graf G' na $n - 1$ uzlech s jedním uzlem navíc spojeným se všemi ostatními uzly.
- ▶ Použijme předchozí postup na G' .



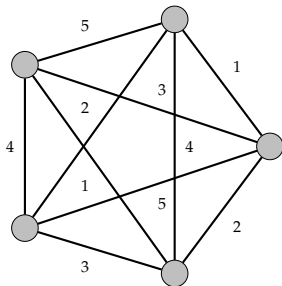
Hranové barvení grafů

- ▶ Konečně, necht' n je sudé.
- ▶ Dívejme se na G jako na úplný graf G' na $n - 1$ uzlech s jedním uzlem navíc spojeným se všemi ostatními uzly.
- ▶ Použijme předchozí postup na G' .
- ▶ V každém uzlu schází jedna barva.



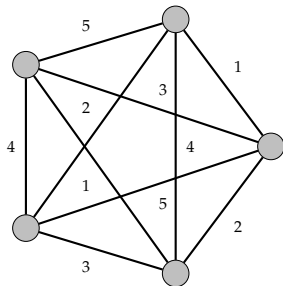
Hranové barvení grafů

- ▶ Konečně, necht' n je sudé.
- ▶ Dívejme se na G jako na úplný graf G' na $n - 1$ uzlech s jedním uzlem navíc spojeným se všemi ostatními uzly.
- ▶ Použijme předchozí postup na G' .
- ▶ V každém uzlu schází jedna barva.
- ▶ Tyto barvy jsou navzájem různé, proto můžeme ony nové hrany jimi obarvit.



Hranové barvení grafů

- ▶ Konečně, necht' n je sudé.
- ▶ Dívejme se na G jako na úplný graf G' na $n - 1$ uzlech s jedním uzlem navíc spojeným se všemi ostatními uzly.
- ▶ Použijme předchozí postup na G' .
- ▶ V každém uzlu schází jedna barva.
- ▶ Tyto barvy jsou navzájem různé, proto můžeme ony nové hrany jimi obarvit.
- ▶ Použito pouze $\Delta = n - 1$ barev. □



Hranové barvení grafů

Theorem 31.

Nechť G je prostý graf. Pak $\Delta \leq \psi_e(G) \leq \Delta + 1$.

Důkaz

- ▶ Nutno ukázat, že $\psi_e(G) \leq \Delta + 1$.

Hranové barvení grafů

Theorem 31.

Nechť G je prostý graf. Pak $\Delta \leq \psi_e(G) \leq \Delta + 1$.

Důkaz

- ▶ Nutno ukázat, že $\psi_e(G) \leq \Delta + 1$.
- ▶ Indukcí k počtu hran.

Hranové barvení grafů

Theorem 31.

Nechť G je prostý graf. Pak $\Delta \leq \psi_e(G) \leq \Delta + 1$.

Důkaz

- ▶ Nutno ukázat, že $\psi_e(G) \leq \Delta + 1$.
- ▶ Indukcí k počtu hran.
- ▶ Pro jednu hranu platí.

Hranové barvení grafů

Theorem 31.

Nechť G je prostý graf. Pak $\Delta \leq \psi_e(G) \leq \Delta + 1$.

Důkaz

- ▶ Nutno ukázat, že $\psi_e(G) \leq \Delta + 1$.
- ▶ Indukcí k počtu hran.
- ▶ Pro jednu hranu platí.
- ▶ Nechť tedy všechny hrany kromě hrany (v_0, v_1) jsou obarveny nejvýše $\Delta + 1$ barvami.

Hranové barvení grafů

Theorem 31.

Nechť G je prostý graf. Pak $\Delta \leq \psi_e(G) \leq \Delta + 1$.

Důkaz

- ▶ Nutno ukázat, že $\psi_e(G) \leq \Delta + 1$.
- ▶ Indukcí k počtu hran.
- ▶ Pro jednu hranu platí.
- ▶ Nechť tedy všechny hrany kromě hrany (v_0, v_1) jsou obarveny nejvýše $\Delta + 1$ barvami.
- ▶ Alespoň jedna barva není ve v_0 a alespoň jedna není ve v_1 .

Hranové barvení grafů

Theorem 31.

Nechť G je prostý graf. Pak $\Delta \leq \psi_e(G) \leq \Delta + 1$.

Důkaz

- ▶ Nutno ukázat, že $\psi_e(G) \leq \Delta + 1$.
- ▶ Indukcí k počtu hran.
- ▶ Pro jednu hranu platí.
- ▶ Nechť tedy všechny hrany kromě hrany (v_0, v_1) jsou obarveny nejvýše $\Delta + 1$ barvami.
- ▶ Alespoň jedna barva není ve v_0 a alespoň jedna není ve v_1 .
- ▶ Pokud jde o tutéž barvu, hotovo.

Hranové barvení grafů

- ▶ Necht' tedy C_0 je barva, která není ve v_0 a C_1 není ve v_1 .

Hranové barvení grafů

- ▶ Necht' tedy C_0 je barva, která není ve v_0 a C_1 není ve v_1 .
- ▶ Konstruuje posloupnost hran $(v_0, v_1), (v_0, v_2), (v_0, v_3), \dots$ tak, že

Hranové barvení grafů

- ▶ Necht' tedy C_0 je barva, která není ve v_0 a C_1 není ve v_1 .
- ▶ Konstruujme posloupnost hran $(v_0, v_1), (v_0, v_2), (v_0, v_3), \dots$ tak, že
 - ▶ C_i není ve v_i a

Hranové barvení grafů

- ▶ Nechť tedy C_0 je barva, která není ve v_0 a C_1 není ve v_1 .
- ▶ Konstruujme posloupnost hran $(v_0, v_1), (v_0, v_2), (v_0, v_3), \dots$ tak, že
 - ▶ C_i není ve v_i a
 - ▶ (v_0, v_{i+1}) má barvu C_i .

Hranové barvení grafů

- ▶ Necht' tedy C_0 je barva, která není ve v_0 a C_1 není ve v_1 .
- ▶ Konstruujme posloupnost hran $(v_0, v_1), (v_0, v_2), (v_0, v_3), \dots$ tak, že
 - ▶ C_i není ve v_i a
 - ▶ (v_0, v_{i+1}) má barvu C_i .
- ▶ Mějme tedy posloupnost $(v_0, v_1), (v_0, v_2), (v_0, v_3), \dots, (v_0, v_i)$ a $C_1, C_2, C_3, \dots, C_i$, pro nějaké $i \geq 0$.

Hranové barvení grafů

- ▶ Necht' tedy C_0 je barva, která není ve v_0 a C_1 není ve v_1 .
- ▶ Konstruujme posloupnost hran $(v_0, v_1), (v_0, v_2), (v_0, v_3), \dots$ tak, že
 - ▶ C_i není ve v_i a
 - ▶ (v_0, v_{i+1}) má barvu C_i .
- ▶ Mějme tedy posloupnost $(v_0, v_1), (v_0, v_2), (v_0, v_3), \dots, (v_0, v_i)$ a $C_1, C_2, C_3, \dots, C_i$, pro nějaké $i \geq 0$.
- ▶ Všimněme si, že máme nejvýše jednu hranu, (v_0, v) , s barvou C_i .

Hranové barvení grafů

- ▶ Necht' tedy C_0 je barva, která není ve v_0 a C_1 není ve v_1 .
- ▶ Konstruujme posloupnost hran $(v_0, v_1), (v_0, v_2), (v_0, v_3), \dots$ tak, že
 - ▶ C_i není ve v_i a
 - ▶ (v_0, v_{i+1}) má barvu C_i .
- ▶ Mějme tedy posloupnost $(v_0, v_1), (v_0, v_2), (v_0, v_3), \dots, (v_0, v_i)$ a $C_1, C_2, C_3, \dots, C_i$, pro nějaké $i \geq 0$.
- ▶ Všimněme si, že máme nejvýše jednu hranu, (v_0, v) , s barvou C_i .
 - ▶ Pokud takové v existuje a $v \notin \{v_1, v_2, \dots, v_i\}$, pak přidáme hranu (v_0, v_{i+1}) , kde $v_{i+1} = v$, a C_{i+1} je barva, která není ve v_{i+1} .

Hranové barvení grafů

- ▶ Nechť tedy C_0 je barva, která není ve v_0 a C_1 není ve v_1 .
- ▶ Konstruujme posloupnost hran $(v_0, v_1), (v_0, v_2), (v_0, v_3), \dots$ tak, že
 - ▶ C_i není ve v_i a
 - ▶ (v_0, v_{i+1}) má barvu C_i .
- ▶ Mějme tedy posloupnost $(v_0, v_1), (v_0, v_2), (v_0, v_3), \dots, (v_0, v_i)$ a $C_1, C_2, C_3, \dots, C_i$, pro nějaké $i \geq 0$.
- ▶ Všimněme si, že máme nejvýše jednu hranu, (v_0, v) , s barvou C_i .
 - ▶ Pokud takové v existuje a $v \notin \{v_1, v_2, \dots, v_i\}$, pak přidáme hranu (v_0, v_{i+1}) , kde $v_{i+1} = v$, a C_{i+1} je barva, která není ve v_{i+1} .
 - ▶ Jinak ukončíme budování posloupnosti.

Hranové barvení grafů

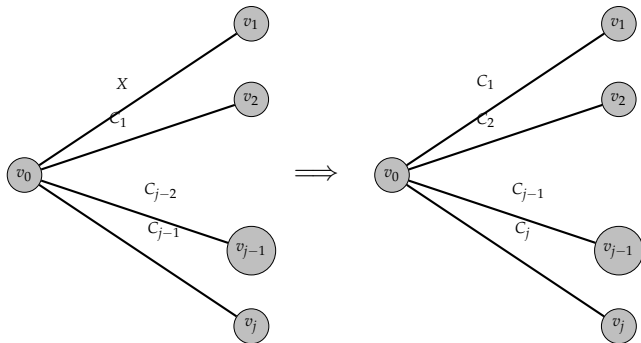
- ▶ Nechť tedy C_0 je barva, která není ve v_0 a C_1 není ve v_1 .
- ▶ Konstruujme posloupnost hran $(v_0, v_1), (v_0, v_2), (v_0, v_3), \dots$ tak, že
 - ▶ C_i není ve v_i a
 - ▶ (v_0, v_{i+1}) má barvu C_i .
- ▶ Mějme tedy posloupnost $(v_0, v_1), (v_0, v_2), (v_0, v_3), \dots, (v_0, v_i)$ a $C_1, C_2, C_3, \dots, C_i$, pro nějaké $i \geq 0$.
- ▶ Všimněme si, že máme nejvýše jednu hranu, (v_0, v) , s barvou C_i .
 - ▶ Pokud takové v existuje a $v \notin \{v_1, v_2, \dots, v_i\}$, pak přidáme hranu (v_0, v_{i+1}) , kde $v_{i+1} = v$, a C_{i+1} je barva, která není ve v_{i+1} .
 - ▶ Jinak ukončíme budování posloupnosti.
- ▶ Každá posloupnost končí s nejvýše Δ prvky.

Hranové barvení grafů

- ▶ Necht' výsledná posloupnost je $(v_0, v_1), (v_0, v_2), (v_0, v_3), \dots, (v_0, v_j)$ a $C_1, C_2, C_3, \dots, C_j$, pro nějaké $j \geq 0$.

Hranové barvení grafů

- ▶ Necht' výsledná posloupnost je $(v_0, v_1), (v_0, v_2), (v_0, v_3), \dots, (v_0, v_j)$ a $C_1, C_2, C_3, \dots, C_j$, pro nějaké $j \geq 0$.
 - i) Neexistuje hrana (v_0, v) s barvou C_j , pak uděláme následující přebarvení ($X \neq C_j$):



Hranové barvení grafů

- ▶ Necht' výsledná posloupnost je $(v_0, v_1), (v_0, v_2), (v_0, v_3), \dots, (v_0, v_j)$ a $C_1, C_2, C_3, \dots, C_j$, pro nějaké $j \geq 0$.

Hranové barvení grafů

- ▶ Necht' výsledná posloupnost je $(v_0, v_1), (v_0, v_2), (v_0, v_3), \dots, (v_0, v_j)$ a $C_1, C_2, C_3, \dots, C_j$, pro nějaké $j \geq 0$.
 - ii) Necht' existuje $k < j$ takové, že (v_0, v_k) má barvu C_j .

Hranové barvení grafů

- ▶ Necht' výsledná posloupnost je $(v_0, v_1), (v_0, v_2), (v_0, v_3), \dots, (v_0, v_j)$ a $C_1, C_2, C_3, \dots, C_j$, pro nějaké $j \geq 0$.
 - ii) Necht' existuje $k < j$ takové, že (v_0, v_k) má barvu C_j .
 - ▶ Pak pro $i < k$ přebarvíme hrany jako výše, tj. (v_0, v_i) dostane barvu C_i .

Hranové barvení grafů

- ▶ Necht' výsledná posloupnost je $(v_0, v_1), (v_0, v_2), (v_0, v_3), \dots, (v_0, v_j)$ a $C_1, C_2, C_3, \dots, C_j$, pro nějaké $j \geq 0$.
 - ii) Necht' existuje $k < j$ takové, že (v_0, v_k) má barvu C_j .
 - ▶ Pak pro $i < k$ přebarvíme hrany jako výše, tj. (v_0, v_i) dostane barvu C_i .
 - ▶ (v_0, v_k) zůstane neobavřená.

Hranové barvení grafů

- ▶ Necht' výsledná posloupnost je $(v_0, v_1), (v_0, v_2), (v_0, v_3), \dots, (v_0, v_j)$ a $C_1, C_2, C_3, \dots, C_j$, pro nějaké $j \geq 0$.
 - ii) Necht' existuje $k < j$ takové, že (v_0, v_k) má barvu C_j .
 - ▶ Pak pro $i < k$ přebarvíme hrany jako výše, tj. (v_0, v_i) dostane barvu C_i .
 - ▶ (v_0, v_k) zůstane neobavřená.
- ▶ Každá komponenta $H(C_0, C_j)$ – podgraf obsahující všechny hrany barvy C_0 a C_j – je buď cesta, nebo cyklus, protože každý uzel má nejvýše jednu hranu barvy C_0 a jednu barvy C_j .

Hranové barvení grafů

- ▶ Necht' výsledná posloupnost je $(v_0, v_1), (v_0, v_2), (v_0, v_3), \dots, (v_0, v_j)$ a $C_1, C_2, C_3, \dots, C_j$, pro nějaké $j \geq 0$.
 - ii) Necht' existuje $k < j$ takové, že (v_0, v_k) má barvu C_j .
 - ▶ Pak pro $i < k$ přebarvíme hrany jako výše, tj. (v_0, v_i) dostane barvu C_i .
 - ▶ (v_0, v_k) zůstane neobavřená.
- ▶ Každá komponenta $H(C_0, C_j)$ – podgraf obsahující všechny hrany barvy C_0 a C_j – je buď cesta, nebo cyklus, protože každý uzel má nejvýše jednu hranu barvy C_0 a jednu barvy C_j .
- ▶ Alespoň jedna barva z C_0 a C_j není v každém z uzlů v_0, v_k, v_j .

Hranové barvení grafů

- ▶ Necht' výsledná posloupnost je $(v_0, v_1), (v_0, v_2), (v_0, v_3), \dots, (v_0, v_j)$ a $C_1, C_2, C_3, \dots, C_j$, pro nějaké $j \geq 0$.
 - ii) Necht' existuje $k < j$ takové, že (v_0, v_k) má barvu C_j .
 - ▶ Pak pro $i < k$ přebarvíme hrany jako výše, tj. (v_0, v_i) dostane barvu C_i .
 - ▶ (v_0, v_k) zůstane neobavřená.
- ▶ Každá komponenta $H(C_0, C_j)$ – podgraf obsahující všechny hrany barvy C_0 a C_j – je buď cesta, nebo cyklus, protože každý uzel má nejvýše jednu hranu barvy C_0 a jednu barvy C_j .
- ▶ Alespoň jedna barva z C_0 a C_j není v každém z uzlů v_0, v_k, v_j .
- ▶ Proto ne všechny v jedné komponentě $H(C_0, C_j)$:
 $v_0 \xrightarrow{C_j} x \xrightarrow{C_0} y \dots \xrightarrow{C_0} v_k$ a už se nedostaneme do v_j .

Hranové barvení grafů

- a) $v_0 \notin H_{v_k}(C_0, C_j)$ – komponenta $H(C_0, C_j)$ obsahující v_k – pak $C_0 \leftrightarrow C_j$ v $H_{v_k}(C_0, C_j)$, což dává, že C_0 není ve v_k .

Hranové barvení grafů

- a) $v_0 \notin H_{v_k}(C_0, C_j)$ – komponenta $H(C_0, C_j)$ obsahující v_k – pak $C_0 \leftrightarrow C_j$ v $H_{v_k}(C_0, C_j)$, což dává, že C_0 není ve v_k .
- ▶ C_0 není ani ve v_0 , proto obarvíme (v_0, v_k) barvou C_0 .

Hranové barvení grafů

- a) $v_0 \notin H_{v_k}(C_0, C_j)$ – komponenta $H(C_0, C_j)$ obsahující v_k – pak $C_0 \leftrightarrow C_j$ v $H_{v_k}(C_0, C_j)$, což dává, že C_0 není ve v_k .
- ▶ C_0 není ani ve v_0 , proto obarvíme (v_0, v_k) barvou C_0 .
- b) $v_0 \notin H_{v_j}(C_0, C_j)$, pak přebarvíme

Hranové barvení grafů

- a) $v_0 \notin H_{v_k}(C_0, C_j)$ – komponenta $H(C_0, C_j)$ obsahující v_k – pak $C_0 \leftrightarrow C_j$ v $H_{v_k}(C_0, C_j)$, což dává, že C_0 není ve v_k .
- ▶ C_0 není ani ve v_0 , proto obarvíme (v_0, v_k) barvou C_0 .
- b) $v_0 \notin H_{v_j}(C_0, C_j)$, pak přebarvíme
- ▶ (v_0, v_i) barvou C_i , $k \leq i < j$,

Hranové barvení grafů

- a) $v_0 \notin H_{v_k}(C_0, C_j)$ – komponenta $H(C_0, C_j)$ obsahující v_k – pak $C_0 \leftrightarrow C_j$ v $H_{v_k}(C_0, C_j)$, což dává, že C_0 není ve v_k .
- ▶ C_0 není ani ve v_0 , proto obarvíme (v_0, v_k) barvou C_0 .
- b) $v_0 \notin H_{v_j}(C_0, C_j)$, pak přebarvíme
- ▶ (v_0, v_i) barvou C_i , $k \leq i < j$,
 - ▶ (v_0, v_j) zůstane neobarvená.

Hranové barvení grafů

- a) $v_0 \notin H_{v_k}(C_0, C_j)$ – komponenta $H(C_0, C_j)$ obsahující v_k – pak $C_0 \leftrightarrow C_j$ v $H_{v_k}(C_0, C_j)$, což dává, že C_0 není ve v_k .
- ▶ C_0 není ani ve v_0 , proto obarvíme (v_0, v_k) barvou C_0 .
- b) $v_0 \notin H_{v_j}(C_0, C_j)$, pak přebarvíme
- ▶ (v_0, v_i) barvou C_i , $k \leq i < j$,
 - ▶ (v_0, v_j) zůstane neobarvená.
- ▶ Při přebarvení se nepoužila ani C_0 , ani C_j , proto $H(C_0, C_j)$ nezměněno.

Hranové barvení grafů

- a) $v_0 \notin H_{v_k}(C_0, C_j)$ – komponenta $H(C_0, C_j)$ obsahující v_k – pak $C_0 \leftrightarrow C_j$ v $H_{v_k}(C_0, C_j)$, což dává, že C_0 není ve v_k .
- ▶ C_0 není ani ve v_0 , proto obarvíme (v_0, v_k) barvou C_0 .
- b) $v_0 \notin H_{v_j}(C_0, C_j)$, pak přebarvíme
- ▶ (v_0, v_i) barvou C_i , $k \leq i < j$,
 - ▶ (v_0, v_j) zůstane neobarvená.
- ▶ Při přebarvení se nepoužila ani C_0 , ani C_j , proto $H(C_0, C_j)$ nezměněno.
 - ▶ Opět $C_0 \leftrightarrow C_j$ v $H_{v_j}(C_0, C_j)$ a máme, že C_0 není ve v_j .

Hranové barvení grafů

- a) $v_0 \notin H_{v_k}(C_0, C_j)$ – komponenta $H(C_0, C_j)$ obsahující v_k – pak $C_0 \leftrightarrow C_j$ v $H_{v_k}(C_0, C_j)$, což dává, že C_0 není ve v_k .
- ▶ C_0 není ani ve v_0 , proto obarvíme (v_0, v_k) barvou C_0 .
- b) $v_0 \notin H_{v_j}(C_0, C_j)$, pak přebarvíme
- ▶ (v_0, v_i) barvou C_i , $k \leq i < j$,
 - ▶ (v_0, v_j) zůstane neobavřená.
- ▶ Při přebarvení se nepoužila ani C_0 , ani C_j , proto $H(C_0, C_j)$ nezměněno.
 - ▶ Opět $C_0 \leftrightarrow C_j$ v $H_{v_j}(C_0, C_j)$ a máme, že C_0 není ve v_j .
 - ▶ Obarvíme (v_0, v_j) barvou C_0 . □

Hranové barvení grafů

- ▶ Předchozí důkaz dává polynomiální algoritmus.

Hranové barvení grafů

- ▶ Předchozí důkaz dává polynomiální algoritmus.
- ▶ Vidíte ho? :-)

Hranové barvení grafů

- ▶ Předchozí důkaz dává polynomiální algoritmus.
- ▶ Vidíte ho? :-)
- ▶ Jaká je složitost?

Hranové barvení grafů

- ▶ Předchozí důkaz dává polynomiální algoritmus.
- ▶ Vidíte ho? :-)
- ▶ Jaká je složitost?

- ▶ Problém, zda $\psi_e(G) = \Delta$ je NP-úplný.

(Vrcholové) barvení grafů

Barvení grafů

- ▶ Je graf obarvitelný nejvýše k barvami? je NP-úplný problém.

Barvení grafů

Theorem 32.

Libovolný (prostý) graf G lze obarvit $\Delta + 1$ barvami.

Důkaz.

- ▶ Indukcí k n .



Barvení grafů

Theorem 32.

Libovolný (prostý) graf G lze obarvit $\Delta + 1$ barvami.

Důkaz.

- ▶ Indukcí k n .
- ▶ $n = 1$, hotovo.



Barvení grafů

Theorem 32.

Libovolný (prostý) graf G lze obarvit $\Delta + 1$ barvami.

Důkaz.

- ▶ Indukcí k n .
- ▶ $n = 1$, hotovo.
- ▶ Pokud přidáme uzel u , pak bude spojen nejvýše s Δ jinými uzly.



Barvení grafů

Theorem 32.

Libovolný (prostý) graf G lze obarvit $\Delta + 1$ barvami.

Důkaz.

- ▶ Indukcí k n .
- ▶ $n = 1$, hotovo.
- ▶ Pokud přidáme uzel u , pak bude spojen nejvýše s Δ jinými uzly.
- ▶ Barev máme $\Delta + 1$, proto můžeme u obarvit nějakou barvou.



Barvení grafů

- ▶ Ve většině případů ale platí, že $\psi_v(G) < \Delta + 1$.

Barvení grafů

- ▶ Ve většině případů ale platí, že $\psi_v(G) < \Delta + 1$.
- ▶ Příklad:

Barvení grafů

- ▶ Ve většině případů ale platí, že $\psi_v(G) < \Delta + 1$.
- ▶ Příklad:
- ▶ G planární, pak $\psi_v(G) \leq 4$, přitom $\Delta = k$, pro libovolné $k > 0$.

Barvení grafů

- ▶ Ve většině případů ale platí, že $\psi_v(G) < \Delta + 1$.
- ▶ Příklad:
- ▶ G planární, pak $\psi_v(G) \leq 4$, přitom $\Delta = k$, pro libovolné $k > 0$.
- ▶ Rychlosoutěž: Jaký algoritmus na obarvení uzlů vás napadne?

Chromatický polynom

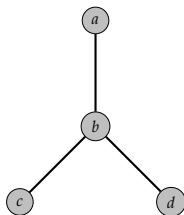
Chromatický polynom

- ▶ Necht' $P_k(G)$ označuje počet způsobů obarvení grafu G k barvami.

Chromatický polynom

- ▶ Necht' $P_k(G)$ označuje počet způsobů obarvení grafu G k barvami.
- ▶ $P_k(G)$ je polynom.

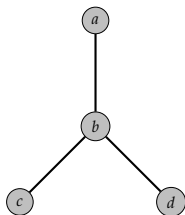
Chromatický polynom



Obrázek: Graf G_1 .

- ▶ b ... dostane libovolnou z k barev.

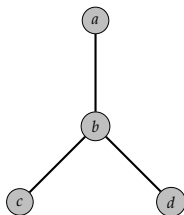
Chromatický polynom



Obrázek: Graf G_1 .

- ▶ b ... dostane libovolnou z k barev.
- ▶ a, c, d ... libovolnou z $k - 1$ zbývajících barev.

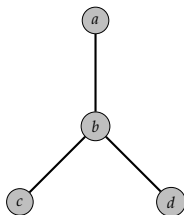
Chromatický polynom



Obrázek: Graf G_1 .

- ▶ b ... dostane libovolnou z k barev.
- ▶ a, c, d ... libovolnou z $k - 1$ zbývajících barev.
- ▶ $P_k(G_1) = k(k - 1)^3$

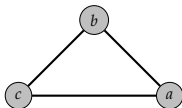
Chromatický polynom



Obrázek: Graf G_1 .

- ▶ b ... dostane libovolnou z k barev.
- ▶ a, c, d ... libovolnou z $k - 1$ zbývajících barev.
- ▶ $P_k(G_1) = k(k - 1)^3$
- ▶ Obecně, necht' T_n je strom na n uzlech. Pak $P_k(T_n) = k(k - 1)^{n-1}$.

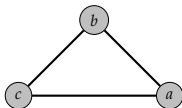
Chromatický polynom



Obrázek: Graf G_2 .

- ▶ a ... dostane libovolnou z k barev.

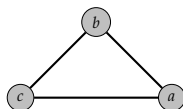
Chromatický polynom



Obrázek: Graf G_2 .

- ▶ a ... dostane libovolnou z k barev.
- ▶ b ... libovolnou z $k - 1$ zbývajících barev.

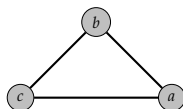
Chromatický polynom



Obrázek: Graf G_2 .

- ▶ a ... dostane libovolnou z k barev.
- ▶ b ... libovolnou z $k - 1$ zbývajících barev.
- ▶ c ... libovolnou z $k - 2$ zbývajících barev.

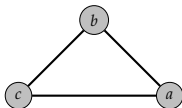
Chromatický polynom



Obrázek: Graf G_2 .

- ▶ a ... dostane libovolnou z k barev.
- ▶ b ... libovolnou z $k - 1$ zbývajících barev.
- ▶ c ... libovolnou z $k - 2$ zbývajících barev.
- ▶ $P_k(G_2) = k(k - 1)(k - 2)$

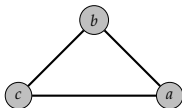
Chromatický polynom



Obrázek: Graf G_2 .

- ▶ a ... dostane libovolnou z k barev.
- ▶ b ... libovolnou z $k - 1$ zbývajících barev.
- ▶ c ... libovolnou z $k - 2$ zbývajících barev.
- ▶ $P_k(G_2) = k(k - 1)(k - 2)$
- ▶ Obecně, necht' K_n je úplný graf na n uzlech.

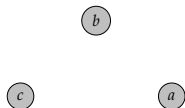
Chromatický polynom



Obrázek: Graf G_2 .

- ▶ a ... dostane libovolnou z k barev.
- ▶ b ... libovolnou z $k - 1$ zbývajících barev.
- ▶ c ... libovolnou z $k - 2$ zbývajících barev.
- ▶ $P_k(G_2) = k(k - 1)(k - 2)$
- ▶ Obecně, necht' K_n je úplný graf na n uzlech.
- ▶ Pak $P_k(K_n) = \frac{k!}{(k-n)!}$

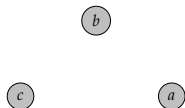
Chromatický polynom



Obrázek: Graf G'_2 .

- ▶ a ... dostane libovolnou z k barev.

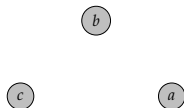
Chromatický polynom



Obrázek: Graf G'_2 .

- ▶ a ... dostane libovolnou z k barev.
- ▶ b ... libovolnou z k barev.

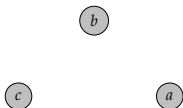
Chromatický polynom



Obrázek: Graf G'_2 .

- ▶ a ... dostane libovolnou z k barev.
- ▶ b ... libovolnou z k barev.
- ▶ c ... libovolnou z k barev.

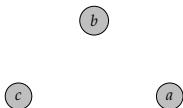
Chromatický polynom



Obrázek: Graf G'_2 .

- ▶ a ... dostane libovolnou z k barev.
- ▶ b ... libovolnou z k barev.
- ▶ c ... libovolnou z k barev.
- ▶ $P_k(G'_2) = k^3$

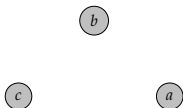
Chromatický polynom



Obrázek: Graf G'_2 .

- ▶ a ... dostane libovolnou z k barev.
- ▶ b ... libovolnou z k barev.
- ▶ c ... libovolnou z k barev.
- ▶ $P_k(G'_2) = k^3$
- ▶ Obecně, necht' Φ_n je graf na n uzlech bez hran.

Chromatický polynom



Obrázek: Graf G'_2 .

- ▶ a ... dostane libovolnou z k barev.
- ▶ b ... libovolnou z k barev.
- ▶ c ... libovolnou z k barev.
- ▶ $P_k(G'_2) = k^3$
- ▶ Obecně, necht' Φ_n je graf na n uzlech bez hran.
- ▶ Pak $P_k(\Phi_n) = k^n$

Chromatický polynom

- ▶ Platí: Pokud $k < \psi_v(G)$, pak $P_k(G) = 0$.

Chromatický polynom

- ▶ Platí: Pokud $k < \psi_v(G)$, pak $P_k(G) = 0$.
- ▶ Necht' G je graf.

Chromatický polynom

- ▶ Platí: Pokud $k < \psi_v(G)$, pak $P_k(G) = 0$.
- ▶ Necht' G je graf.
- ▶ Jak sestrojít $P_k(G)$?

Chromatický polynom

- ▶ Platí: Pokud $k < \psi_v(G)$, pak $P_k(G) = 0$.
- ▶ Necht' G je graf.
- ▶ Jak sestrojít $P_k(G)$?
- ▶ Značení:

Chromatický polynom

- ▶ Platí: Pokud $k < \psi_v(G)$, pak $P_k(G) = 0$.
- ▶ Necht' G je graf.
- ▶ Jak sestrojít $P_k(G)$?
- ▶ Značení:
 - ▶ $G - (u, v)$ je graf vzniklý z G odebráním hrany (u, v)

Chromatický polynom

- ▶ Platí: Pokud $k < \psi_v(G)$, pak $P_k(G) = 0$.
- ▶ Necht' G je graf.
- ▶ Jak sestrojít $P_k(G)$?

- ▶ Značení:
 - ▶ $G - (u, v)$ je graf vzniklý z G odebráním hrany (u, v)
 - ▶ $G \circ (u, v)$ je graf vzniklý z G sloučením uzlů u a v .

Chromatický polynom

Theorem 33.

Nechť (u, v) je hrana v G , pak

$$P_k(G) = P_k(G - (u, v)) - P_k(G \circ (u, v)).$$

Důkaz.

- ▶ $P_k(G)$ je počet obarvení, kde u a v mají různou barvu.



Chromatický polynom

Theorem 33.

Nechť (u, v) je hrana v G , pak

$$P_k(G) = P_k(G - (u, v)) - P_k(G \circ (u, v)).$$

Důkaz.

- ▶ $P_k(G)$ je počet obarvení, kde u a v mají různou barvu.
- ▶ Všechna tato obarvení jsou zahrnuta i v $P_k(G - (u, v))$.



Chromatický polynom

Theorem 33.

Nechť (u, v) je hrana v G , pak

$$P_k(G) = P_k(G - (u, v)) - P_k(G \circ (u, v)).$$

Důkaz.

- ▶ $P_k(G)$ je počet obarvení, kde u a v mají různou barvu.
- ▶ Všechna tato obarvení jsou zahrnuta i v $P_k(G - (u, v))$.
- ▶ $P_k(G - (u, v))$ však navíc obsahuje i ta obarvení, kde u a v mají stejnou barvu.



Chromatický polynom

Theorem 33.

Nechť (u, v) je hrana v G , pak

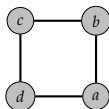
$$P_k(G) = P_k(G - (u, v)) - P_k(G \circ (u, v)).$$

Důkaz.

- ▶ $P_k(G)$ je počet obarvení, kde u a v mají různou barvu.
- ▶ Všechna tato obarvení jsou zahrnuta i v $P_k(G - (u, v))$.
- ▶ $P_k(G - (u, v))$ však navíc obsahuje i ta obarvení, kde u a v mají stejnou barvu.
- ▶ Odečteme je tedy v $P_k(G \circ (u, v))$.



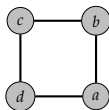
Chromatický polynom



Obrázek: Graf G_3 .

►
$$P_k(G_3) = P_k(\Phi_4) - 4P_k(\Phi_3) + 6P_k(\Phi_2) - 3P_k(\Phi_1)$$

Chromatický polynom



Obrázek: Graf G_3 .

$$\begin{aligned} \blacktriangleright P_k(G_3) &= P_k(\Phi_4) - 4P_k(\Phi_3) + 6P_k(\Phi_2) - 3P_k(\Phi_1) \\ &= k(k-1)(k^2 - 3k + 3) \end{aligned}$$

Chromatický polynom

Theorem 34.

Nechť (u, v) je hrana v G , pak

$$P_k(G) = P_k(G - (u, v)) - P_k(G \circ (u, v)).$$

- ▶ Pokud má graf hodně hran, je lepší použít přeformulovanou variantu:

Chromatický polynom

Theorem 34.

Nechť (u, v) je hrana v G , pak

$$P_k(G) = P_k(G - (u, v)) - P_k(G \circ (u, v)).$$

- ▶ Pokud má graf hodně hran, je lepší použít přeformulovanou variantu:
- ▶ $P_k(G) = P_k(G + (u, v)) + P_k((G + (u, v)) \circ (u, v))$

Chromatický polynom

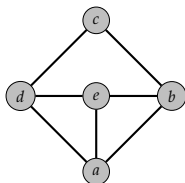
Theorem 34.

Nechť (u, v) je hrana v G , pak

$$P_k(G) = P_k(G - (u, v)) - P_k(G \circ (u, v)).$$

- ▶ Pokud má graf hodně hran, je lepší použít přeformulovanou variantu:
- ▶ $P_k(G) = P_k(G + (u, v)) + P_k((G + (u, v)) \circ (u, v))$
- ▶ tj., doplňujeme na úplný graf.

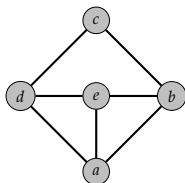
Chromatický polynom



Obrázek: Graf G_3 .

► $P_k(G_4) = P_k(K_5) + 3P_k(K_4) + 2P_k(K_3)$

Chromatický polynom



Obrázek: Graf G_3 .

$$\begin{aligned} \blacktriangleright P_k(G_4) &= P_k(K_5) + 3P_k(K_4) + 2P_k(K_3) \\ &= k(k-1)(k-2)(k^2 - 4k + 5) \end{aligned}$$

Chromatický polynom

- ▶ Nyní máme, že $\psi_v(G)$ je minimální k takové, že $P_k(G) > 0$.

Chromatický polynom

- ▶ Nyní máme, že $\psi_v(G)$ je minimální k takové, že $P_k(G) > 0$.
- ▶ $\psi_v(G_3) = 2$

Chromatický polynom

- ▶ Nyní máme, že $\psi_v(G)$ je minimální k takové, že $P_k(G) > 0$.
- ▶ $\psi_v(G_3) = 2$
- ▶ $\psi_v(G_4) = ?$